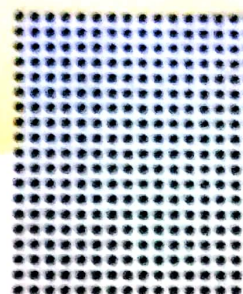
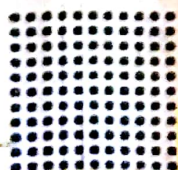


I. L. KORCINSKI



# Sarcini seismice în construcții



EDITURA TEHNICĂ

*Handed over  
February 1961  
Ing. P. P. P.*

SOCIETATEA TEHNICO-ȘTIINȚIFICĂ PENTRU INDUSTRIA  
CONSTRUCȚIILOR DIN U. R. S. S.

**I. L. KORCINSKI**

Doctor în științe tehnice, profesor

# SARCINI SEISMICE ÎN CONSTRUCȚII

ÎNDRUMĂTOR PENTRU APLICAREA METODEI  
DE CALCUL AL CONSTRUCȚIILOR  
LA SOLICITĂRI SEISMICE

TRADUCERE DIN LIMBA RUSĂ



EDITURA TEHNICĂ  
BUCUREȘTI—1961



Lucrarea constituie un îndrumător pentru aplicarea noii metode de calcul al clădirilor și construcțiilor la solicitări seismice.

În lucrarea de față se expun considerațiile care stau la baza noii metode de calcul a construcțiilor la solicitări seismice și recomandările privind determinarea sarcinilor seismice pentru cele mai răspândite tipuri de construcții. Pe baza acestor date se face o comparație între comportarea efectivă a clădirilor supuse la cutremure și rezultatele calculului lor prin metoda expusă.

La sfârșitul lucrării se dă o serie de exemple de calcul.

Lucrarea se adresează în special inginerilor constructori care se ocupă cu proiectarea clădirilor și construcțiilor din regiunile supuse acțiunii cutremurelor.

Научно-техническое общество строительной индустрии СССР

И. Л. КОРЧИНСКИЙ  
СЕЙСМИЧЕСКИЕ НАГРУЗКИ НА ЗДАНИЯ  
И СООРУЖЕНИЯ

Госстройиздат

## PREFAȚĂ

Trecerea la calculul construcțiilor prin metoda stărilor limită și revizuirea normativelor privitoare la toate tipurile de construcții, impusă de aceasta, a făcut necesară și revizuirea „Instrucțiunilor privitoare la construcțiile în regiunile seismice” (PSP-101-51) [2]<sup>1)</sup>, în special în partea care se referă la calculul la sarcini seismice. Aplicarea valorilor sarcinilor seismice determinate conform PSP-101-51 la calculul prin metoda stărilor limită, când în locul valorilor rezistențelor admisibile se folosesc valorile rezistențelor de rupere, ar fi dus la o reducere a siguranței pe care o prezintă clădirile și construcțiile care se execută în regiunile supuse acțiunii cutremurelor.

Calea cea mai simplă pentru păstrarea aceluiași coeficient de siguranță al construcțiilor, care se execută în regiunile seismice, ar fi fost o oarecare majorare a sarcinilor seismice de calcul conform cu sporirea rezistențelor de rupere în comparație cu rezistențele admisibile folosite anterior. O astfel de majorare a forțelor seismice de calcul ar fi fost analogă cu coeficienții de supraîncărcare adoptați în prezent în „Normele și regulile de construcție” (SN și P). Această cale ar fi fost însă logică numai cu condiția ca construcțiile executate conform PSP-101-51 să prezinte un grad de siguranță suficient și să fie raționale din punct de vedere economic. Experiența cutremurelor nu justifică însă o astfel de ipoteză și în consecință nici această cale simplă nu este rațională. Numeroase clădiri, calculate la sarcini seismice conform PSP-101-51 s-au dovedit a fi insuficient de rezistente.

---

<sup>1)</sup> Aici, ca și în cele ce urmează, cifrele dintre parantezele drepte indică sursa bibliografică.



O altă orientare în rezolvarea acestei probleme ar putea consta în îmbunătățirea exactității metodei folosite în prezent pentru determinarea sarcinilor seismice care acționează asupra clădirilor și construcțiilor; în modul acesta s-ar putea încerca să se mărească siguranța pe care o prezintă clădirile și construcțiile care se proiectează pentru regiunile supuse acțiunii cutremurelor. Această cale a fost adoptată de către Institutul central de cercetări științifice pentru construcții al Academiei de construcții și arhitectură al U.R.S.S., cu ocazia revizuirii „Instrucțiunilor privitoare la construcțiile în regiunile seismice”.

În lucrarea de față se expune un procedeu de determinare a sarcinilor seismice care acționează asupra clădirilor și construcțiilor (cu excepția construcțiilor hidrotehnice și a celor de pe căile de comunicație), adoptat în „Normele și regulile de construcție în regiunile seismice” (SN-8-57), fundamentarea acestui procedeu și ilustrarea prin exemple. Acest nou procedeu de determinare a sarcinilor, bazat pe calculul dinamic al construcțiilor, a fost discutat și aprobat în cadrul consfățuirii privitoare la construcțiile seismice, organizată la Tașkent de către Societatea tehnico-științifică pentru industria construcțiilor din U.R.S.S., în octombrie 1956.

Cartea a fost editată sub îngrijirea conducerii centrale a Societății tehnico-științifice pentru industria construcțiilor din U.R.S.S., ca îndreptar pentru proiectarea clădirilor și construcțiilor care se execută în regiunile seismice. Redactarea a fost făcută de către M. F. Kovalciuk.

CONDUCEREA CENTRALĂ A SOCIETĂȚII  
TEHNICO-ȘTIINȚIFICE PENTRU INDUSTRIA  
CONSTRUCȚIILOR DIN U.R.S.S.



## 1. PRINCIPII FUNDAMENTALE

După cum se știe, deplasările solului care se produc în timpul cutremurului sînt o consecință a oscilațiilor scoarței pămîntului, generate fie de fenomene de natură vulcanică, fie de surpările sau ruperile straturilor de adîncime ale pămîntului.

Din centrul în care s-au produs unul sau mai multe fenomene de acest fel, se propagă în toate direcțiile așa-numitele unde seismice de adîncime, care ajungînd la suprafața pămîntului generează un nou tip de unde, care se propagă pe suprafața pămîntului.

Undele de suprafață au o viteză mai mică și o lungime mai mare decît cele de adîncime. Amplitudinile oscilațiilor undelor de suprafață, în mod obișnuit, depășesc considerabil amplitudinile undelor de adîncime, a căror zonă de propagare este în același timp nu prea mare și se limitează numai la domeniul situat imediat deasupra epicentrului [6], [15]; pe suprafața pămîntului, pe măsura depărtării de epicentru, un rol predominant revine undelor de suprafață.

Undele de suprafață produc oscilațiile solului, atît în direcție verticală, cît și orizontală. Totuși, o dată cu creșterea distanței de la epicentru, componenta orizontală a amplitudinii oscilațiilor acestor unde prevalează din ce în ce mai mult față de componenta verticală și capătă un rol mai mare.

Astfel, pentru majoritatea construcțiilor situate în regiunile seismice, cele mai periculoase sînt oscilațiile orizontale ale solului, produse de trecerea undelor seismice de suprafață.

Prezentarea schematică a oscilațiilor făcută mai înainte, în realitate este mult mai complicată datorită influenței



unei serii întregi de factori legați de fenomenele de reflexie, refracție, amortizare și suprapunere reciprocă a diferitelor unde, care trec cu viteze și frecvențe diferite. Toate acestea arată că procesul oscilațiilor scoarței pământului este foarte complicat și nu poate fi prins în nici un fel de forme matematice precise (fig. 1), fiind caracterizat în consecință de către unii autori ca un proces „haotic”.

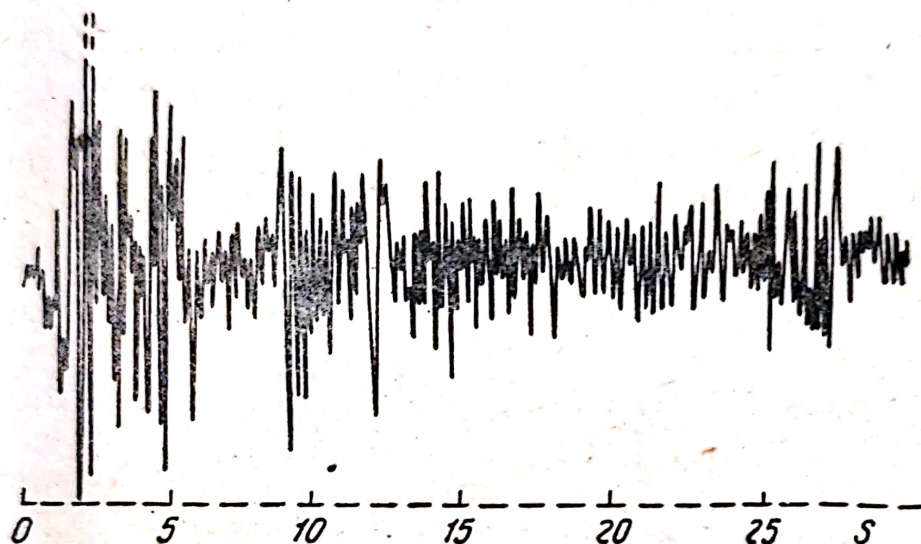


Fig. 1. Seismogramă.

O consecință firească a acestei concluzii a fost faptul că un timp îndelungat s-a renunțat aproape pretutindeni la o tratare temeinică a calculului practic al construcțiilor la solicitări seismice, care să oglindească cel puțin calitativ fenomenele reale și s-a adoptat așa-numita „teorie statică” de calcul.

Propunerea făcută de către K. S. Zavriev și A. G. Nazarov, de a se trece la teoria dinamică de calcul a construcțiilor supuse la solicitări seismice [4], bazată pe ipoteza că oscilațiile pământului se produc după o lege armonică (cosinusoidală), nu a căpătat răspîndire, cu toate că oglindea mai bine aspectul real al solicitărilor seismice.

Ulterior, A. G. Nazarov [11] a expus considerațiile sale privind o tratare complet nouă, experimentală, dacă ne putem exprima astfel, a calculului construcțiilor la solicitări seismice. Ideea acestei metode, expusă în lucrarea lui M. A. Biot [18], constă din urmărirea experimentală și determinarea efectului maxim pe care îl produc cutremurele



asupra unor sisteme elastice simple care modelează construcțiile reale prin caracteristicile lor de frecvență și cele de amortizare. Principal, această metodă fără îndoială este extrem de atrăgătoare.

Totuși, din punct de vedere practic, o astfel de metodă nu poate fi utilizată în prezent, deoarece este limpede că aplicarea ei este posibilă numai după acumularea datelor experimentale privitoare la efectele seismice asupra unui mare număr de modele dinamice, sub acțiunea unei serii întregi de cutremure. Întrucât lucrările de construcții din regiunile seismice nu pot fi amânate pînă la acumularea acestor date, paralel cu cercetările privind culegerea de date experimentale este necesar să se caute și alte căi pentru rezolvarea problemei alegerii schemei de calcul pentru solicitarea seismică.

Analiza seismogramelor arată că, pentru interpretarea matematică a deplasării solului în timpul cutremurului, se poate adopta o lege care să exprime acțiunea globală a unei serii de curbe armonice amortizate, adică

$$y_0 = \sum_1^n a_0 e^{-\varepsilon_0 t} \sin(\omega t + \gamma), \quad (1)$$

unde:  $y_0$  este deplasarea solului;

$a_0$  — amplitudinea inițială a componentei corespunzătoare a seriei;

$\varepsilon_0$  — coeficientul de amortizare al oscilațiilor pămîntului;

$\omega$  — frecvența oscilațiilor componentei corespunzătoare a seriei;

$\gamma$  — unghiul care definește momentul sosirii componentei corespunzătoare a seriei;

$t$  — timpul.

După cum se știe, acțiunea globală a unor astfel de curbe armonice cu diferiți parametri (adică cu diferite amplitudini inițiale  $a_0$ , frecvențe  $\omega$ , coeficienți de amortizare a oscilațiilor  $\varepsilon_0$ , care intră în acțiune la diferite valori ale timpului  $t$ ), poate produce deplasări foarte variate ale pămîntului, care practic pot fi exprimate printr-o lege de



mişcare oarecare. Pe lângă aceasta, adoptarea unei astfel de legi a mişcării solului, legată de variaţia bruscă a vitezei de la zero pînă la o valoare finită oarecare  $a_0\omega$  în momentul sosirii componentei corespunzătoare a seriei (1), concordă bine cu noţiunea de sursă impulsivă a oscilaţiilor ceea ce de asemenea poate fi considerat firesc pentru descrierea fenomenelor seismice.

De remarcat că H. P. Berlage a propus, se pare, o expresie mai potrivită pentru legea de mişcare a solului în timpul cutremurului şi care exprimă într-un chip mai apropiat de realitate momentul iniţial al mişcării [10] şi anume:

$$y_0 = a_0 t e^{-\epsilon_0 t} \sin \omega t. \quad (2)$$

În acest caz, în momentul iniţial, atât deplasarea cît şi viteza sînt egale cu zero, în timp ce conform cu ecuaţia (1) mişcarea solului capătă viteză instantaneu.

Totuşi, din punct de vedere practic, expresia (1) prezintă avantajul că este mai simplă, iar pe de altă parte, aşa cum se va vedea din cele ce urmează, dezavantajul amintit că viteza se aplică instantaneu poate avea o influenţă hotărîtoare asupra rezultatelor calculului numai într-un domeniu puţin probabil, şi anume acela al sistemelor cu o rigiditate deosebită. De aceea, în lucrarea de faţă, la elaborarea metodei practice de calcul a construcţiilor la solicitări seismice, s-a adoptat totuşi expresia (1) fiind mai simplă. Acest lucru este cu atît mai raţional, cu cît de aici înainte îmbunătăţirea metodelor de calcul din punct de vedere al exactităţii acestora, fără îndoială că trebuie să se bazeze nu pe anumite raţionamente, ci pe date experimentale analoge cu cele obţinute de Biot, în studiile făcute de acesta asupra seismogramelor cutremurelor [18].

Din punct de vedere al acţiunii sarcinilor asupra construcţiei, caracteristica cea mai expresivă a intensităţii cutremurului o constituie acceleraţia solului, care conform ecuaţiei (1) se exprimă prin relaţia

$$y_0'' = - \sum_1^n a_0 (\omega^2 + \epsilon_0^2) e^{-\epsilon_0 t} \sin (\omega t + \gamma + \varphi_0), \quad (3)$$



unde

$$\operatorname{tg} \varphi_0 = \frac{2 \varepsilon_0 \omega}{\omega^2 - \varepsilon_0^2}.$$

Intrucît în cazul parametrilor reali ai oscilațiilor terenului în timpul cutremurelor,  $\varepsilon_0$  este mic în comparație cu  $\omega$ , rezultă că

$$\operatorname{tg} \varphi_0 \approx 0$$

și

$$y_0'' \approx - \sum_1^n a_0 \omega^2 e^{-\varepsilon_0 t} \sin(\omega t + \gamma). \quad (3')$$

Pentru utilizarea practică a legii de mișcare a solului adoptate mai sus, la calculul construcțiilor la solicitări seismice, este necesară cunoașterea valorilor parametrilor pe care le pot avea componentele ecuației (1). În acest scop a fost prelucrat un număr de seismograme ale cutremurelor reale, înregistrate de către observatoarele seismice în diferite puncte ale U.R.S.S., însă la cutremure foarte slabe. Acest din urmă fapt a fost impus deoarece în cazul unor șocuri mai puternice, vibrogramele deveneau cu totul inacceptabile pentru prelucrare, datorită scării mari la care trebuia făcută mărirea și datorită vitezei de mișcare reduse a benzilor aparatelor.

Rezultatele prelucrării au arătat că parametrii care caracterizează ecuațiile (1) și (3) se încadrează în intervale de valori numerice destul de strînse și anume: perioadele oscilațiilor  $T = \frac{2\pi}{\omega}$  ale suprafeței pămîntului, care corespund accelerațiilor maxime (la seismogramele prelucrate), au variat de la 0,25 la 0,75 s, iar valorile medii ale decrementilor amortizării  $\varepsilon_0 T$  — mărimi întrucîtva mai stabile decît coeficienții de amortizare — au fost egale cu  $\approx 0,1$ .

Astfel, pe baza celor expuse, ca premiză a calculului construcțiilor la solicitări seismice, este logic să se admită că mișcarea pămîntului se produce după legea exprimată prin ecuația (1), în care valorile lui  $\frac{2\pi\varepsilon_0}{\omega}$  sînt constante în toți termenii, iar valorile lui  $\omega$  pot fi arbitrare între anumite limite  $\omega_1 - \omega_2$ .



Totuși, chiar cu aceste premize, calculul construcțiilor reale la solicitări seismice, va fi nu numai extrem de complicat, dar și neprecis, deoarece sumele (1) și (3) se compun dintr-un număr nedeterminat de termeni. De aceea, utilizarea practică a ecuațiilor (1) și (3) necesită alte simplificări ale premizelor de calcul.

Dacă s-ar presupune că toți termenii sumei (3) pot avea accelerații inițiale egale ca valoare (adică  $\approx a_0 \omega^2$ ) și caracteristici de amortizare egale, însă frecvențe diferite, este evident că efectul maxim asupra sistemului cu un singur grad de libertate îl va avea cea armonică, a cărei frecvență  $\omega_i$  va fi egală sau va fi imediat apropiată de frecvența oscilațiilor proprii ale sistemului considerat ( $p$ ). Ținând seama de acest lucru rezultă că într-o primă aproximație a schemei de calcul simplificate a fenomenului seismic, cel mai corect este să se considere numai acțiunea unui singur termen al sumei (3) asupra construcției; trebuie ales însă acel termen al cărui efect este maxim.

Astfel, calculul practic la solicitări seismice se reduce la determinarea eforturilor și deformațiilor care se produc în construcție, sub acțiunea unei singure sinusoide amortizate, a cărei frecvență însă poate avea valori diferite (între anumite limite), adică:

$$y_0 = a_0 e^{-\varepsilon_0 t} \sin \omega t. \quad (1')$$

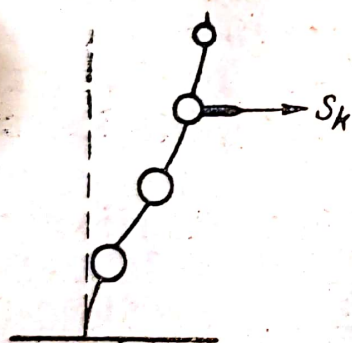


Fig. 2. Schema de calcul a sistemului care oscilează.

Studiile făcute asupra oscilațiilor sistemelor cu mai multe grade de libertate sub acțiunea deplasării terenului de fundație cu o accelerație care poate fi exprimată prin ecuația (3) arată [8] că efortul  $S_k$  care se naște într-un punct oarecare  $k$ , al sistemului

considerat (fig. 2) se poate exprima sub forma:

$$S_k = \frac{a_0 \omega^2}{g} \sum_1^n \frac{X_l(x_k) \sum_1^n Q_j X_l(x_j)}{\sum_1^n Q_j X_l^2(x_j)} \cdot \frac{1}{B_l} \left[ e^{-\varepsilon_0 t} \sin(\omega t + \alpha_{0l}) - C_l e^{-\frac{\psi}{4\pi} p_{el} t} \sin(p_{el} t + \varphi_l) \right] Q_k, \quad (4)$$



unde  $X_i(x_k)$  și  $X_i(x_j)$  sînt deplasările sistemului în timpul oscilațiilor sale libere, după direcția principală a  $i$ -a respectiv în punctul considerat  $k$ , și în toate punctele  $j$ , adică în punctele care corespund poziției sarcinilor în schema de calcul adoptată (fig. 2) pentru construcție;

$Q_k$  și  $Q_j$  — greutatea maselor în punctul  $k$  și respectiv în toate punctele  $j$  ale sistemului;

$n$  este numărul de grade de libertate al sistemului, adică numărul punctelor de aplicație ale sarcinilor  $Q$ ;

$g$  — accelerația gravitației;

$$\frac{1}{B_i} \left[ e^{-\varepsilon_0 t} \sin(\omega t + \alpha_{0i}) - C_i e^{-\frac{\psi}{4\pi} p_{ei} t} \sin(p_{ei} t + \varphi_i) \right] = \beta_i \text{ este}$$

factorul care variază cu timpul  $t$ , și depinde de frecvențele oscilațiilor libere (după direcția a  $i$ -a) și forțate ale sistemului, precum și de caracteristicile de amortizare a oscilațiilor construcției ( $\psi$ ) și terenului, ( $\varepsilon_0$ ) în timpul cutremurului.

În expresia (4) a lui  $S_k$ , pe lângă mărimea  $Q_k$  există trei factori caracteristici. Primul dintre aceștia

$$\frac{a_0 \omega^2}{g} \quad (5)$$

nu depinde de parametrii sistemului considerat și reprezintă raportul dintre accelerația maximă ce se naște la nivelul terenului de fundație care se deplasează și accelerația gravitației.

Prin urmare, acest factor trebuie să caracterizeze intensitatea cutremurului și în consecință să corespundă coeficientului  $k_s$ , care definește gradul de seismicitate al regiunii.



## Factorul al doilea

$$\frac{X_l(x_k) \sum_1^n Q_j X_l(x_j)}{\sum_1^n Q_j X_l^2(x_j)} = \eta_l \quad (6)$$

depinde direct numai de forma oscilațiilor sistemului și de poziția maselor. Rapoartele dintre frecvențele oscilațiilor proprii și cele forțate, aici ca și în cazul primului factor, nu au influență. În cele ce urmează, vom conveni ca factorul  $\eta$  să fie numit corecție a formei oscilațiilor. La sistemele cu mai multe grade de libertate coeficientul  $\eta$  are mai multe valori.

În fine, factorul al treilea

$$\frac{1}{B_l} \left[ e^{-\epsilon_0 t} \sin(\omega t + \alpha_{0l}) - C_l e^{-\frac{\psi}{4\pi} p_{sl} t} \sin(p_{sl} t + \varphi_l) \right] = \beta_l \quad (7)$$

depinde, în primul rînd, de raportul dintre frecvențele  $\omega$  și  $p_l$  și caracterizează efectul dinamic al acțiunii deplasării terenului de fundație asupra construcției. De aceea, vom numi factorul  $\beta$  coeficient dinamic.

Ținînd seama de cele arătate mai înainte, valoarea forței seismice, care acționează în punctul  $k$ , se va scrie astfel:

$$S_{kl} = k_s \sum_1^n \eta_{lk} \beta_l Q_k. \quad (8)$$

Intrucît anumiți termeni ai ecuației (8) variază continuu în timp și fiecare dintre aceștia ajunge la valoarea sa maximă la valori diferite ale timpului, care depind de raportul dintre caracteristicile frecvențelor oscilațiilor proprii și forțate ale sistemului (care pe lângă aceasta nici nu pot fi prevăzute) determinarea lui  $S_k$ , ținînd seama de fiecare termen, este extrem de dificilă. Pe de altă parte, schema de calcul adoptată pentru oscilațiile seismice ale solului este foarte simplificată și evident nu se poate pretinde o exactitate mare nici în cazul unor calcule dintre cele mai migăloase. De aceea, pentru nevoile practice se



pare că este mai rațional să nu se urmărească determinarea lui  $S_k$  ca sumă a tuturor termenilor, ci să se treacă la examinarea separată a deplasărilor și eforturilor maxime posibile, după fiecare direcție principală în parte. Cu alte cuvinte, fiecare sistem trebuie calculat la câteva combinații de sarcini seismice, când într-un același punct  $k$ , valorile forței  $S_k$  vor fi diferite și anume:

$$\begin{aligned} S_{k1} &= k_s \eta_{k1} \beta_1 Q_k; \\ S_{k2} &= k_s \eta_{k2} \beta_2 Q_k; \\ &\cdot \quad \cdot \quad \cdot \quad \cdot \quad \cdot \quad \cdot \\ &\cdot \quad \cdot \quad \cdot \quad \cdot \quad \cdot \quad \cdot \\ S_{kn} &= k_s \eta_{kn} \beta_n Q_k. \end{aligned} \quad (8')$$

Trecem acum la evaluarea cantitativă a valorii coeficientului dinamic  $\beta$ .

## 2. COEFICIENTUL DINAMIC $\beta$ ȘI ANALIZA ACESTUIA

Așa cum s-a amintit mai sus, prelucrarea seismogramelor a dovedit că valorile medii ale decremenților amortizării  $\varepsilon_0 T$  sînt egale cu  $\approx 0,1$ . Plecînd de la această valoare și luînd mărimea  $\frac{\psi}{2\pi}$  (care definește amortizarea oscilațiilor construcției) egală cu 0,1, ceea ce corespunde aproximativ amortizării oscilațiilor clădirilor pe schelet de beton armat și celor de zidărie, au fost calculate valorile maxime ale lui  $\beta$  pentru diferite rapoarte dintre frecvențele  $p$  ale oscilațiilor proprii și frecvențele  $\omega$  ale oscilațiilor forțate ale sistemului. Amintim totodată, că pentru diferite rapoarte  $\frac{p}{\omega}$  valoarea lui  $\beta$  ajunge la valori maxime la diferite valori ale timpului  $t$ . Rezultatele acestor calcule se dau în diagrama <sup>1)</sup> din fig. 3, a.

<sup>1)</sup> Se atrage atenția că diagrama lui  $\beta$  din fig 3, a, a fost construită într-o formă întrucîtva neobișnuită: pe axa absciselor nu s-a luat, așa cum se obișnuiește  $\frac{\omega}{p}$ , ci inversul acestei mărimi  $\frac{p}{\omega}$ .



Această diagramă este foarte asemănătoare ca aspect cu curba de rezonanță obișnuită a oscilațiilor forțate, când variază frecvența sarcinii. Totuși, ordonatele diagramei  $\beta$  diferă fundamental de aceasta și astfel pentru  $p=\omega$  ele reprezintă  $0,586 \approx 0,6$  din valoarea care corespunde regimului staționar. Valorile obținute pentru ordonatele  $\beta$  corespund doar valorilor lui  $\varepsilon_0 T$  și  $\frac{\psi}{2\pi}$  folosite în calcule și odată cu variația acestor parametri valorile lui  $\beta$  vor varia la rîndul lor.

Astfel, dacă un șoc seismic real ar produce numai oscilații ale solului cu o singură frecvență și dacă acestor oscilații cu o singură frecvență le-ar corespunde o accelerație maximă, egală cu  $a_0 \omega^2$ , coeficientul dinamic al unui astfel de șoc aplicat unei construcții cu o frecvență a oscilațiilor proprii  $p=\omega$  ar fi egal aproximativ cu 6. În realitate însă, oscilațiile solului nu se produc cu o singură frecvență și deci accelerația maximă care se constată corespunde nu unei anumite componente a acestui proces de oscilație, ci acțiunii globale a componentelor. Totodată, evident, efectul lor global va fi mai mic, deoarece construcția va putea să se afle în rezonanță doar cu o singură componentă, fie chiar cea mai intensă, a procesului de oscilație al solului care se produce cu mai multe frecvențe.

De aceea, pentru nevoile practice efectul dinamic maxim posibil produs de o singură componentă, fie chiar cea mai intensă, dintre componentele procesului de oscilație al solului, se va afecta cu un coeficient de corecție subunitar. Ținînd seama că stabilirea valorii unei astfel de corecții este foarte dificilă, considerăm că eroarea cea mai mică se va obține atunci cînd se va lua media valorilor posibile (adică media dintre zero și 1), egală cu 0,5. Aplicarea unei astfel de corecții la coeficientul  $\beta$  va avea ca efect reducerea la jumătate a tuturor ordonatelor diagramei din fig. 3, a.

Ținînd seama de ipoteza simplificatoare adoptată mai sus și anume că și caracteristicile de frecvență ale componenteii celei mai intense a procesului de oscilație pot avea orice valori între  $\omega_1$  și  $\omega_2$ , o consecință firească a acestui fapt va fi concluzia că toate construcțiile, la care



frecvențele oscilațiilor proprii se află în limitele cuprinse între  $\omega_1$  și  $\omega_2$ , vor suferi un același efect dinamic maxim. Pe reprezentarea grafică, aceasta se reduce la înscrierea valorilor maxime ale coeficientului  $\beta$  într-un platou, așa cum se arată în fig. 3, b.

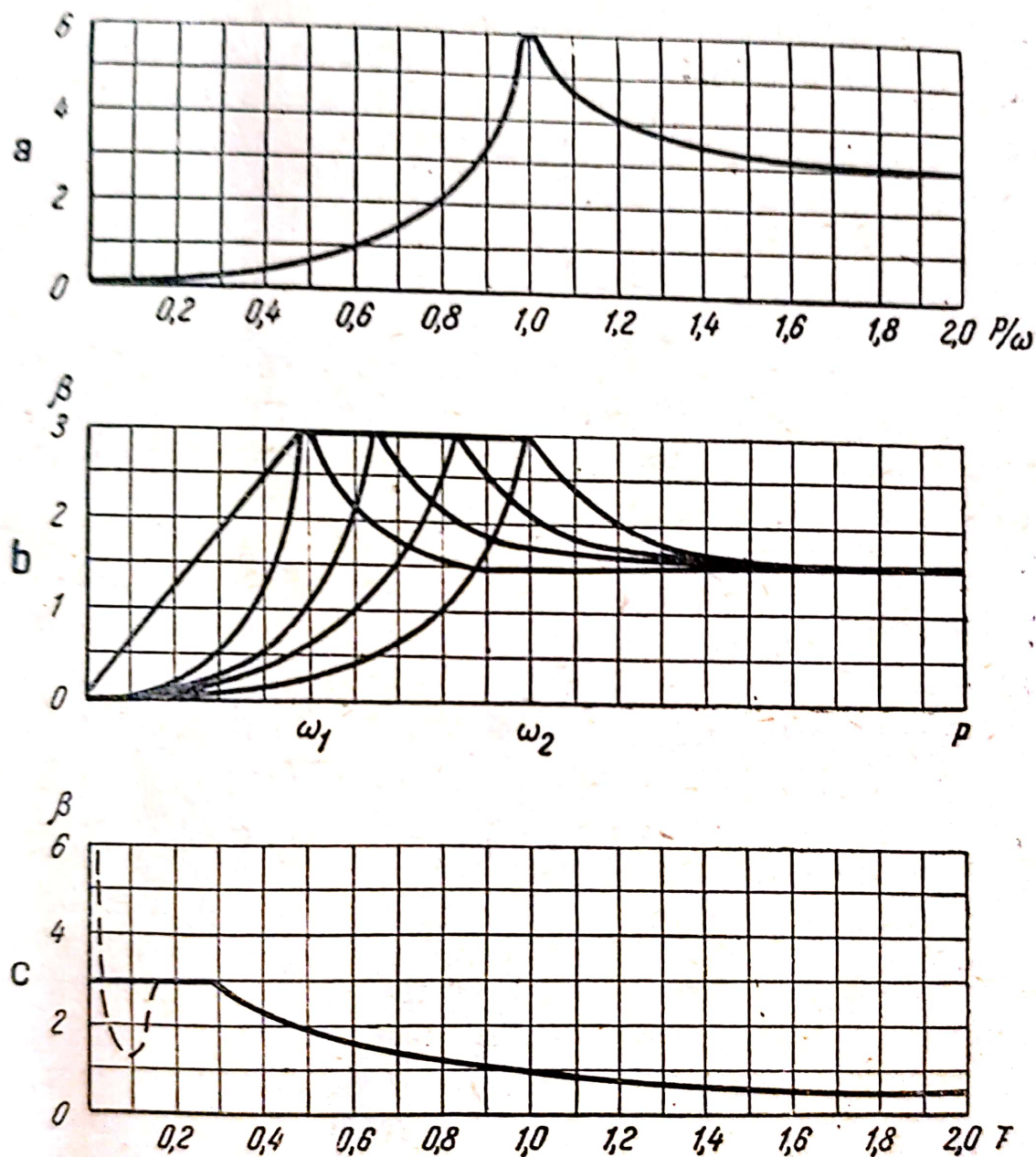


Fig. 3. Diagramele coeficientului dinamic  $\beta$ :

a — în funcție de  $\frac{p}{\omega}$ ; b — în funcție de  $p$ ; c — în funcție de  $T$ ;  $\omega$  — frecvența oscilațiilor terenului;  $p$  — frecvența oscilațiilor proprii ale construcției;  $T$  — perioada oscilațiilor proprii ale construcției.

Apoi, întrucât la trasarea diagramei  $\beta$  s-a ținut seama numai de oscilațiile solului care se produc cu frecvențe ce corespund accelerațiilor maxime ale scoarței pământului și nu s-a ținut seama de oscilațiile cu frecvențe joase ale



solului care se produc într-un stadiu ulterior al cutremurului, aceste oscilații, cu toate că nu au accelerații mari, pot fi periculoase pentru construcțiile cu o astfel de frecvență joasă a oscilațiilor proprii. De aceea, datorită caracterului convențional pronunțat al deducțiilor teoretice, și pe de altă parte, datorită nevoii evidente de a se ține seama de cele arătate mai înainte, este indicat să se aducă o oarecare corecție diagramei prin trasarea pe aceasta a unei drepte înclinate (fig. 3, b).

Totuși, diagrama  $\beta$  exprimată în funcție de frecvența  $p$  este întrucîtva incompletă, deoarece îi lipsește domeniul frecvențelor înalte, cînd valoarea lui  $\beta$ , inițial, scade ușor, iar apoi crește pînă la infinit. Pentru a scoate în evidență această porțiune de pe diagrama  $\beta$  este necesar ca pe axa absciselor, în locul frecvenței  $p$ , să se ia perioada  $T$ , în care caz diagrama  $\beta$  va căpăta aspectul din fig. 3, c.

Din punct de vedere practic este extrem de importantă alegerea valorilor maxime ale mărimilor  $\omega_1$  și  $\omega_2$ , care corespund accelerațiilor maxime posibile din timpul cutremurelor. Dificultățile care apar se datoresc faptului că după cum se pare, mărimile  $\omega_1 - \omega_2$  depind de structura geofizică a regiunii și în consecință pot fi diferite în diferitele puncte ale globului pămîntesc. În același timp, datele de care se dispune pentru caracterizarea regiunilor seismice din U.R.S.S. sînt foarte limitate, corespund numai cutremurelor de intensitate slabă și în consecință sînt insuficiente pentru stabilirea valorilor certe ale lui  $\omega_1$  și  $\omega_2$ . Ținînd seama de toate acestea, la alegerea limitelor probabile ale lui  $\omega$ , în datele de mai sus rezultate din prelucrarea seismogramelor folosite, s-au introdus corecții importante bazate pe datele din literatura străină. În esență s-a admis că accelerațiile maxime ale suprafeței pămîntului se observă în intervalul de perioade cuprins între 0,15 și 0,3 s. Aceste valori s-au adoptat la construirea diagramei din fig. 3, c.

Intrucît la trasarea diagramei  $\beta$  s-au admis o serie de ipoteze simplificatoare care nu sînt indiscutabile, este cazul ca rezultatele obținute să fie analizate, iar concluziile să fie comparate cu experiența de care se dispune în domeniul comportării construcțiilor în timpul cutremurelor.



Analiza diagramei din fig. 3, c, arată că valorile lui  $\beta$  au patru porțiuni caracteristice: porțiunea din stînga, care corespunde unor sisteme deosebit de rigide (în intervalul  $T=0 \dots 0,05$  s), se caracterizează prin valorile mari ale lui  $\beta$  cînd accelerațiile maxime se nasc în sistem aproape instantaneu cu începutul oscilațiilor terenului. Aceasta se explică prin aplicarea instantanee a sarcinii, adică prin caracterul impulsiv al acțiunii sale în momentul inițial. Apoi urmează porțiunea  $T \approx 0,05 \dots 0,15$  s, în care se observă o oarecare micșorare a lui  $\beta$  și în care maximul său întîrzie întrucîtva în timp, față de începutul mișcării terenului de fundație. Apoi urmează un fel de zonă de rezonanță ( $T \approx 0,15 \dots 0,3$  s). Aici  $\beta$  ajunge la valoarea sa maximă, egală cu 3, abia după mai multe solicitări ale terenului de fundație asupra sistemului considerat, adică maximul survine cu mult mai tîrziu decît începutul cutremurului. În sfîrșit, porțiunea a patra, finală, a curbei ( $T > 0,3$  s) se caracterizează printr-o micșorare continuă a lui  $\beta$  pe măsura creșterii flexibilității sistemului și în fine se observă o amortizare completă, adică masa nu este supusă la acțiunea vreunor accelerații.

Să vedem ce se întîmplă în realitate.

Unul dintre tipurile cele mai rigide de construcție îl constituie masivele de piatră, de exemplu diferitele monumente masive. Se știe din literatură că, în urma cutremurelor, aceste construcții sînt uneori distruse [10]. Totodată, forțele de inerție care le-ar fi putut distruge ar fi trebuit să corespundă unor accelerații foarte mari, cu mult superioare accelerației solului, care se evaluează prin gradul cutremurului. Explicînd aceste fenomene, unii cercetători au exprimat părerea că în cursul oscilațiilor solului, la un moment dat s-au produs variații foarte mari ale vitezelor, care amintesc un fel de discontinuități ale vitezelor [10]. Astfel de accelerații au fost înregistrate, de exemplu, pe accelerogramele obținute în urma cutremurului de la Long-Beach (S.U.A.). Așa cum arată Lode-Brown, acolo s-au observat accelerații superioare lui  $g$ , însă care au acționat un timp extrem de scurt, din care cauză ele deveneau periculoase numai pentru sistemele cele mai rigide. Astfel,



porțiunea de margine din stînga diagramei  $\beta$  (fig. 3) concordă calitativ, pe deplin satisfăcător, cu realitatea.

Apoi, pentru a se aprecia posibilitatea apariției fenomenelor de rezonanță în timpul cutremurului, se pot folosi datele citate în articolul lui C. M. Duke și R. A. Brisbane [20]. În această lucrare autorii descriu rezultatele măsurărilor efectuate la o clădire cu patru niveluri, pe schelet de beton armat (Los-Angeles) în timpul celor două cutremure din 1952 și 1954. Pe lîngă înregistrarea oscilațiilor terenului s-au măsurat deformațiile locale din nodul de beton armat al planșeului de peste primul nivel al clădirii. Unele extrase din datele experimentale citate în articolul lui C. M. Duke și R. A. Brisbane se dau în tabela 1 și în fig. 4.

Tabela 1

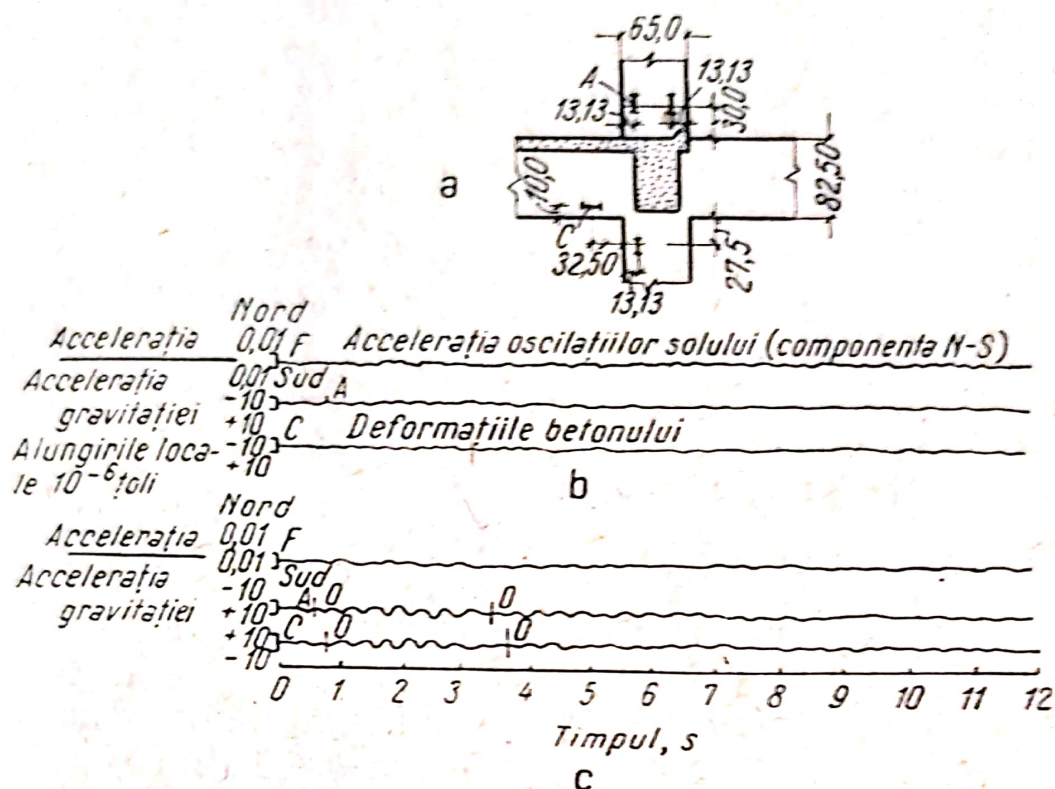
Nr. crt.	Datele înregistrate	Cutremurul din 1952	Cutremurul din 1954
1	Accelerația oscilațiilor terenului:		
	amplitudinea maximă	0,007 g	0,01 g
	numărul predominant al oscilațiilor	5—8 osc/s	3—5 osc/s
2	Deformațiile din nod:		
	dispozitivul de măsură A	$1,8 \cdot 10^{-6}$ țoli	$10,5 \cdot 10^{-6}$ țoli
	dispozitivul de măsură C	$1,4 \cdot 10^{-6}$ țoli	$8,5 \cdot 10^{-6}$ țoli
3	Numărul predominant al oscilațiilor	3,2 osc/s	2,8 osc/s

Înșiși autorii articolului comentează foarte succint datele experimentale pe care le citează, mărginindu-se doar la următoarea observație:

„Accelerația maximă a oscilațiilor terenului în timpul cutremurului din 1954 nu a fost cu mult mai mare decît în timpul cutremurului din 1952 în timp ce deformațiile înregistrate au fost cam de șase ori mai mari. O diferență atît de mare în reacțiunea clădirii se pare că se explică prin frecvențele predominante ale accelerațiilor oscilațiilor terenului, întrucît în timpul cutremurului din 1954 frecvența accelerațiilor oscilațiilor era apropiată de frecvența de rezonanță a clădirii“.



Vom încerca să utilizăm într-o măsură mai mare aceste rezultate. După cum se vede din vibrogramele A și C (fig. 4, c) oscilațiile au caracterul net pronunțat al bățăilor, ceea ce



dovedește existența cel puțin a două componente armonice ale acestui proces de oscilație. Dacă se folosește relația dintre frecvențele care dau bățile și frecvențele care caracterizează oscilațiile în timpul bățăilor, după cum se știe, vom avea:

numărul bățăilor

$$f_b = \frac{f_1 - f_2}{2} \quad (9)$$

și numărul oscilațiilor procesului oscilator rezultat pe timpul bățăilor

$$f_r = \frac{f_1 + f_2}{2} \quad (10)$$

Numărul bățăilor, calculat de noi, din vibrogramele A și C (fig. 4, c) (jumătatea perioadei bății  $\frac{T_b}{2}$  s-a luat



egală cu distanța dintre punctele  $O—O$ , așa cum se arată în fig. 4, c) este  $\approx 0,174$  Hz. În schimb numărul oscilațiilor procesului rezultat este  $f_r \approx 2,8$  Hz. Prin urmare,

$$\text{și } \left. \begin{aligned} f_1 &= f_r + f_b = 2,8 + 0,174 \approx 2,974 \text{ Hz} \\ f_2 &= f_r - f_b = 2,8 - 0,174 \approx 2,6 \text{ Hz.} \end{aligned} \right\} \quad (11)$$

Se poate observa că valoarea lui  $f_1$  concordă foarte bine cu frecvența cea mai joasă a oscilațiilor predominante ale terenului și se pare că constituie pentru construcția considerată componenta cea mai importantă a șocului seismic. În schimb, valoarea lui  $f_2$  caracterizează frecvența oscilațiilor proprii ale clădirii.

Vibrogramele care corespund cutremurului din anul 1952 (fig. 4, b) au o curbă oarecare și fenomenul bățăilor nu se observă la ele. Aceasta nu vine în contradicție cu schema de calcul adoptată întrucât, după cum se vede din tabela 1, numărul predominant al oscilațiilor terenului în anul 1952 a fost mai mare (5—8 Hz) și în consecință, în acest caz nu trebuie să se observe nici un fel de fenomene de rezonanță.

În ansamblu se poate considera că datele citate în articolul lui C. M. Duke și R. A. Brisbane, confirmă posibilitatea apariției fenomenelor de rezonanță în timpul cutremurelor, și în consecință ele arată că adoptarea unor valori majorate ale lui  $\beta$  în domeniul frecvențelor predominante ale accelerațiilor scoarței pământului (adică în intervalul  $\omega_1—\omega_2$ ) este fundamentată.

Porțiunea extremă din dreapta diagramei  $\beta$  care caracterizează efectul amortizării este deajuns de explicabilă și nu necesită nici un fel de confirmări sau comentarii.

Astfel diagrama obținută pentru  $\beta$  cu toate ipotezele simplificatoare adoptate la trasarea ei, caracterizează satisfăcător, din punct de vedere calitativ, efectul dinamic al cutremurelor asupra construcțiilor.

Prin trecerea la propuneri finale cu caracter practic, s-a considerat necesar să se mai simplifice întrucâtva diagrama, și anume: ținând seama pe de o parte de lungimea mică a porțiunii  $T \approx 0,05 \dots 0,15$  s în care se observă o



oarecare micșorare a lui  $\beta$ , și caracterul pronunțat convențional al alegerii limitelor porțiunii cu accelerații maxime, pe de altă parte, pentru nevoile practice întreaga porțiune  $T=0 \dots 0,3$  s se poate înlocui printr-o dreaptă, adică cu  $\beta=3$  (dreapta orizontală, continuă, groasă, fig. 3,c); această diagramă finală a lui  $\beta$ , analitic, se exprimă astfel:

$$\beta = \frac{0,9}{T} \leq 3. \quad (12)$$

Diagrama lui  $\beta$  reprezentată în fig. 3,c, corespunde efectului dinamic al cutremurului asupra unei construcții cu o amortizare caracterizată prin  $\frac{\psi}{2\pi} = 0,1$ . La construcțiile cu alte valori ale lui  $\psi$ , efectul dinamic, de asemenea, trebuie să fie diferit.

Caracteristica amortizării adoptată aici  $\frac{\psi}{2\pi} = 0,1$  și respectiv coeficientul dinamic  $\beta = \frac{0,9}{T}$ , se pot aplica în calculele practice la construcțiile de locuințe, construcțiile civile și industriale, precum și în cazul construcțiilor relativ rigide ale căror deplasări în timpul oscilațiilor sînt determinate într-o mare măsură de deformațiile de lunecare.

În cazul construcțiilor relativ flexibile, care au un coeficient de amortizare destul de mic, cum sînt: coșurile de fum, pilonii, turnurile și alte construcții analoge, care în esență lucrează la încovoiere și nu la lunecare, valoarea lui  $\psi$  se va micșora cam de 1,5—2 ori și respectiv valoarea lui  $\beta$  se va mări de 1,5—2 ori. Pentru aceste construcții flexibile coeficientul dinamic se poate lua egal cu

$$\beta_1 \approx \frac{1,5}{T} \leq 5. \quad (13)$$

Diagrama obținută pentru  $\beta$  corespunde cazului deplasării terenului după legea unor curbe armonice, amortizate. În consecință, dacă se adoptă o altă ecuație de mișcare a terenului de fundație, diagrama lui  $\beta$  de asemenea se modifică. Se poate demonstra însă că variațiile funcției  $y_0(t)$  se vor referi numai la valoarea lui  $\beta$  și nu vor avea influență asupra



valorii coeficientului  $\eta$ . De aceea, întrucît mişcarea reală a terenului de fundaţie va diferi mai mult sau mai puţin de orice interpretare matematică simplificată a acestei mişcări, de aici înainte precizarea diagramei  $\beta$  se pare că se va putea face cel mai raţional pe baza metodei experimentale, expuse în lucrările [10], [18].

Înceind analiza diagramei  $\beta$  vom relua problema pusă anterior şi anume, dacă calculul construcţiilor trebuie făcut la toate combinaţiile dintre forţele seismice  $S_{ki}$  care corespund fiecărei forme a oscilaţiilor proprii ale sistemului. Această problemă necesită precizări fie chiar şi pentru motivul că fiecare construcţie este un sistem cu un număr infinit de grade de libertate şi în consecinţă, în formularea dată mai sus, care prevede examinarea tuturor combinaţiilor posibile dintre forţele seismice, practic, ea devine nerezolvabilă.

Dacă se neglijează efectul dinamic al solicitării seismice asupra construcţiei (adică coeficientul  $\beta$ ) forma cea mai periculoasă a oscilaţiilor oricărui sistem va fi aceea care corespunde frecvenţei celei mai joase a oscilaţiilor sale proprii. Valabilitatea acestei afirmaţii este evidentă, deoarece în acest caz în timpul oscilaţiilor, sistemul nu are puncte nodale şi în consecinţă toate forţele seismice acţionează după o singură direcţie. Astfel, la o aceeaşi valoare a lui  $\beta$ , pentru toate formele deformaţiilor, forma cu numărul cel mai mic de puncte nodale trebuie să producă momente încovoietoare şi forţe tăietoare maxime. Prin urmare, dacă frecvenţa oscilaţiilor proprii, care corespunde formei celei mai joase a deformaţiei construcţiei, nu coboară sub limita din stînga a zonei frecvenţelor posibile ale oscilaţiilor terenului cu acceleraţii maxime (fig. 3, b), tocmai această primă formă a oscilaţiilor sistemului este şi cea mai periculoasă pentru rezistenţa construcţiilor.

Formele următoare, mai înalte, ale oscilaţiilor construcţiilor pot deveni periculoase numai atunci cînd coeficientul pentru formele mai joase ale oscilaţiilor va avea valori mici. De aceea, calculul la stabilitate seismică a construcţiilor se va începe prin examinarea formei celei mai joase a oscilaţiilor sale (adică  $S_{k1}$ ) iar formele mai înalte ale deformaţiei se vor examina numai pe măsura necesităţii.



În felul acesta, calculul construcțiilor la solicitări seismice se propune să se facă pentru valorile de calcul ale forțelor seismice, determinate cu formula

$$S_k = k_s \beta \eta_k Q_k, \quad (8'')$$

începînd cu examinarea frecvențelor celor mai joase ale oscilațiilor proprii ale sistemului.

Amintim că, în această formulă, valoarea lui  $k_s$  nu depinde de caracteristicile proprii ale clădirilor și construcțiilor și este stabilită în norme în funcție de proprietățile seismice și geologice ale regiunii supuse acțiunii cutremurelor.

Coeficientul  $\beta$  este o funcție care depinde de caracteristicile de frecvență ale oscilațiilor construcțiilor și procesului de oscilație. Pe lângă aceasta, valoarea lui  $\beta$ , mai depinde și de împrăștierea energiei în pămînt și în materialul construcției.

Factorul  $\eta$  este o funcție de forma oscilațiilor construcției și permite să se țină seama de neuniformitatea distribuției forțelor de inerție în diferitele porțiuni ale construcției.

### 3. RECOMANDĂRI CU PRIVIRE LA DETERMINAREA SARCINILOR SEISMICE CARE ACȚIONEAZĂ ASUPRA CONSTRUCȚIILOR <sup>1)</sup>

La proiectarea clădirilor și construcțiilor care se execută în regiuni seismice, pe lângă calculul lor la sarcini obișnuite, se va face și calculul la acțiunea forțelor seismice. Calculul se face în ipoteza acțiunii statice a forțelor seismice, a căror distribuție se ia în raport cu distribuția maselor în construcție.

Forțele seismice pot avea orice orientare în spațiu.

La calculul clădirilor și construcțiilor în ansamblu la sarcini seismice (clădiri de zidărie sau pe schelet, turnuri, coșuri de fum, piloni, ziduri de sprijin, sonde etc.) sau la calculul elementelor lor componente mari (anumiți șpaleți,

<sup>1)</sup> Recomandările expuse în acest capitol nu se aplică construcțiilor de pe căile de comunicație și celor hidrotehnice.



umplutura scheletelor de rezistență etc.), forțele seismice de regulă, se consideră că acționează în plan orizontal deoarece acest mod de încărcare, în mod obișnuit, dă naștere la eforturi maxime în construcție.

În schimb, la calculul îmbinărilor rigide dintre elementele masive ale clădirilor și construcțiilor (buloanele de ancorare ale stîlpilor, fermelor, arcelor etc., precum și elementele de ancorare a castelelor de apă, turnurilor, balcoanelor, copertinelor, parapetelor etc.) este necesar să se examineze și eventualitatea unei astfel de orientări a forțelor seismice, care să producă forfecarea sau întinderea acestor îmbinări.

Forțele seismice împreună cu alte forțe și sarcini fac parte din categoria sarcinilor extraordinare și calculul se face la acțiunea simultană a forțelor seismice, greutatei proprii a construcțiilor și sarcinilor utile. În acest caz, sarcina produsă de vînt nu se ia în considerație. Conform „Normelor și regulilor de construcție” (capitolul II, B, 1, § 3, pct. 3), atunci cînd se ține seama de forțele seismice, valorile sarcinilor utile se înmulțesc cu coeficientul 0,8.

La calculul construcțiilor la forțe seismice, se neglijează acțiunea de descărcare a forței de frecare, acțiunea dinamică a utilajului, forțele de frînare și forțele laterale din podurile rulante, forțele de inerție din sarcinile suspendate cu cabluri flexibile etc.

Valoarea de calcul a forței seismice într-un punct oarecare  $k$ , unde conform schemei de calcul a construcției este concentrată masa de greutate  $Q_k$ , se determină cu formula

$$S_k = k_s \beta \eta_k Q_k$$

unde  $k_s$  este coeficientul seismic (se ia din tabela 2).

Tabela 2. Valorile coeficientului  $k_s$

Seismicitatea de calcul, în grade	7	8	9
Valoarea coeficientului seismic $k_s$	0,025	0,05	0,1



$Q_k$  este greutatea elementelor clădirii sau construcției, sarcina utilă a planșeelor, greutatea proprie a podurilor rulante, sarcina din zăpadă etc. și este sarcina care generează forța de inerție. Valoarea lui  $Q_k$ , necesară pentru calculul forței seismice, se determină pe baza sarcinilor normate, fără a se ține seama de coeficientul de supraîncărcare în cazul elementelor greutății proprii a construcției și introducând coeficientul 0,8 la sarcinile utile normate. Fac excepție construcțiile de tipul depozitelor, silozurilor etc., când sarcinile utile se iau în întregime.

$\beta$  — coeficient dinamic (a cărui valoare maximă este 3 și valoare minimă 0,6<sup>1)</sup>, care depinde de perioada oscilațiilor proprii ale construcției și se determină din diagrama din fig. 5, sau cu formula  $\beta = \frac{0,9}{T}$ ;

$\tau_k$  — coeficient care depinde de forma deformațiilor construcției în timpul oscilațiilor sale libere și de punctul de aplicație al sarcinii  $Q_k$  pe construcție (fig. 6).

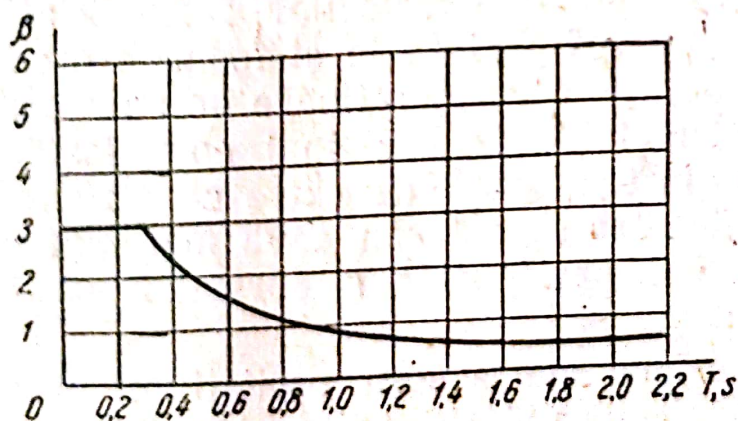


Fig. 5. Diagrama coeficientului dinamic  $\beta$  pentru determinarea forțelor seismice  $S_k$ :  
 $T$  — perioada oscilațiilor proprii ale construcției, în s.

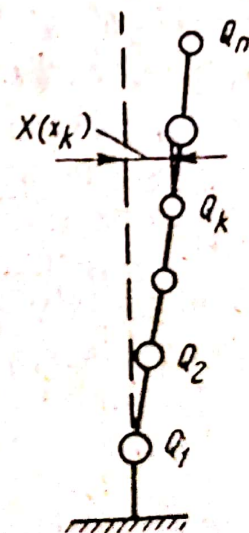


Fig. 6. Schema de calcul a construcției.

<sup>1)</sup> Aici, spre deosebire de formula (12) valoarea minimă a lui  $\beta$  se limitează ca o măsură de prudență.



Coeficientul  $\eta_k$  se calculează cu formula

$$\eta_k = \frac{X(x_k) \sum_1^n Q_j X(x_j)}{\sum_1^n Q_j X^2(x_j)}, \quad (6')$$

unde  $X(x_k)$  și  $X(x_j)$  sînt deplasările pe schema de calcul adoptată pentru construcție în timpul oscilațiilor sale libere, respectiv în punctul considerat  $k$  și în toate punctele  $j$ , adică în punctele care corespund punctelor de aplicație ale maselor pe sistemul dat.

Perioadele și formele deformațiilor oscilațiilor proprii ale construcțiilor, corespunzătoare celor dintîi, se determină prin metodele mecanicii construcțiilor și dinamicii.

La determinarea perioadelor oscilațiilor proprii ale construcțiilor care lucrează în special la încovoiere, se vor folosi valorile normate ale modulilor de elasticitate date în capitolele respective din „Normele și regulile de construcție” [5]. La clădirile de locuit din zidărie de cărămidă, a căror schemă de calcul presupune că ele lucrează în special la lunecare, valoarea modului de elasticitate transversală  $G$ , în cazul pereților de zidărie de cărămidă, se poate lua egală cu 2000 kgf/cm<sup>2</sup>, dacă se neglijează golurile de ferestre și de uși, adică dacă se ține seama de un procent mediu de goluri.

Astfel, pentru determinarea valorilor forțelor seismice, este necesar să se găsească perioadele și formele oscilațiilor construcțiilor considerate corespunzătoare acestor perioade. Această parte a calculului este cea mai complicată, laborioasă și relativ puțin cunoscută de către constructori. De aceea, considerăm necesar să stăruim ceva mai mult asupra problemei determinării perioadelor și formelor oscilațiilor corespunzătoare lor.

Cercetările experimentale asupra oscilațiilor orizontale ale clădirilor de locuit de zidărie, adică ale clădirilor cu o distribuție deasă a pereților interiori portanți, arată că natura deformațiilor lor în timpul oscilațiilor proprii se apropie de modul în care lucrează o consolă la lunecare, fără a se ține seama de deformațiile de încovoiere. Perioadele oscilațiilor lor, chiar în cazul unor construcții relativ



înalte (4—5 niveluri), sînt de ordinul a 0,3—0,4 s. Astfel formele joase ale oscilațiilor acestor clădiri se înscriu aproape în întregime în zona valorilor maxime ale coeficientului  $\beta$  și deci, toate celelalte forme superioare ale oscilațiilor, la calculul la sarcini seismice, nu vor avea importanță practică. Ținînd seama de acești doi factori, pentru aceste clădiri, au putut fi determinate valorile produsului coeficienților  $\beta\eta$ ; aceste valori sînt date în tabela 3.

Tabela 3. Valorile produsului  $\beta\eta$  pentru clădirile de locuit din zidărie

Nivelul	Numărul de niveluri ale clădirilor				
	un nivel	două niveluri	trei niveluri	patru niveluri	cinci niveluri
Primul	3,8	2,7	1,9	1,3	1,0
Al doilea	—	3,8	3,3	2,4	1,8
Al treilea	—	—	3,8	3,2	2,5
Al patrulea	—	—	—	3,4	2,9
Al cincilea	—	—	—	—	3,0

În unele cazuri schema constructivă a clădirii este atît de neclară încît îngreuiază alegerea unei scheme de calcul rațională, iar aceasta la rîndul său nu permite efectuarea calculului dinamic al clădirii cu exactitatea necesară pentru nevoile practice. În acest caz determinarea forțelor seismice se poate face după o formulă aproximativă simplificată, bazată pe ipoteza că acea clădire este absolut rigidă și în timpul cutremurului oscilează doar pe pămînt. În acest caz valoarea coeficientului  $\beta$  se ia maximă, adică egală cu 3, iar expresia lui  $\eta$  devine

$$\eta_k = \frac{x_k \sum_1^n Q_j x_j}{\sum_1^n Q_j x_j^2} \quad (6'')$$

unde  $x_j$  și  $x_k$  sînt respectiv distanțele de la terenul de fundație pînă la punctele  $j$  și  $k$  pe înălțimea clădirii.

Apoi, la determinarea formei celei mai joase a oscilațiilor proprii ale construcției (adică determinarea lui  $X(x_j)$ )



și a lui  $T$  corespunzător) de asemenea se poate admite că deformațiile construcției sînt asemenea deformației statice din încărcarea sistemului cu forțe statice egale cu valorile respective ale lui  $Q_j$ . O astfel de simplificare conduce la obținerea unei valori ceva mai mici a perioadei oscilațiilor proprii ale construcției și în consecință la valori ceva mai mari ale coeficientului  $\beta$ .

Studiul oscilațiilor proprii ale construcțiilor după diferite direcții, conduce la concluzia că valorile forțelor seismice de calcul pot fi diferite în funcție de perioada și formele deformațiilor construcției după acele direcții. De aceea, calculul construcțiilor trebuie efectuat, de regulă, după două direcții orizontale perpendiculare între ele, în lungul construcției și transversal față de aceasta sau după axele sale principale.

La determinarea perioadelor și formelor oscilațiilor proprii corespunzătoare, ca schemă de calcul la clădirile cu schelet de rezistență (fig. 7, *a*) este indicat să se adopte sistemul arătat în fig. 7, *c*, unde  $Q_1, Q_2 \dots Q_n$  sînt greutățile concentrate în cîte un punct, aplicate la nivelul planșeelor, iar  $f_1, f_2 \dots f_n$  și  $r_1, r_2 \dots r_n$  sînt sumele rigidităților liniare ale tuturor stîlpilor și tuturor riglelor de la nivelurile respective ale construcției pe cadre.

În locul schemei din fig. 7, *c*, se poate lua schema de calcul simplificată din fig. 7, *d*; în această schemă nu se ține seama de deformațiile riglelor, ceea ce conduce la valori mai mici decît cele reale ale perioadelor oscilațiilor proprii și deci la valori mai mari decît cele reale ale lui  $\beta$ . În schema corespunzătoare fig. 7, *c* și 7, *d* mărimile  $f_1, f_2 \dots f_n$  sînt atît rigiditățile stîlpilor scheletului cît și umpluturii acestuia, iar în cazul cînd există pereți despărțitori de beton armat sau de zidărie, ele reprezintă și rigiditățile acestora.

Așa cum rezultă din cercetări experimentale, în mod obișnuit, diferența minimă între perioadele reale ale oscilațiilor proprii ale construcțiilor și valorile lor de calcul, în cazul betonului armat, are loc dacă rigiditățile elementelor se calculează ținînd seama că lucrează și zona întinsă a betonului. La determinarea rigidității riglelor, trebuie să



se ține seama de rigiditatea plăcii; dacă calculul clădirii se face pe direcția grinzilor secundare, trebuie ținut seama de rigiditățile plăcii și ale tuturor grinzilor care reazemă (în câmp) pe riglă.

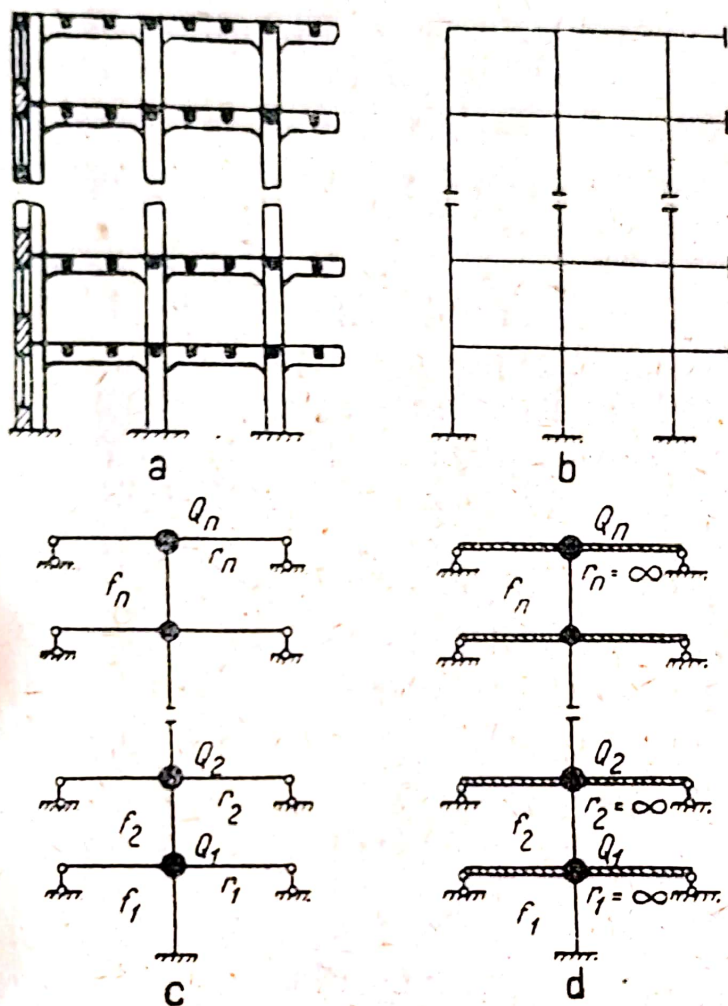


Fig. 7. Schemele construcției cu schelet de rezistență :

*a* — schema constructivă; *b* — schema geometrică;  
*c* — schema de calcul exactă; *d* — schema de calcul simplificată.

La calculul pereților, pereților de umplură ai clădirilor cu schelet de rezistență și prinderilor acestora de schelet, la sarcini seismice locale, după o direcție perpendiculară pe planul lor, valoarea produsului  $\beta\eta$  se determină pentru nivelurile respective ale porțiunilor de perete sau de umpluturi ale scheletului de rezistență însă în acest caz ca măsură de prudență se recomandă ca valorile produsului  $\beta\eta$  să nu se ia mai mici de 2.



Introducerea în calcul a tasării terenului de fundație, conduce la o majorare a perioadei oscilațiilor proprii ale construcțiilor, ceea ce poate atrage după sine o micșorare a coeficientului  $\beta$ . În cazul construcțiilor masive rigide, tasarea terenului de fundație are un rol hotărâtor. Când terenurile sînt slabe, tasarea terenului de fundație poate avea o influență sensibilă și asupra perioadelor oscilațiilor proprii ale clădirilor industriale și civile.

Calculul construcțiilor flexibile (de tipul coșurilor de fum, turnurilor, clădirilor înalte cu multe etaje etc.) nu poate fi limitat la determinarea forțelor seismice, care corespund numai formei celei mai joase a oscilațiilor proprii. Aceste construcții trebuie calculate ținînd seama de posibilitatea apariției și a formelor superioare ale oscilațiilor proprii cu perioade mai mari de 0,3 s și a unei forme următoare cu o perioadă mai mică decît 0,3 s. În mod obișnuit este de ajuns să se țină seama numai de una sau de două forme superioare ale oscilațiilor.

Totodată, la calculul unor astfel de construcții, trebuie ținut seama că construcțiile flexibile care lucrează în special la încovoiere au o amortizare slabă, și de aceea, valoarea lui  $\beta$  se va determina cu formula (13):

$$\beta_1 = \frac{1,5}{T} \leq 5.$$

Prin analogie cu limitarea valorii minime a coeficientului  $\beta$ , făcută mai sus, în cazul de față de asemenea este indicat să se ia  $\beta_1 \geq 1$ ; comparînd formula (13) cu  $\beta = \frac{0,9}{T}$ , obținem  $\beta_1 = \frac{1,5}{0,9}$ ,  $\beta_1 \approx 1,67\beta$ . În „Normele și regulile de construcție în regiunile seismice“ [3] s-a luat  $\beta_1 = 1,6\beta$ .

La determinarea celor trei perioade maxime ( $T_n$ ) și a formelor oscilațiilor proprii corespunzătoare lor,  $X_n(x)$  ale coșurilor de fum se pot folosi formulele aproximative (14) și (15) ale lui A. I. Sudnițin, propuse în teza sa de disertație întocmită sub conducerea autorului. În aceste formule se ține seama atît de tasarea terenului de fundație, cît și de deformațiile elastice ale construcției:

$$T_n = \frac{2\pi}{\sqrt{\lambda_n}} \cdot \frac{l^2}{r_0} \sqrt{\frac{\gamma}{Eg}}; \quad (14)$$



$$X_n(x) = \frac{C}{1+k\frac{x}{l}} \left[ \sin \frac{\pi x}{2l} + \left( \frac{C_2}{C_1} \right)_n \sin \frac{3\pi x}{2l} + \left( \frac{C_3}{C_1} \right)_n \sin \frac{5\pi x}{2l} \right], \quad (15)$$

unde  $\sqrt{\lambda_n}$  este un coeficient care se determină după diagramele din fig. 8,  $n=1, 2$ , și 3;

$l$  — înălțimea coșului de fum;

$E$  — modulul de elasticitate al materialului coșului;

$g$  — accelerația gravitației;

$$k = 2 \frac{A_{0,5}}{A_0} - \frac{A_1}{2A_0} - 1,5; \quad r_0 = \sqrt{\frac{I_0}{A_0}}$$

$$\alpha_0 = \frac{2EI_0}{C_z A_f l^3} \quad (\text{vezi fig. 8-10});$$

$C_z$  — coeficient de compresiune elastică uniformă a terenului;

$\gamma$  — greutatea specifică aparentă a materialului coșului;

$X_n(x)$  — ecuația axei deformată a coșului, corespunzătoare formei a  $n$ -a a oscilațiilor;

$C$  — constantă arbitrară exprimată în unități de lungime;

$\left( \frac{C_2}{C_1} \right)_n$  și  $\left( \frac{C_3}{C_1} \right)_n$  sînt coeficienți care se determină după diagramele din fig. 9 și 10,  $n=1, 2$  și 3;

$A_f$  este aria fundației coșului;

$A_0$  — aria secțiunii transversale a coșului la partea de jos;

$A_{0,5}$  — aria secțiunii transversale la jumătatea înălțimii;

$A_1$  — aria secțiunii transversale a coșului la partea de sus;

$I_0$  — momentul de inerție al secțiunii transversale a coșului la partea de jos.

Construcțiile ale căror deplasări sînt determinate în special de cedarea terenului de fundație (de exemplu silozurile din beton armat) și nu de deformațiile construcțiilor propriu zise, pot fi tratate ca absolut rigide. În acest caz



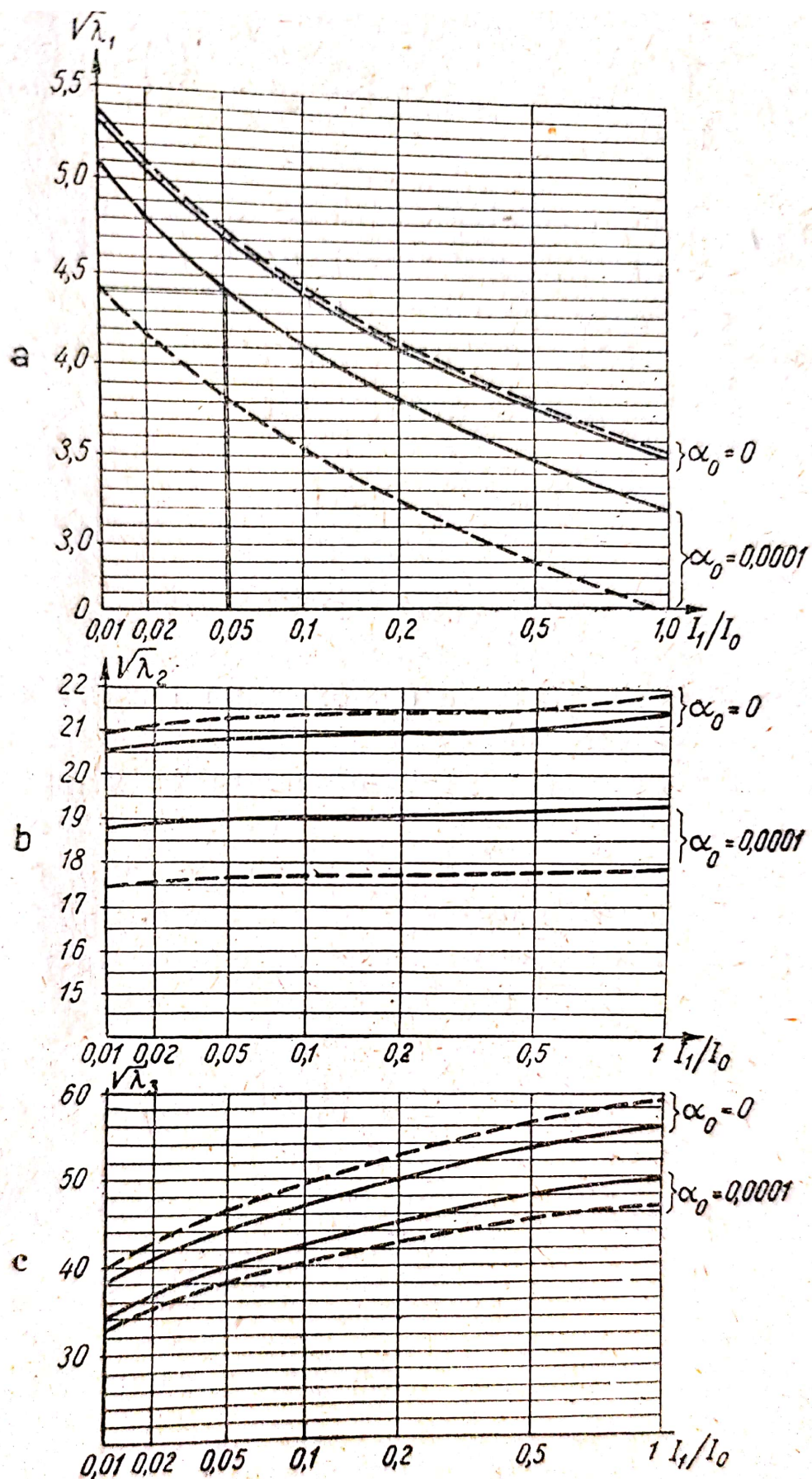


Fig. 8. Diagramele  $V\lambda_1$ ,  $V\lambda_2$  și  $V\lambda_3$  pentru determinarea respectiv a perioadei întâi, a doua și a treia, maxime, a oscilațiilor proprii ale coșurilor de fum:

— pentru coșurile cu  $\frac{l}{r_0} = 40$ ; --- pentru coșurile cu  $\frac{l}{r_0} = 80$ ;  
 ( $l$  — înălțimea coșului,  $r$  — raza de girație a secțiunii coșului).



pentru determinarea perioadelor și formelor oscilațiilor proprii ale construcției<sup>1)</sup> se pot folosi formulele aproximative (16)–(19):

a) lunecarea elastică pe terenul de fundație (deplasare prin mișcarea de translație); perioada și forma oscilațiilor sînt respectiv:

$$T_1 = 2\pi \sqrt{\frac{Q}{A_f C_x g}} \quad (16)$$

$$X_1(x) = C = \text{const},$$

unde  $Q$  este greutatea construcției;

$A_f$  — aria tălpii fundației construcției;

$g$  — accelerația gravitației;

$C_x$  — coeficientul de lunecare elastică a terenului;

b) oscilații prin rotație în jurul unei axe orizontale, care trece prin centrul de greutate al suprafeței tălpii fundației construcției;

perioada și forma oscilațiilor sînt respectiv:

$$T_2 = 2\pi \sqrt{\frac{\theta}{C_\phi I g}} \quad (18)$$

$$X_2(x) = Cx, \quad (19)$$

unde  $\theta$  este momentul de inerție al construcției în raport cu axa orizontală care trece prin centrul de greutate al suprafeței bazei sale și perpendiculară pe planul oscilațiilor considerate;

$I$  — momentul de inerție al suprafeței bazei construcției, în raport cu aceeași axă;

$C_\phi$  — coeficientul de compresiune elastică neuniformă a terenului;

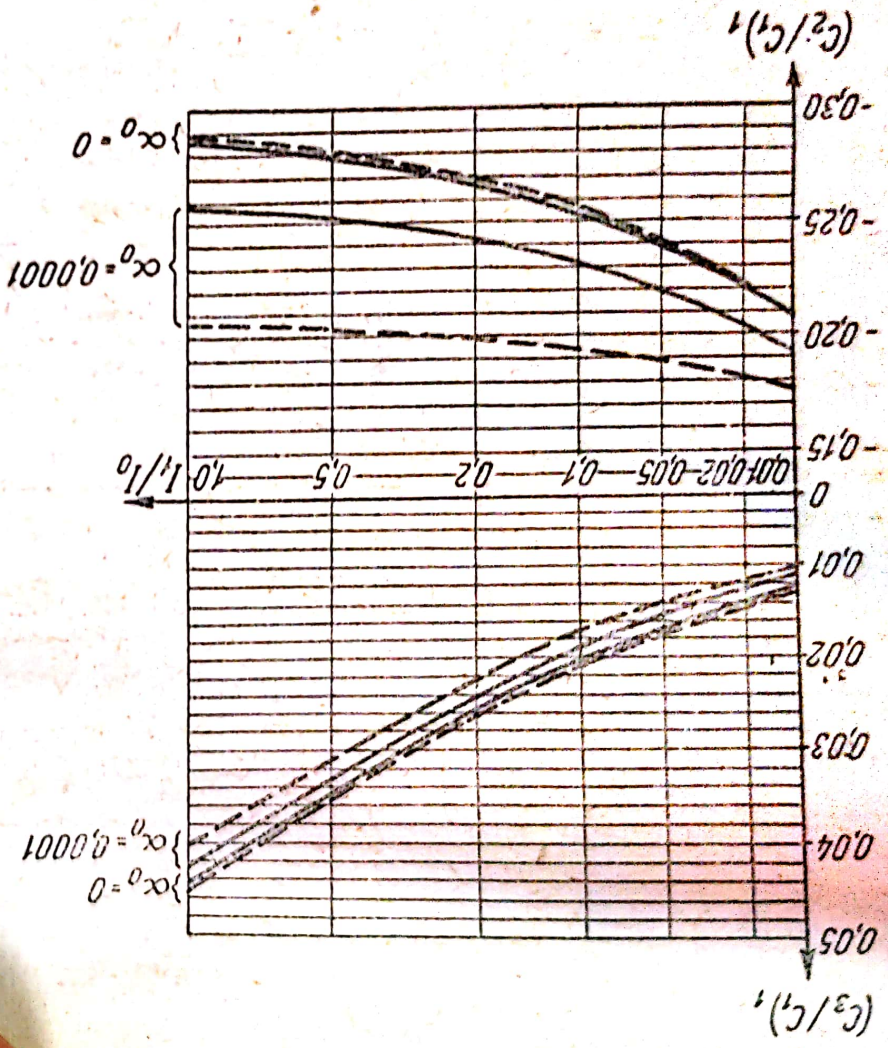
$x$  — distanța pe verticală măsurată de la baza construcției.

Atunci cînd clădirile au proeminențe sub formă de turnuri de dimensiuni relativ mici, parapete și alte elemente asemănătoare cu o masă neînsemnată în comparație

<sup>1)</sup> Aceste recomandări nu se aplică la baraje și alte construcții hidrotehnice, precum și la lucrările de artă de pe căi ferate și șosele.

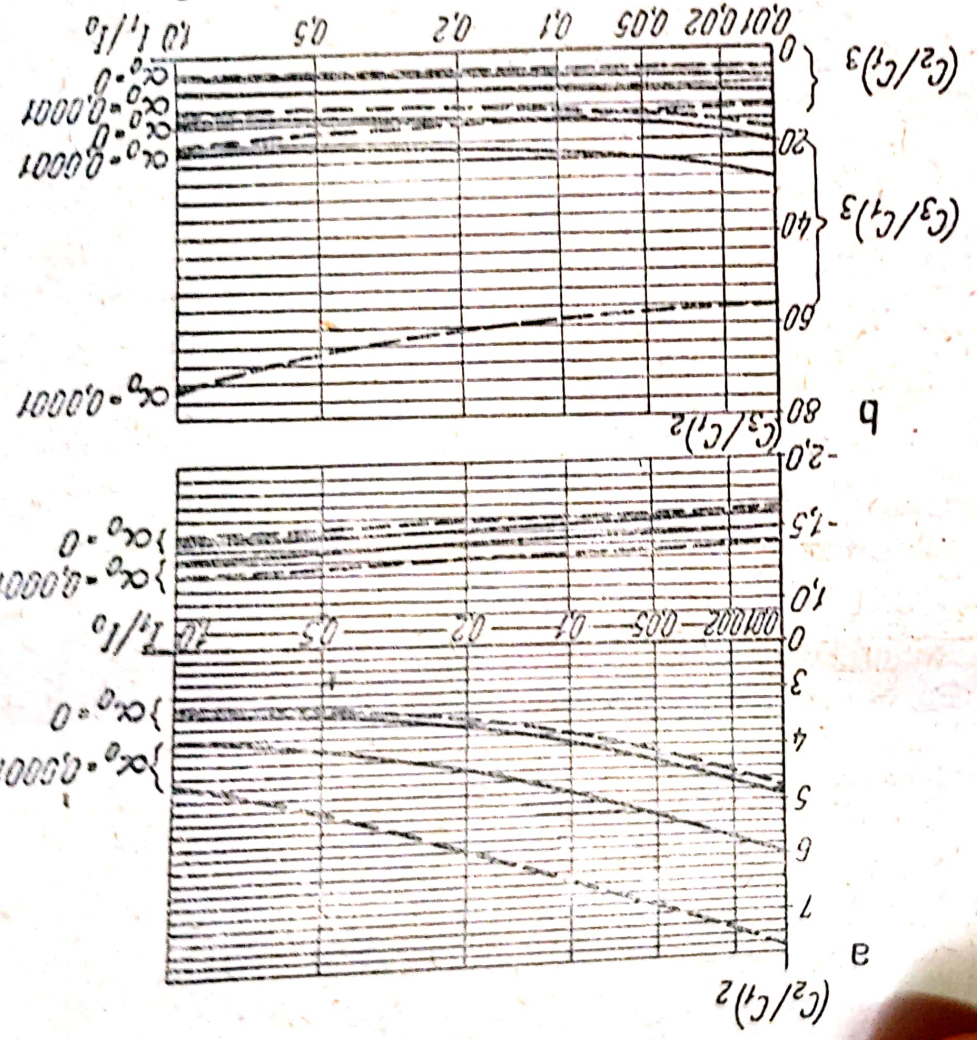


Fig. 9. Diagrammele coeficientilor  $\left(\frac{C_2}{C_1}\right)^1$  și  $\left(\frac{C_3}{C_1}\right)^1$  pentru a cosului de fum, corespunzătoare primelor perioade maxime a oscilațiilor proprii ale cosului:



— pentru cosurile cu  $\frac{l}{l_0} = 40$ ; — — — pentru cosurile cu  $\frac{l}{l_0} = 80$ .

Fig. 10. Diagrammele coeficientilor  $\left(\frac{C_2}{C_1}\right)^n$  și  $\left(\frac{C_3}{C_1}\right)^n$  pentru a cosului de fum corespunzătoare perioadelor a doua (a) și a treia (b) maxime a oscilațiilor proprii ale cosului:



— pentru cosurile cu  $\frac{l}{l_0} = 40$ ; — — — pentru cosurile cu  $\frac{l}{l_0} = 80$ .



cu clădirea, efectuarea unor calcule speciale pentru determinarea forțelor seismice care acționează asupra acestor părți ale clădirii, datorită complexității calculelor nu este rațională. Aici se poate recomanda să se ia valoarea maximă a produsului  $\beta\eta=5$ .

Tot astfel, la calculul balcoanelor, copertinelor de deasupra ușilor de intrare și altor elemente de construcție proeminente cu o masă neglijabilă în comparație cu clădirea, este indicat ca produsul  $\beta\eta$  să se ia egal cu 5. În acest caz, încastrările acestor elemente în pereți se vor verifica la acțiunea forțelor seismice verticale în locul celor orizontale.

Buloanele de ancorare și alte elemente asemănătoare pentru prinderea de fundații a turnurilor, tuburilor, stîlpilor și altor elemente de construcție, precum și elementele care realizează îmbinarea dintre diferitele părți ale clădirilor și construcțiilor, se vor calcula la eforturile care se nasc în ele, în raport cu valorile forțelor seismice determinate pentru construcția considerată. La acele construcții în care eforturile care acționează asupra îmbinărilor de ancorare (locale) nu pot fi determinate din examinarea modului în care se comportă construcția în ansamblu, valoarea produsului  $\beta\eta$  pentru calculul acestor îmbinări se va lua egală cu 5.

#### 4. APRECIEREA CRITICĂ A METODEI PROPUSE PENTRU DETERMINAREA SARCINILOR SEISMICE

În scopul verificării metodei expuse pentru determinarea sarcinilor seismice care acționează asupra clădirilor și construcțiilor, s-a făcut calculul cîtorva tipuri de construcții care au suferit acțiunea cutremurului de la Așhabad din 1948. Aceste calcule au fost făcute conform PSP-101-51 și după noua metodă propusă.

În tabela 4 se dau rezultatele calculelor și observațiile făcute asupra degradărilor suferite de clădirile de zidărie<sup>1)</sup>.

<sup>1)</sup> Datele folosite aici cu privire la clădirile de zidărie de cărămidă au fost luate din Darea de seamă întocmită de Kazgosproekt sub conducerea inginerului-arhitect V. V. Biriukov.



Tabela 4

Nr. grupului de obiecte	Tipul de clădire	Direcția șocului	Gradul de avariere	Nivelul clădirii
	2	3	4	5
1	Case de locuit cu două niveluri, patru obiecte	Mai aproape de axa longitudinală	Considerabil, însă ceva mai mic decât la clădirile situate perpendicular față de cele dintii	Primul Al doilea
	Idem	Mai aproape de axa transversală	Considerabil	Primul Al doilea
2	Case de locuit cu două niveluri, trei obiecte	În lungul axei longitudinale În lungul axei transversale	Două obiecte au fost puternic degradate (s-au prăbușit pereții longitudinali) iar un obiect s-a menținut relativ bine	Primul Al doilea Primul Al doilea
3	Clădirea școlii cu patru niveluri, cu subsol, corpul I	În lungul axei longitudinale	S-a degradat însă nu s-a prăbușit	Primul Al doilea Al treilea Al patrulea
	Idem, corpul II	În lungul axei transversale	S-a distrus complet	Primul Al doilea Al treilea Al patrulea
4	Clădirea sălii de sport, neatajată, un obiect	În lungul axei transversale	A fost puternic avariata, o parte din zidărie s-a prăbușit	Primul



Rezistența de rupere la forfecare a zidăriei kgf/cm <sup>2</sup>	Calculul după PSP-101-51				Calculul după noua metodă			
	Eforturile unitare de calcul, de forfecare din șpaleți, τ kgf/cm <sup>2</sup>		Raportul dintre eforturile unitare de calcul și rezistența de rupere a zidăriei din șpaleți		Eforturile unitare, de calcul, de forfecare din șpaleți, τ kgf/cm <sup>2</sup>		Raportul dintre eforturile unitare de calcul și rezistența de rupere a zidăriei din șpaleți	
	în șpaleții cei mai înguști	în șpaleții cei mai lați	în șpaleții cei mai înguști	în șpaleții cei mai lați	în șpaleții cei mai înguști	în șpaleții cei mai lați	înguști	lați
6	7	8	9	10	11	12	13	14
1,44 0,96	0,35 0,12	0,56 0,2	0,24 0,13	0,39 0,21	1,08 0,46	1,73 0,76	0,75 0,48	1,2 0,79
1,44 0,96	0,47 0,17	0,51 0,18	0,33 0,18	0,36 0,19	1,45 0,65	1,57 0,68	1 0,68	1,09 0,71
1,63 1,3 1,63 1,3	0,32 0,12 0,22 0,08	0,24 0,09	0,2 0,09 0,14 0,06	0,15 0,07	1 0,46 0,68 0,3	0,74 0,34	0,61 0,35 0,42 0,23	0,46 0,26
1,85 1,77 1,41 1,05	0,59 0,55 0,35 0,16		0,32 0,31 0,25 0,15		1,49 1,63 1,15 0,54		0,81 0,92 0,82 0,51	
2,04 1,85 1,45 1,06	0,73 0,66 0,42 0,18	0,76 0,69 0,44 0,19	0,36 0,36 0,29 0,17	0,37 0,37 0,3 0,18	1,83 1,95 1,38 0,61	1,9 2,04 1,44 0,65	0,9 1,05 0,95 0,58	0,93 1,1 1 0,61
1,54	0,21		0,14		0,8		0,52	



Aceste date au mai fost publicate [8] însă în lucrarea de față li s-au adus modificări fundamentale, impuse de corectarea coeficientului  $\beta$ , de introducerea unui alt principiu de distribuire a sarcinii la pereții clădirilor, precum și de adoptarea unui alt criteriu de rezistență a zidăriei.

În schema de calcul a clădirilor din zidărie de cărămidă s-a admis că forțele seismice orizontale acționează în lungul uneia din axele principale ale clădirii. Aceste forțe sînt preluate numai de acei pereți portanți, ale căror axe coincid cu direcția șocului seismic. Pereții de pe direcția perpendiculară pe cea dintîi nu lucrează, însă se iau în considerare ca sarcină.

Intrucît o astfel de schemă constituie un sistem static multiplu nedeterminat, format din  $n$  stîlpi-plăci elastice, sarcina totală care le revine trebuie distribuită proporțional cu rigiditățile lor. Procedeu expus în lucrarea [8] corespundea unei distribuții a sarcinii seismice, proporționale cu rigiditățile la încovoiere (neglijîndu-se deformațiile de lunecare) ale pereților și șpaleților care lucrează paralel. O astfel de distribuție este inexactă și s-a adoptat exclusiv în scopul simplificării calculelor. Distribuția sarcinii trebuie făcută proporțional cu rigiditatea totală a tuturor elementelor care lucrează paralel, ținîndu-se seama atît de deformațiile din încovoiere, cît și de cele din lunecare<sup>1)</sup>.

Forțele orizontale, care acționează în planul șpaleților produc fisuri oblice (fig. 11) cu deschidere maximă la mijlocul înălțimii și lățimii șpaletului. De aceea, plecînd de la distribuția arătată mai sus a sarcinii la diferiți șpaleți ai clădirii au fost calculate valorile eforturilor unitare maxime, care se produc în dreptul deschiderilor maxime ale fisurilor. După cum se știe, în aceste puncte se nasc eforturi unitare principale normale și tangențiale, ale căror valori absolute sînt egale.

După cum se poate vedea din fig. 12 ruperea pereților din zidărie de cărămidă s-a produs nu după planurile de acțiune ale eforturilor unitare principale ci datorită lunecării zidăriei prin rosturi și de aceea, spre deosebire de criteriul

<sup>1)</sup> În aceste calcule raportul dintre modulul de elasticitate transversală  $G$  și modulul lui Young ( $E$ ) s-a luat egal cu 0,4.



adoptat anterior, [8] pentru capacitatea portantă a zidăriei — rezistența de rupere la întindere ( $R_t^n$ ) — în prezent s-a luat rezistența de rupere la forfecare  $\tau$  care se determină

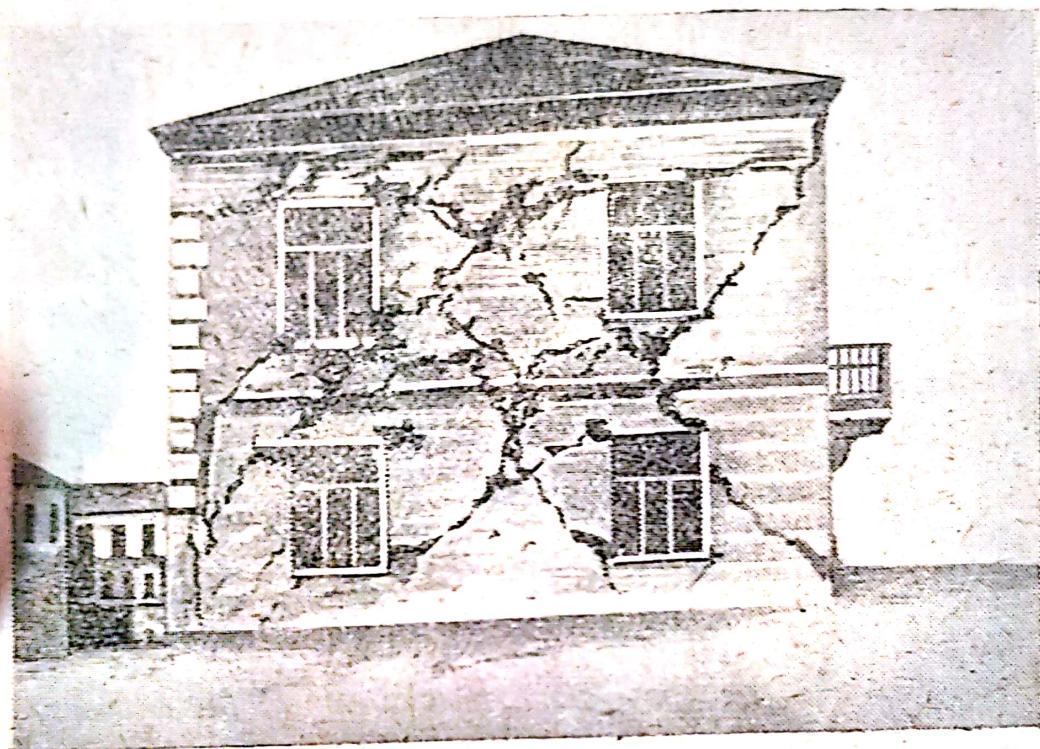


Fig. 11. Fisurile din șpaleții clădirilor de zidărie produse de cutremur.



cu formula luată din lucrările [13], [14] în care însă s-a introdus o corecție ( $m_c$ ) prin care se ține seama de influența aplicării repetate a sarcinii:

$$\tau = m_c (R_f^n + f\sigma_0), \quad (20)$$

unde  $R_f^n$  este rezistența normată (rezistența de rupere) a zidăriei la forfecare;

$f$  — coeficientul de frecare în rostul zidăriei, egal cu 0,7;

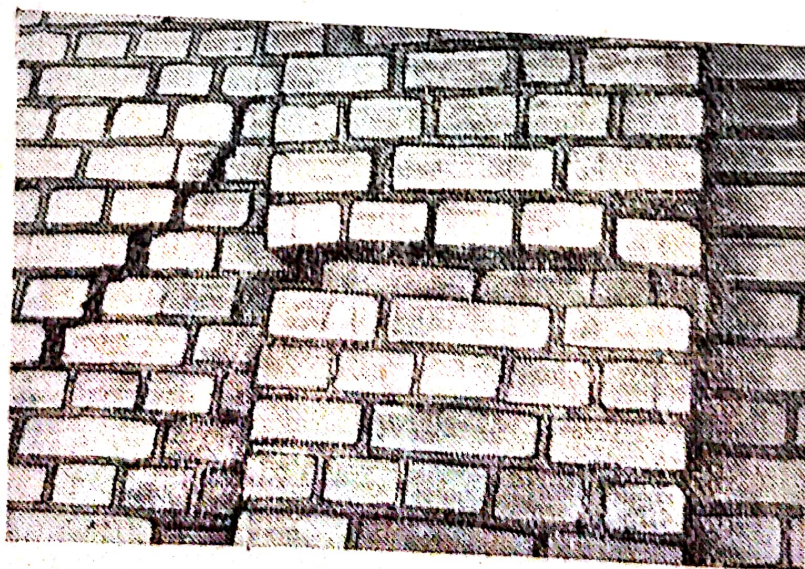
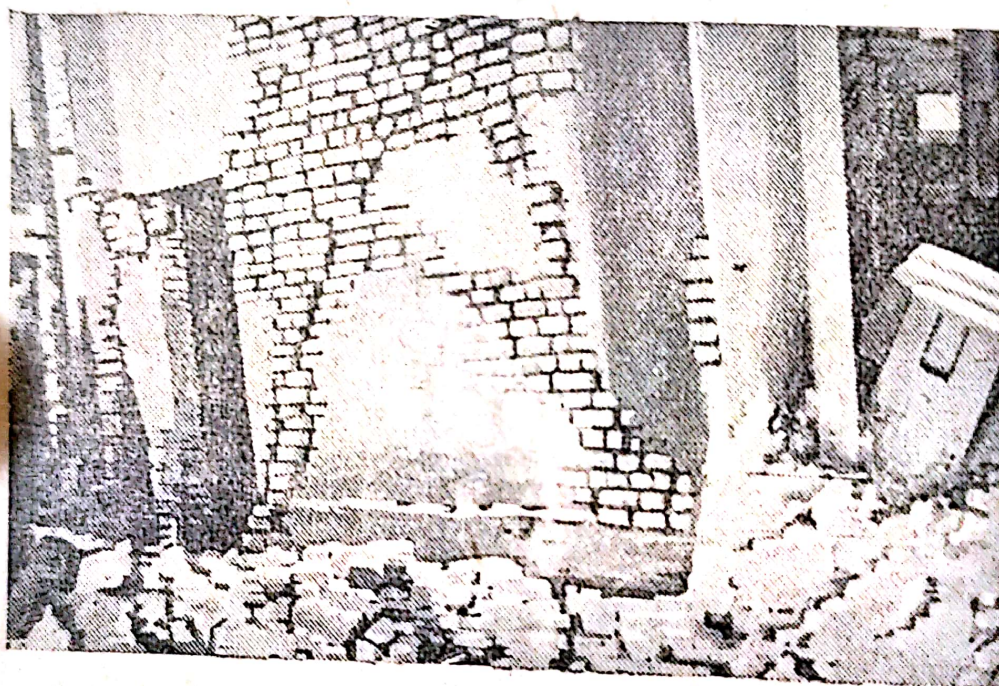


Fig. 12. Caracterul ruperii pereților din zidărie de cărămidă ai clădirilor, în urma cutremurului:

a — fragment de perete rupt; b — detaliu de perete rupt



$\sigma_0$  este efortul unitar de compresiune din secțiunea considerată;

$m_c = 0,7$  — coeficientul de corecție prin care se ține seama de reducerea rezistenței zidăriei, ca o consecință a aplicării repetate a sarcinii seismice<sup>1)</sup>

Valoarea lui  $R_f^n$  s-a determinat în raport cu marca mortarului (v. tabela 39 din lucrarea [13]; valorile intermediare au fost determinate prin interpolare).

Rezultatele calculelor sînt rezumate în tabela 4.

Trecînd la aprecierea rezultatelor calculelor date în coloanele 7—10 și 11—14 din tabela 4, trebuie să amintim că drept rezistență de rupere la forfecare s-a luat mărimea  $\tau$  calculată cu formula (20) care poate fi mai mare sau mai mică decît capacitatea portantă efectivă a zidăriei. De aceea, dacă se ține seama că coeficientul de omogenitate a zidăriei la forfecare s-a luat egal cu 0,45 — 0,50 [5], [13], trebuie considerat că apariția fisurilor în clădiri este posibilă nu numai atunci cînd  $\frac{\tau_{calc}}{\tau} \geq 1$  dar și atunci cînd  $\frac{\tau_{calc}}{\tau} \geq 0,5$ .

Examinarea coloanelor 7—10 din tabela 4, care corespund calculului conform PSP-101-51, arată că nici unul dintre obiecte nu ar fi trebuit să sufere degradări importante, deoarece eforturile unitare maxime nu au depășit nicăieri 40% din rezistența de rupere la forfecare a zidăriei. Este drept că două case de locuit din grupul de obiecte nr. 2 nu sînt edificatoare deoarece caracterul ruperilor lor (separarea pereților longitudinali de cei transversali) nu corespunde schemei de calcul adoptate. Astfel, din numărul total de 14 obiecte o nepotrivire evidentă față de realitate se întîlnește la 12 obiecte.

Trecînd acum la coloanele 11—14 din tabela 4, care corespund noii metode de calcul, se vede cu ușurință că toate casele de locuit cu cîte două niveluri din grupul de obiecte nr. 1 și ambele clădiri cu cîte 4 niveluri din grupul de obiecte nr. 3, în urma cutremurului de gradul 9, ar fi trebuit să sufere degradări serioase și poate chiar ar fi trebuit

<sup>1)</sup> Vezi articolul autorului din revista „Бюллетень строительной техники“ nr. 3, 1958.



să se prăbușească complet. Acest rezultat al calculelor concordă cu rezultatele observațiilor făcute.

La obiectul nr. 4 (clădirea unei săli de sport) eforturile unitare din zidărie au atins doar 52% din rezistența de rupere, cu toate acestea însă, clădirea a suferit degradări importante. Aici, este drept, s-a prăbușit o porțiune de perete executată cu ocazia reconstruirii clădirii, la care calitatea mortarului și cărămizii era diferită de restul construcției. Nu se cunoaște însă care a fost calitatea zidăriei porțiunii de perete care s-a prăbușit.

Nu sînt pe deplin edificatoare nici rezultatele care se referă la casele de locuit cu două niveluri din grupul de obiecte nr. 2. Două case din acest grup de obiecte s-au prăbușit în urma smulgerii pereților longitudinali de cei transversali. Astfel, legătura slabă dintre pereți nu a permis elementelor principale, celor mai rigide ale clădirii să preia sarcinile și în consecință, construcția nu s-a comportat conform schemei adoptate în calcul. O a treia casă din acest grup, orientată sub un unghide 45° față de direcția șocului seismic, și care s-a menținut mai bine decît primele două, de asemenea a suferit degradări, ceea ce nu concordă cu rezultatele calculului deoarece eforturile unitare maxime din zidărie (la calculul făcut la rezultanta în lungul clădirii) au ajuns doar la 40—45% din rezistența de rupere.

Eforturile unitare date în coloanele 7—8 și 11—12 au fost calculate cu formula  $\tau = \frac{S}{A}$ , adică plecînd de la ipoteza distribuției lor uniforme în secțiune. Dacă se ține seama de neuniformitatea distribuției, care corespunde încovoierii, eforturile unitare maxime cresc de 1,5 ori în comparație cu valorile din tabelă. În acest caz, valorile rapoartelor

$\frac{\tau_{calc}}{\tau}$  din coloanele 9—10, care corespund calculului conform PSP-101-51 se vor apropia de valoarea maximă 0,6 și de aceea nici aici nu ne putem aștepta la degradări importante ale clădirilor. În schimb, majorarea de 1,5 ori a eforturilor unitare în calculul după noua metodă va face ca raportul dintre eforturile unitare de calcul și rezistența zidăriei, la toate obiectele fără excepție, să se situeze într-un domeniu în care ruperea este pe deplin posibilă (valorile din coloa-



nele 13—14 se vor situa în intervalul  $\approx 0,75 - 1,5$ ). Aceasta va apropia și mai mult rezultatele calculelor de datele privitoare la comportarea efectivă a construcțiilor în timpul cutremurelor.

Rezumînd analiza tabelii 4, se poate trage concluzia că, prin aplicarea calculului după noua metodă se observă o mai bună concordanță cu rezultatele observațiilor, decît în cazul calculului conform PSP-101-51. În ansamblu, concordanța rezultatelor calculului și observației se constată în 10 cazuri din 12, adică aproximativ într-o proporție de 80%.

Apoi s-a făcut verificarea prin calcul a clădirii cu trei niveluri cu schelet de rezistență a unei fabrici din Așhabad<sup>1)</sup>.

Rezultatele calculului, în care s-a ținut seama de greutatea proprie și de sarcina utilă la unele elemente mai solicitate, se dau în tabela 5 în care, pe lîngă valorile momentelor corespunzătoare unui cutremur de gradul 9, se dau și valorile momentelor de rupere, calculate pentru un procent de armare de 1% și 2% a elementelor de beton armat a construcției. Acest din urmă lucru a fost impus de faptul că nu era cunoscut procentul de armare efectiv al construcției.

Compararea acestor date arată că sarcina seismică, atît în cazul determinării sale conform PSP-101-51 cît și după noua metodă, putea să producă momente mai mari decît  $M_r$  și în consecință putea produce deformații plastice numai în stîlpii de margine de la ultimul nivel al clădirii. Deoarece însă cadrul scheletului lucrează ca un tot unitar, evident că o oarecare supraîncărcare a stîlpilor de margine nu putea produce ruperea lor, ci numai o redistribuire a sarcinii.

Capacitatea portantă a secțiunilor dată în tabela 5 a fost calculată după N și TU-123-55, adică corespunde cazului de lungă durată al unei sarcini statice. Dacă valorile momentelor de rupere ar fi fost calculate ținînd seama de acțiunea de scurtă durată a forțelor seismice și ținînd seama de posibilitatea producerii unor deformații plastice în secțiune, coeficientul de siguranță al construcțiilor examinate ar fi fost și mai mare.

<sup>1)</sup> Acest calcul ca și calculul care se dă mai departe al elementelor portante de la un castel de apă și de la un coș de fum au fost efectuate de inginerul V. S. Pavlik.



Tabela 5

Denumirea elementelor cadrului	Momentele, în tfm, care pot fi preluate de secțiunea armată cu		Momentele, în tfm, din secțiuni calculate conform:		Raportul dintre momente			
	1% $M_1$	2% $M_2$	PSP-101-51 $M_D$	După noua metodă $M_n$	$\frac{M_1}{M_D}$	$\frac{M_2}{M_D}$	$\frac{M_1}{M_n}$	$\frac{M_2}{M_n}$
Nivelul III:								
Stilpii de margine	10,2	15,8	13	16	0,78	1,2	0,64	0,99
Stilpii de mijloc	15	20	11	14	1,35	1,85	1,08	1,46
Nivelul I:								
Stilpii de margine	90,5	136,5	47	37	1,9	2,9	2,4	3,7
Stilpii de mijloc	135	180	39	36	3,5	4,6	3,7	5

După cum se știe, această clădire s-a comportat bine la cutremurul din anul 1948 și prin urmare, în cazul de față rezultatele calculului concordă cu comportarea efectivă a construcției.

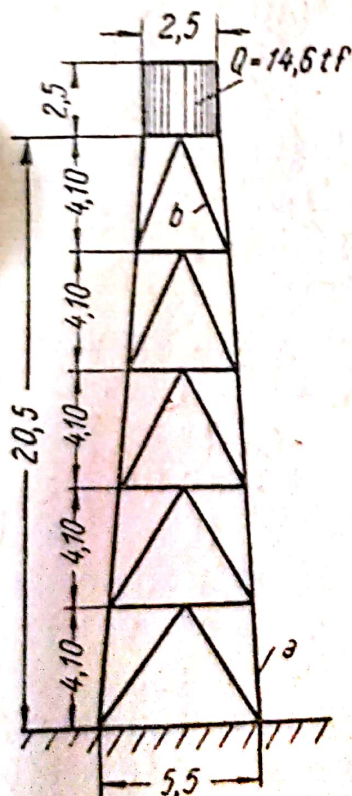


Fig. 13. Schema casteiului de apă metalic, cu zăbrele care a rezistat la cutremurul de la Așhabad din anul 1948.

În fig. 13 se arată schema unui castel de apă metalic cu zăbrele care de asemenea s-a comportat bine la cutremurul de la Așhabad, fără a suferi degradări importante<sup>1)</sup>. Rezultatele verificării prin calcul după noua metodă a acestei construcții se dau în tabela 6.

Din tabelă se vede că construcția nu trebuia să se rupă, adică și aici rezultatele experienței concordă cu cele ale calculului. Rezultatele calculului acestei construcții conform PSP-101-51 nu se dau întrucât acestea conduc la eforturi unitare și mai mici.

În fine, s-a făcut verificarea prin calcul după metoda veche și cea nouă

<sup>1)</sup> Pentru calcul au fost folosite datele puse la dispoziție de către Institutul de construcții al Academiei de științe a R.S.S. Gruzine (Ș. A. Djabua, Ș. G. Napetvaridze și A. L. Ciuraian).



Tabela 6

Perioadele oscilațiilor proprii $T$ s	Coeficientul dinamic $\beta_1$	Notăția barelor în fig. 13	Eforturile tf		Efortul unitar maxim kgf/cm <sup>2</sup>
			Din sarcina statică	Din sarcina seismică	
0,395	4,03	a b	4,7 —	10,7 3,9	840 2 000

a coșului de fum a cărui parte superioară<sup>1)</sup> s-a prăbușit în timpul cutremurului de la Așhabad. Din datele arătate în fig. 14 se vede că conform calculului după metoda din PSP-101-51 coșul trebuia să se prăbușească, însă prăbușirea coșului trebuia să se producă la bază, unde din calcul rezultă eforturi unitare maxime în zidărie.

Calculul după noua metodă arată că pentru coșul considerat porțiunea cea mai periculoasă este cea situată aproximativ în intervalul de 15—28 m de la partea sa superioară, unde eforturile unitare de întindere din zidărie depășesc rezistențele de calcul cam de  $\frac{4,08}{1,2} \approx 3,4$  ori. Prin urmare în acest caz metoda de calcul propusă nu numai că concordă prin faptul că coșul s-a rupt, dar și caracterizează corect schema de rupere a acestuia.

Aici trebuie menționat că valorile date în fig. 14 obținute la calculul coșului după noua metodă au fost determinate cu ajutorul valorilor coeficientului  $\beta$  calculat cu formula (13) fără vreo delimitare a valorilor sale minime ( $\beta \leq 1$ ). S-a procedat astfel pentru motivul că în vederea comparării noii metode de calcul cu observațiile asupra comportării efective a construcției ar fi fost greșit să se introducă corecții justificate numai printr-o anumită precauție. Dacă însă calculul coșului s-ar face cu aplicarea delimitării amintite, aceasta ar conduce la o modificare a forțelor seismice care corespund numai primei forme a oscilațiilor și care în acest caz ar crește de 1,89 ori. În aceeași proporție, pentru această

<sup>1)</sup> Lungimea porțiunii prăbușite a coșului conform datelor obținute din sursa citată la trimiterea precedentă a fost de 18 m.



formă a oscilațiilor, vor crește și valorile lui  $M$  și  $T$ , iar valorile eforturilor unitare de întindere, pentru secțiunile  $A_5=A_5$ ,  $A_6=A_6$  și  $A_0=A_0$ , vor fi respectiv  $\sigma_{calc}=2,27$ ;

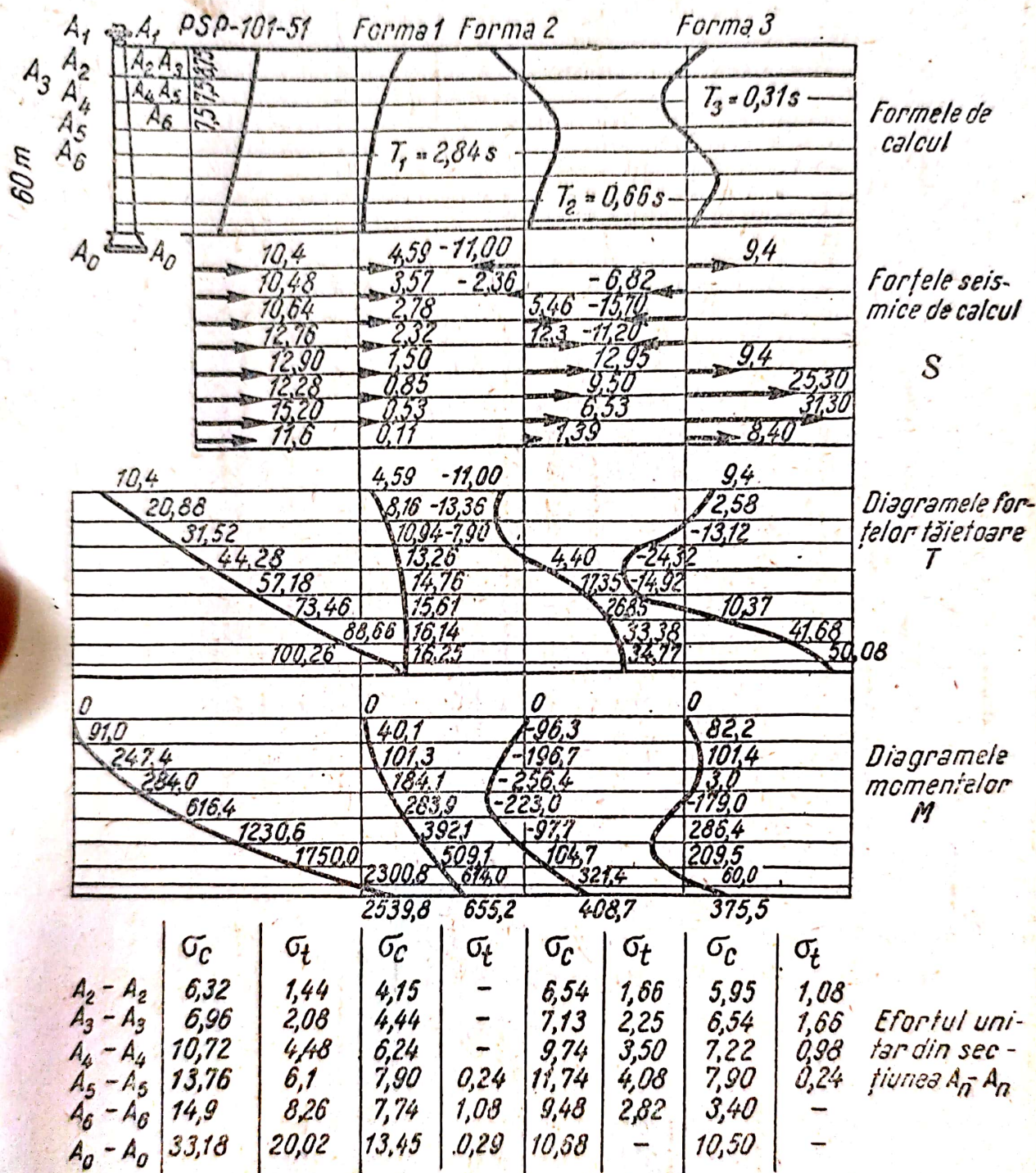


Fig. 14. Rezultatele calculului comparativ al coșului de zidărie de cărămidă cu înălțimea  $H=60$  m.

3,28 și 3,72 kgf/cm<sup>2</sup>. Prin urmare, și în cazul unui astfel de calcul forma a doua a oscilațiilor coșului este mai periculoasă din punct de vedere al rezistenței construcției și



caracterizează mai just secțiunile periculoase pe înălțimea construcției.

Făcînd rezumatul comparațiilor dintre comportarea efectivă a construcțiilor și rezultatele calculului trebuie ținut seama de caracterul pronunțat convențional al acestor calcule. Sînt convenționale nu numai premisele de calcul recomandate, referitoare la schemele de calcul ale construcțiilor și valorile coeficienților  $\beta$  și  $\eta$ , dar și celelalte date inițiale, a căror exactitate este relativă, cum ar fi de exemplu valoarea efectivă a intensității șocului seismic, calitatea materialelor, valorile maselor efective ale construcțiilor etc. De aceea, se pare că concordanța dintre rezultatele calculului și datele asupra comportării efective a construcțiilor în timpul cutremurelor, din punct de vedere practic poate fi apreciată ca satisfăcătoare.

Din punct de vedere al evaluării critice a metodei propuse pentru calculul construcțiilor la solicitări seismice, prezintă de asemenea un interes neîndoielnic și compararea acesteia cu metodele de calcul care se aplică în alte țări.

În acest scop în tabela 7 se dau valorile coeficienților cu care trebuie înmulțită greutatea construcției pentru aflarea valorii de calcul a forței seismice.

Tabela 7

Denumirea țării	Coeficienții adoptați
S. U. A., normele în vigoare . . . . .	0,03—0,13
Italia [12] . . . . .	0,10—0,17
Noua Zeelandă [12] . . . . .	0,10
Țările Americii de Sud [12] . . . . .	0,06—0,12
Japonia [12] . . . . .	0,10
a) după norme . . . . .	0,15—0,20
b) valorile folosite în practică . . . . .	

Pentru a compara datele din tabela 7 cu noua metodă de calcul expusă mai sus, trebuie folosite produsele de coeficienți  $k_s \beta \eta$ .

Unele valori ale produselor  $k_s \beta \eta$ , calculate ca exemplu pentru diferite tipuri de construcții, se dau în tabela 8.



În tabela 8 pentru fiecare tip de construcție, pe lângă factorii care corespund unui anumit etaj se dau și valorile medii pentru întreaga clădire în ansamblu. Aceste valori sînt cele mai caracteristice pentru compararea cu datele din tabela 7, în care în general se dau coeficienții care se referă la clădirile luate în ansamblu. Aici trebuie remarcat că valorile medii ale produselor  $k_s \beta \eta$  din tabela 8, calculate ținînd seama de masa întregii construcții în ansamblu, nu reprezintă media aritmetică a valorilor date în tabela 8.

Tabela 8

Tipul de construcție	Produsul de coeficienți $k_s \beta \eta$ în cazul seismicității în grade		
	7	8	9
Clădire de locuit de zidărie cu două niveluri:			
Primul nivel . . . . .	0,07	0,135	0,27
Al doilea nivel . . . . .	0,095	0,19	0,38
Media pentru întreaga clădire . . . .	0,06	0,12	0,24
Clădire de locuit de zidărie cu patru niveluri:			
primul nivel . . . . .	0,03	0,065	0,13
al doilea nivel . . . . .	0,06	0,12	0,24
al treilea nivel . . . . .	0,08	0,16	0,32
al patrulea nivel . . . . .	0,085	0,17	0,34
Media pentru întreaga clădire . . . .	0,055	0,11	0,22
Clădire pe schelet cu patru niveluri:			
primul nivel . . . . .	0,005	0,01	0,02
al doilea nivel . . . . .	0,02	0,04	0,08
al treilea nivel . . . . .	0,03	0,06	0,12
al patrulea nivel . . . . .	0,04	0,08	0,16
Media pentru întreaga clădire . . . .	0,025	0,05	0,1

Compararea tabelii 7 cu tabela 8 arată că valorile medii ale produselor  $k_s \beta \eta$  pentru regiunile cu seismicitatea de gradul 7—8 corespund coeficienților adoptați în alte țări. În schimb, pentru regiunile de gradul 9, acești coeficienți sînt



mai mari decât în majoritatea țărilor străine și valorile lor se încadrează în intervalul dintre cele adoptate în Japonia pentru construcțiile civile, clădirile publice și construcțiile ingineresti.

O analiză mai amănunțită a normelor străine celor mai perfecționate privitoare la construcțiile antiseismice, cum sînt de exemplu codurile americane, arată că în acestea din urmă ca și în noua metodă de calcul, expusă anterior, se întîlnesc coeficienții  $\beta$  și  $\eta$ . Acest lucru se vede cel mai limpede în proiectul de norme întocmit de Comisia formată din reprezentanții secțiunii din California a A S C E și a Asociației Inginerilor constructori din California de Nord [16]. Conform acestui proiect coeficientul seismic  $C$  (analog cu produsul  $k_s \beta$ ), cu care se înmulțește greutatea întregii clădiri, se calculează cu formula:

$$C = \frac{0,015}{T}, \text{ însă este minimum } 0,02 \text{ și maximum } 0,06 \quad (21)$$

și pentru alte tipuri de construcții cu formula

$$C = \frac{0,025}{T}, \text{ însă este minimum } 0,3 \text{ și maximum } 0,1 \quad (22)$$

unde  $T$  este perioada oscilațiilor proprii ale clădirii sau construcției considerate.

Forța orizontală totală  $V$  calculată astfel se distribuie pe înălțimea clădirii, conform formulei

$$F_x = V \frac{\omega_x h_x}{\sum \omega h}, \quad (23)$$

unde  $F_x$  este forța aplicată la nivelul  $x$ ;

$\omega_x$  — greutatea la nivelul  $x$ ;

$h_x$  — înălțimea nivelului  $x$  de la baza construcției.

Trebuie remarcat că corecția privitoare la forma oscilației adică determinarea forței  $F_x$  cu formula (23) se face într-un mod mai primitiv decât după noua metodă propusă pentru determinarea forțelor seismice și în majoritatea cazurilor are valori mai mari decât  $\eta$ .

Analiza și compararea normelor străine cu metoda de determinare a sarcinilor seismice expusă în lucrarea de față ne permite să considerăm că în această nouă metodă se ține



seama de toți factorii principali, care au o influență esențială asupra valorii forțelor seismice.

Astfel se poate constata că deosebiriile dintre normele de calcul străine și metoda propusă, în cazul determinării forțelor seismice în regiunile cu seismicitate de gradul 9, se datoresc valorii coeficientului  $k_s$ , egal cu 0,1. După cum s-a arătat anterior, la elaborarea noii metode de determinare a sarcinii seismice coeficienții  $k_s$  au rămas neschimbați.

Noua metodă de calcul prevede posibilitatea de a se ține seama de eforturile care se nasc în cazul formelor superioare ale oscilațiilor construcțiilor, ceea ce are o importanță practică primordială pentru construcțiile flexibile; normele străine neglijează aceasta.

În încheiere trebuie să ne oprim asupra problemei modificărilor din punct de vedere economic pe care le poate aduce după sine aplicarea noii metode de calcul în comparație cu metoda adoptată de PSP-101-51.

Se pare că cea mai mare creștere a sarcinilor seismice se va obține în cazul caselor de locuit de zidărie cu puține niveluri (pînă la 3 niveluri) și în cazul altor construcții asemănătoare din punct de vedere al caracteristicilor dinamice.

Majoritatea acestor construcții, în raport cu caracteristicile lor de frecvență, se încadrează în zona valorilor maxime ale coeficientului  $\beta$  și în consecință aici se va întîlni și diferența cea mai mare dintre forțele seismice de calcul. Valoarea maximă a forței seismice de calcul (pentru etajele superioare) conform noii metode de calcul, crește de 3,8 ori în comparație cu normele vechi (PSP-101-51). Prin urmare, la prima vedere s-ar părea că are loc o creștere mare a sarcinilor și în consecință aceasta va atrage după sine necesitatea unei majorări sensibile a dimensiunilor elementelor de construcție portante (pereților) ale clădirilor. În realitate nu este așa.

În primul rînd o astfel de creștere a forțelor de calcul (adică de 3,8 ori) se referă numai la etajul superior al clădirii, creșterea medie a forțelor seismice de calcul pe întreaga clădire, luată în ansamblu, este de  $\approx 2,4$  ori. Apoi, așa cum s-a arătat anterior, calculele făcute în trecut la sarcini seis-



mice, corespundeau acelei perioade în care capacitatea portantă a construcțiilor era determinată de rezistențele admise și nu de rezistența de rupere a materialului. Făcând o apreciere aproximativă a raportului dintre aceste două caracteristici ale materialului, se poate considera că rezistența de rupere în medie este cu circa 20% mai mare decât  $\sigma_a$ . Ținând seama de acest lucru, la compararea valorilor de calcul ale forțelor seismice, în noua metodă de calcul acestea trebuie împărțite cu 1,2 și în consecință creșterea totală a sarcinilor seismice de calcul în comparație cu normele vechi va fi  $\frac{2,4}{1,2} = 2$ .

În al doilea rând trebuie remarcat că, în mod obișnuit, la clădirile de zidărie cu puține niveluri, dimensiunile pereților nu sînt impuse de capacitatea lor portantă, ci de alți factori și în majoritatea cazurilor, practic dublarea valorii sarcinii, cel puțin în regiunile cu seismicitatea de gradul 7 și 8, nu va impune o îngroșare sensibilă a pereților. Proiectarea experimentală efectuată de inginerii N. A. Dîhovicinaia și I. M. Iusfin (Atelierul de arhitectură din Moscova al Ministerului construcțiilor R.S.F.S.R.) a arătat că în regiunile cu seismicitatea de gradul 8, la clădirile de locuit cu înălțimea pînă la două niveluri nu a fost necesară îngroșarea pereților. În schimb, la clădirile cu patru niveluri, aria totală a secțiunii transversale a pereților portanți de la parter a necesitat o majorare de 10 — 15%.

În al treilea rând pe măsura creșterii numărului nivelurilor clădirii (peste 3) produsul  $\beta\eta$  se va micșora. Aceasta va permite folosirea pe scară mai mare a clădirilor mai înalte în regiunile seismice, ceea ce pînă în prezent întîmpina mari dificultăți și ceea ce probabil, în anumite cazuri va fi mai rațional din punct de vedere economic.

Prin aplicarea noii metode, forțele seismice de calcul în cazul clădirilor industriale etajate cu schelet de rezistență vor crește într-o măsură mai mică, în comparație cu PSP-101-51, decît la clădirile de zidărie.

În două calcule făcute pentru clădiri cu trei și cu patru niveluri, s-a constatat că dacă pentru compararea noilor valori ale forțelor seismice de calcul cu valorile lor anterioare nu se folosește corecția  $\alpha$  (care se introduce în calcul



conform punctului 12 din PSP-101-51) atunci în medie pentru întreaga construcție, luată în ansamblu, forțele seismice vor reprezenta respectiv 1,3 și 1 din valoarea lor anterioară. Ținând însă seama de trecerea de la rezistențele admisibile la rezistențele de calcul (adică coeficientul 1,2) variația forțelor seismice va fi respectiv 1,1 și 0,8.

Prin urmare, la clădirile de acest tip, se pare de asemenea că nu va fi necesară o majorare a secțiunilor elementelor portante.

Dacă însă, făcând comparația între forțele seismice de calcul, valorile obținute conform PSP-101-51 s-ar determina ținându-se seama de coeficientul  $\alpha$ , s-ar constata că adoptarea noii metode de determinare a sarcinilor seismice conduce la o micșorare sensibilă a acestora — circa cu 30—35%.

În fine, studiul construcțiilor flexibile (de tipul coșurilor de fum) arată că sarcina seismică totală ce revine construcției, nu numai că nu va crește, ci dimpotrivă în anumite cazuri (în cazul obiectelor mai înalte) chiar se va micșora considerabil. Așa, de exemplu, calculul după noua metodă, al coșului de fum cu înălțimea de 120 m a arătat că forța tăietoare la baza coșului s-a redus, în comparație cu PSP-101-51, cu de peste 3 ori, iar momentul încovoietor — cam de 2,5 ori. Prin urmare, adoptarea noii metode nu numai că nu va mări prețul de cost al unor astfel de construcții, ci va permite chiar să se renunțe la limitarea înălțimii lor.

În consecință, introducerea noii metode de determinare a sarcinilor seismice nu va atrage după sine modificări esențiale ale costului construcțiilor și în același timp va permite o sporire a stabilității seismice a acestora.

Din cele expuse pînă aici se poate trage concluzia că noua metodă de calcul oglindește într-o măsură mai bună comportarea efectivă a construcțiilor în timpul cutremurelor în comparație cu metoda adoptată în PSP-101-51. Aceasta permite o sporire a stabilității seismice a construcțiilor și înlăturarea limitelor impuse înălțimilor maxime. De aceea, cu toate că noua metodă de calcul la solicitări seismice este ceva mai laborioasă decît cea anterioară, adoptarea ei pentru nevoile practice va fi fără îndoială rațională.







unde  $p$  este frecvența circulară a oscilațiilor proprii ale sistemului;

$m_1, m_2, \dots$  sînt masele concentrate la nivelurile etajelor respective;

$\delta_{11}, \delta_{12} \dots$  — deplasările punctului 1 sub acțiunea forței unitare aplicate respectiv în punctele 1, 2, ...;

$\delta_{21}, \delta_{22} \dots$  — deplasările punctului 2 sub acțiunea aceluiași forțe;

$X_1, X_2 \dots$  — amplitudinile oscilațiilor respectiv în punctele 1, 2, ...

Valorile deplasărilor  $\delta$  se determină cu formulele:

$$\left. \begin{aligned} \delta_{11} &= \frac{1}{12} (F_1 + R_1); \\ \delta_{1k} &= \delta_{11} + \frac{l_1 l_2}{48 r_1 + 4 f_1}; \\ \delta_{kk} &= \frac{1}{12} \left( F_k + R_k + \frac{l_k^2}{4 r_k} \right); \quad k = 2, 3, \dots \\ \delta_{k,m} &= \delta_{k,k+1} = \dots = \delta_{kn} = \delta_{kk} + \frac{l_k l_{k+1}}{48 r_k} \end{aligned} \right\} \quad (25)$$

unde

$$\left. \begin{aligned} F_k &= \sum_1^k \frac{l_i^2}{f_i}; \quad R_1 = \frac{l_1^2}{4 r_1 + 0,33 f_1}; \quad R_2 = \frac{(l_1 + l_2)^2}{4 r_1 + 0,33 f_1}; \\ R_k &= R_{k-1} + \frac{(l_{k-1} + l_k)^2}{4 r_k} \end{aligned} \right\} \quad (26)$$

$f_i$  sînt sumele rigidităților liniare ale stîlpilor pe etaje;

$r_i$  — sumele rigidităților liniare ale riglelor pe etaje;

$l_i$  — înălțimile etajelor.

#### a) Calculul deplasărilor $\delta$

Sumele rigidităților liniare ale stîlpilor pe etaje:

$$f_1 = 20,16 \cdot 10^3 \text{ tfm}; \quad f_2 = 16,12 \cdot 10^3 \text{ tfm};$$

$$f_3 = 12,09 \cdot 10^3 \text{ tfm}; \quad f_4 = 8,07 \cdot 10^3 \text{ tfm}.$$



Tabela 9

Nivelul	$f$ tfm	$F$ m/tf	$r$ tfm	$R$ m/tf	$\frac{I^2}{4r}$ m/tf
Primul	$20,16 \cdot 10^3$	$F_1 = \frac{I_1^2}{f_1} = \frac{4,5^2}{20,16 \cdot 10^3} = 100,44 \cdot 10^{-5}$	$5,04 \cdot 10^3$	$R_1 = \frac{I_1^2}{4r_1 + 0,33f_1} = \frac{4,5^2}{4 \cdot 5,04 \cdot 10^3 + 0,33 \cdot 20,16 \cdot 10^3} = 75,33 \cdot 10^{-5}$	$\frac{I_2^2}{4r_2} = \frac{4,5^2}{4 \cdot 4,04 \cdot 10^3} = 125,35 \cdot 10^{-5}$
Al doilea	$16,12 \cdot 10^3$	$F_2 = F_1 + \frac{I_2^2}{f_2} = 100,44 \cdot 10^{-5} + \frac{4,5^2}{16,12 \cdot 10^3} = 225,99 \cdot 10^{-5}$	$4,04 \cdot 10^3$	$R_2 = \frac{(I_1 + I_2)^2}{4r_1 + 0,33f_1} = \frac{(4,5 + 4,5)^2}{4 \cdot 5,04 \cdot 10^3 + 0,33 \cdot 20,16 \cdot 10^3} = 301,32 \cdot 10^{-5}$	$\frac{I_3^2}{4r_3} = \frac{4,5^2}{4 \cdot 3,02 \cdot 10^3} = 167,67 \cdot 10^{-5}$
Al treilea	$12,09 \cdot 10^3$	$F_3 = F_2 + \frac{I_3^2}{f_3} = 225,99 \cdot 10^{-5} + \frac{4,5^2}{12,09 \cdot 10^3} = 393,66 \cdot 10^{-5}$	$3,02 \cdot 10^3$	$R_3 = R_2 + \frac{(I_2 + I_3)^2}{4r_2} = 301,32 \cdot 10^{-5} + \frac{(4,5 + 4,5)^2}{4 \cdot 4,04 \cdot 10^3} = 803,52 \cdot 10^{-5}$	$\frac{I_4^2}{4r_4} = \frac{4,5^2}{4 \cdot 2,02 \cdot 10^3} = 250,7 \cdot 10^{-5}$
Al patrulea	$8,07 \cdot 10^3$	$F_4 = F_3 + \frac{I_4^2}{f_4} = 393,66 \cdot 10^{-5} + \frac{4,5^2}{8,07 \cdot 10^3} = 644,35 \cdot 10^{-5}$	$2,02 \cdot 10^3$	$R_4 = R_3 + \frac{(I_3 + I_4)^2}{4r_3} = 803,52 \cdot 10^{-5} + \frac{(4,5 + 4,5)^2}{4 \cdot 3,02 \cdot 10^3} = 1\ 473,8 \cdot 10^{-5}$	
		$\Sigma F = 1\ 364,44 \cdot 10^{-5}$		$\Sigma R = 2\ 653,97 \cdot 10^{-5}$	$\Sigma \frac{I^2}{4r} = 543,72 \cdot 10^{-5}$



unde

$$\left. \begin{aligned} B_1 &= m_1 \delta_{11} + m_2 \delta_{22} + \dots + m_n \delta_{nn}; \\ B_2 &= m_1^2 \delta_{11}^2 + m_2^2 \delta_{22}^2 + \dots + m_n^2 \delta_{nn}^2 + 2 [m_1 (m_2 + m_3 + \dots + m_n) \delta_{1n}^2 + m_2 (m_3 + m_4 + \dots + m_n) \delta_{2n}^2 + \dots + m_{n-1} m_n \delta_{n-1,n}^2]; \end{aligned} \right\} \quad (30)$$

$$\bar{B}_1 = B_1 - \frac{1}{p_1^2}; \quad \bar{B}_2 = B_2 - \frac{1}{p_1^4}. \quad (31)$$

Valorile numerice ale diferiților termeni care intră în expresiile mărimilor  $B$  sînt:

$$\begin{aligned} m_1 \delta_{11} &= 64,66 \cdot 10^{-5} & m_2 \delta_{24} &= 291,21 \cdot 10^{-5} \\ m_2 \delta_{22} &= 244,33 \cdot 10^{-5} & m_3 \delta_{24} &= 283,95 \cdot 10^{-5} \\ m_3 \delta_{33} &= 498,82 \cdot 10^{-5} & m_4 \delta_{24} &= 251,59 \cdot 10^{-5} \\ m_4 \delta_{44} &= 765,88 \cdot 10^{-5} & m_3 \delta_{34} &= 560,10 \cdot 10^{-5} \\ m_1 \delta_{14} &= 92,34 \cdot 10^{-5} & m_4 \delta_{34} &= 496,27 \cdot 10^{-5} \\ m_2 \delta_{14} &= 94,04 \cdot 10^{-5} \\ m_3 \delta_{14} &= 91,70 \cdot 10^{-5} \\ m_4 \delta_{14} &= 81,25 \cdot 10^{-5} \end{aligned}$$

Valorile lui  $B_1$  și  $B_2$ :

$$\begin{aligned} B_1 &= (64,66 + 244,33 + 498,82 + 765,88) 10^{-5} \approx 1,5737 \cdot 10^{-2}; \\ B_2 &= [64,66^2 + 244,33^2 + 498,82^2 + 765,88^2 + 2 \{92,34 (94,04 + 91,70 + 81,25) + 291,21 (283,95 + 251,59) + 560,10 \cdot 496,27\}] \cdot 10^{-10} \approx 1,8164 \cdot 10^{-4}. \end{aligned}$$

Prin urmare limitele frecvenței celei mai joase a oscilațiilor proprii sînt:

$$\frac{1}{\sqrt{B_2}} = \frac{10^2}{\sqrt{1,8164}} = \frac{100}{1,3475} = 74,2;$$



$$\frac{2}{B_1 \left( 1 + \sqrt{2 \frac{B_2}{B_1^2} - 1} \right)} = \frac{200}{1,5737 \left( 1 + \sqrt{2 \frac{1,8164}{1,5737^2} - 1} \right)} =$$

$$= \frac{200}{1,5737 (1 + \sqrt{1,464 - 1})} = \frac{200}{1,5737 \cdot 1,681} = 75,7.$$

Pentru determinarea formei oscilațiilor, adică a raportului dintre amplitudinile oscilațiilor  $X_i$  în diferitele puncte, înlocuim valoarea medie  $p_1^2 = 75$  în ecuațiile inițiale (24), adică

$$(0,0485 - 1) X_1 + 0,0705 X_2 + 0,0688 X_3 + 0,0609 X_4 = 0; \quad (I)$$

$$0,0693 X_1 + (0,1832 - 1) X_2 + 0,213 X_3 + 0,1887 X_4 = 0; \quad (II)$$

$$0,0693 X_1 + 0,2184 X_2 + (0,3741 - 1) X_3 + 0,3722 X_4 = 0; \quad (III)$$

$$0,0693 X_1 + 0,2184 X_2 + 0,4201 X_3 + (0,5744 - 1) X_4 = 0. \quad (IV)$$

În aceste ecuații există doar trei (în loc de patru) necunoscute; necunoscutele sînt rapoartele dintre valorile amplitudinilor  $X$ .

Scăzînd din ecuația (III) ecuația (IV) avem:

$$-1,046 X_3 + 0,7978 X_4 = 0$$

de unde

$$X_4 = 1,31 X_3.$$

Scăzînd din ecuația (II) ecuația (III) și înlocuind pe  $X_4$  prin expresia sa în  $X_3$ , obținem:

$$-1,0352 X_2 + [(0,8389 - 0,1835 \cdot 1,31)] X_3 = 0,$$

de unde

$$X_3 = 1,73 X_2,$$

iar din ecuația precedentă:

$$X_4 = 2,265 X_2.$$

Analog, din ecuațiile (I) și (II) găsim:

$$-1,0208 X_1 + (0,8873 - 0,1412 \cdot 1,73 - 0,1278 - 2,265) X_2 = 0.$$

Prin urmare:

$$X_2 = 2,94 X_1; \quad X_3 = 5,085 X_1 \text{ și } X_4 = 6,66 X_1.$$



Calcululele efectuate se vor verifica prin înlocuirea valorilor găsite pentru  $X$  și valorii lui  $p_1$  în aceleași patru ecuații. Dacă frecvența s-a luat îndeajuns de exact și toate valorile lui  $X$  au fost găsite corect, sumele tuturor termenilor din membrii din stînga ai ecuațiilor trebuie să fie egale cu zero. Înlocuind, găsim:

$$(0,0485-1) + 0,0705 \frac{X_2}{X_1} + 0,0688 \frac{X_3}{X_1} + 0,0609 \frac{X_4}{X_1} = -0,9515 + \\ + 0,2073 + 0,3496 + 0,405 = +0,0104;$$

$$0,0693 + (0,1832-1) \frac{X_2}{X_1} + 0,213 \frac{X_3}{X_1} + 0,1887 \frac{X_4}{X_1} = 0,0693 - \\ -2,4 + 1,082 + 1,255 = +0,0063;$$

$$0,0693 + 0,2184 \frac{X_2}{X_1} + (0,3741-1) \frac{X_3}{X_1} + 0,3722 \frac{X_4}{X_1} = 0,0693 + \\ + 0,642 - 3,18 + 2,48 = +0,0113;$$

$$0,0693 + 0,2184 \frac{X_2}{X_1} + 0,4201 \frac{X_3}{X_1} + (0,5744-1) \frac{X_4}{X_1} = 0,0693 + \\ + 0,642 + 2,133 - 2,83 = +0,0143.$$

După cum se vede această condiție este aproape satisfăcută.

Pentru determinarea aproximativă a celei de a doua frecvențe a oscilațiilor proprii, se calculează valorile  $\bar{B}_1$  și  $\bar{B}_2$ :

$$\bar{B}_1 = B_1 - \frac{1}{p_1^2} = 1,5737 \cdot 10^{-2} - \frac{1}{75} = 0,2403 \cdot 10^{-2};$$

$$\bar{B}_2 = B_2 - \frac{1}{p_1^4} = 1,8164 \cdot 10^{-4} - \frac{1}{75^2} = 0,0386 \cdot 10^{-4}.$$

Limitele valorilor frecvenței a doua a oscilațiilor proprii sînt:

$$\frac{1}{\sqrt{\bar{B}_2}} = \frac{1}{\sqrt{0,0386 \cdot 10^{-4}}} = 509;$$



$$\frac{2}{\bar{B}_1 \left( 1 + \sqrt{2 \frac{\bar{B}_2}{\bar{B}_1^2} - 1} \right)} = \frac{200}{0,2403 \left( 1 + \sqrt{2 \frac{0,0386}{0,2403^2} - 1} \right)} =$$

$$= \frac{200}{0,2403 (1 + \sqrt{1,337 - 1})} = \frac{200}{0,2403 \cdot 1,58} = 528;$$

Valoarea medie este  $p_2^2 \approx 520$ .

Pentru determinarea formei oscilațiilor, corespunzătoare frecvenței a doua a oscilațiilor proprii, revenim la ecuațiile inițiale:

$$(0,3362 - 1) X_1 + 0,489 X_2 + 0,4768 X_3 + 0,4225 X_4 = 0; \quad (\text{I a})$$

$$0,4802 X_1 + (1,2705 - 1) X_2 + 1,4765 X_3 + 1,3083 X_4 = 0; \quad (\text{II a})$$

$$0,4802 X_1 + 1,5143 X_2 + (2,5939 - 1) X_3 + 2,5806 X_4 = 0; \quad (\text{III a})$$

$$0,4802 X_1 + 1,5143 X_2 + 2,9125 X_3 + (3,9826 - 1) X_4 = 0. \quad (\text{IV a})$$

Din ecuațiile (III a) și (IV a) avem:

$$-1,3186 X_3 - 0,402 X_4 = 0; \quad X_4 = -3,28 X_3.$$

Din ecuațiile (II a) și (III a):

$$-1,2438 X_2 + [-0,1174 - 1,2723 (-3,28)] X_3 = 0;$$

$$X_3 = 0,307 X_2 \text{ și } X_4 = -0,307 \cdot 3,28 X_2 = -1,01 X_2.$$

Din ecuațiile (I a) și (II a):

$$-1,144 X_1 + (0,2185 - 0,9997 \cdot 0,307 + 0,8858 \cdot 1,01) X_2 = 0;$$

$$X_2 = 1,42 X_1; \quad X_3 = 0,436 X_1 \text{ și } X_4 = -1,435 X_1.$$

Verificăm dacă ecuațiile folosite sînt satisfăcute:

$$-0,644 + 0,695 + 0,208 - 0,606 = -0,347;$$

$$+0,48 + 0,384 + 0,644 - 1,874 = -0,366;$$

$$+0,48 + 2,15 + 0,695 - 3,7 = -0,375;$$

$$+0,48 + 2,15 + 1,268 - 4,275 = -0,377.$$



După cum se vede sumele tuturor termenilor din toate ecuațiile diferă de zero și prin urmare valoarea aproximativă a frecvenței  $p_2$  diferă considerabil de valoarea ei exactă.

Pentru precizarea valorii lui  $p_2$  precum și a formei oscilațiilor corespunzătoare acestuia, găsim valorile lui  $p_2^2$ , care satisfac ecuațiile inițiale.

Valoarea necesară a frecvenței  $p_2^2$  se află prin încercări, înlocuindu-se diferite valori ale lui  $p_2^2$ , apropiate de valoarea aproximativă găsită inițial. În acest exemplu  $p_2^2$  este egal cu 590, adică a depășit limitele găsite anterior. Aceasta se explică printr-o deficiență a metodei de calcul cu ajutorul mărimilor  $B$  când pentru calcule se folosesc diferențele mici dintre mărimi apropiate și în consecință inexactitățile neglijabile la calculul diferiților termeni pot conduce la erori importante ale rezultatelor finale.

Așa, de exemplu, trecerea la valoarea 74,8 a pătratului frecvenței primei forme a oscilațiilor  $p_1^2$ , față de valoarea 75, conduce la o variație a limitelor pătratului frecvenței a doua de la 509—528 pînă la 590—710.

Determinarea formei deformațiilor sistemului corespunzătoare frecvenței a doua a oscilațiilor proprii  $p_2 \approx \sqrt{590}$ , efectuată prin metoda expusă anterior, a dat următoarele rezultate:

$$X_2 = 1,91X_1; X_3 = 0,795X_1 \quad \text{și} \quad X_4 = -1,835X_1.$$

### c) Determinarea forțelor seismice

Forțele seismice le determinăm pentru două forme ale oscilațiilor, corespunzătoare primei frecvențe (cele mai joase) și celei de a doua frecvențe a oscilațiilor proprii ale construcției.

Coeficienții de formă se calculează cu formula:

$$\eta = \frac{X(x_k) \sum_1^n Q_j X(x_j)}{\sum_1^n Q_j X^2(x_j)}.$$



1. Forțele care se produc la forma oscilațiilor, corespunzătoare primei frecvențe, celei mai joase, a oscilațiilor proprii ale construcțiilor, le determinăm în felul următor:

$$\sum_1^n Q_j X(x_j) = (43,3 \cdot 1 + 44,1 \cdot 2,94 + 43 \cdot 5,085 + 38,1 \cdot 6,66) X_1 = 646 X_1;$$

$$\sum_1^n Q_j X^2(x_j) = (43,3 \cdot 1^2 + 44,1 \cdot 2,94^2 + 43 \cdot 5,085^2 + 38,1 \cdot 6,66^2) X_1^2 = 3\,230 X_1^2;$$

$$\eta_1 = \frac{X_1 \cdot 646 X_1}{3\,230 X_1^2} = 0,2;$$

$$\eta_2 = \frac{0,2}{X_1} 2,94 X_1 = 0,59;$$

$$\eta_3 = \frac{0,2}{X_1} 5,085 X_1 = 1,02;$$

$$\eta_4 = \frac{0,2}{X_1} 6,66 X_1 = 1,33.$$

Coeficientul dinamic  $\beta$  corespunzător frecvenței  $p_1 = \sqrt{75} = 8,65$  rad/s și deci corespunzător perioadei oscilațiilor

$$T = \frac{2\pi}{8,65} = 0,726$$

este egal cu

$$\beta = \frac{0,9}{0,726} = 1,24.$$

Valorile de calcul ale forțelor seismice corespunzătoare formei oscilațiilor care corespunde la rîndul său primei frecvențe a oscilațiilor proprii ale cadrului, pentru seismicitatea de calcul de gradul 8, le determinăm cu formula:

$$S_m = k_s \eta_m \beta Q_m;$$

$$S_1 = 0,05 \cdot 0,2 \cdot 1,24 \cdot 43,3 = 0,54 \text{ tf};$$

$$S_2 = 0,05 \cdot 0,59 \cdot 1,24 \cdot 44,1 = 1,61 \text{ tf};$$

$$S_3 = 0,05 \cdot 1,02 \cdot 1,24 \cdot 43 = 2,72 \text{ tf};$$

$$S_4 = 0,05 \cdot 1,33 \cdot 1,24 \cdot 38,1 = 3,14 \text{ tf};$$



2. Forțele care se produc la forma oscilațiilor care corespunde frecvenței a doua a oscilațiilor proprii ale construcțiilor le calculăm astfel:

$$\sum_1^n Q_j X(x_j) = (43,3 \cdot 1 + 44,1 \cdot 1,91 + 43 \cdot 0,795 - 38,1 \cdot 1,835) X_1 = 91,8 X_1;$$

$$\sum_1^n Q_j X^2(x_j) = (43,3 \cdot 1^2 + 44,1 \cdot 1,91^2 + 43 \cdot 0,795^2 + 38,1 \cdot 1,835^2) X_1^2 = 360 X_1^2;$$

$$\eta_1 = \frac{91,8 X_1}{360 X_1^2} X_1 = 0,255;$$

$$\eta_2 = \frac{0,255}{X_1} 1,91 X_1 = 0,487;$$

$$\eta_3 = \frac{0,255}{X_1} 0,795 X_1 = 0,203;$$

$$\eta_4 = \frac{0,255}{X_1} (-1,835 X_1) = -0,468.$$

Coeficientul dinamic  $\beta$  corespunzător frecvenței  $p_2 = \sqrt{590} = 23,3$  rad/s și deci corespunzător perioadei  $T = \frac{2\pi}{23,3} = 0,27$  s, este  $\beta = 3$ .

Forțele seismice de calcul corespunzătoare formei oscilațiilor, care corespunde la rîndul său frecvenței a doua a oscilațiilor proprii ale cadrului, pentru seismicitatea de calcul de gradul 8 sînt:

$$S_1 = 0,05 \cdot 0,255 \cdot 3 \cdot 43,3 = 1,64 \text{ tf};$$

$$S_2 = 0,05 \cdot 0,487 \cdot 3 \cdot 44,1 = 3,22 \text{ tf};$$

$$S_3 = 0,05 \cdot 0,203 \cdot 3 \cdot 43 = 1,31 \text{ tf};$$

$$S_4 = 0,05 \cdot (-0,468) \cdot 3 \cdot 38,1 = -3,68 \text{ tf}.$$

Semnul minus în expresia lui  $S_4$  arată că această forță este dirijată în sens contrar forțelor  $S_1$ ,  $S_2$ , și  $S_3$ .



Compararea valorilor forțelor seismice de calcul, care corespund formei întâia și a doua a oscilațiilor cadrului, arată că pentru toate etajele, cu excepția etajului superior, cel mai important este primul caz, în raport cu care trebuie făcut și calculul de rezistență al construcției. În schimb etajul superior trebuie verificat la sarcina care corespunde formei a doua a oscilațiilor cadrului, adică la forța  $S_4 = 3,68 \text{ tf}$ .

## 2. Calculul după schema simplificată

Schema de calcul simplificată și notațiile respective sînt arătate în fig. 15, c.

a) Determinarea frecvențelor și formelor oscilațiilor proprii

Valorile deplasărilor  $\delta$  se calculează cu formulele:

$$\left. \begin{aligned} \delta_{11} &= \frac{l_1^2}{12f_1}; & \delta_{22} &= \frac{l_1^2}{12f_1} + \frac{l_2^2}{12f_2}; \\ \delta_{k,k} &= \sum_1^k \frac{l_i^2}{12f_i} \\ \delta_{k,m} &= \delta_{k,k+1} = \dots = \delta_{k,n} = \delta_{k,k}. \end{aligned} \right\} \quad (25')$$

Utilizînd valorile rigidităților liniare ale stîlpilor și înălțimile etajelor, date anterior, obținem:

$$\delta_{11} = \delta_{12} = \delta_{13} = \delta_{14} = \frac{4,5^2}{12 \cdot 20,16 \cdot 10^3} = 8,4 \cdot 10^{-5};$$

$$\delta_{22} = \delta_{23} = \delta_{24} = 8,4 \cdot 10^{-5} + \frac{4,5^2}{12 \cdot 16,12 \cdot 10^3} = 18,9 \cdot 10^{-5};$$

$$\delta_{33} = \delta_{34} = 18,9 \cdot 10^{-5} + \frac{4,5^2}{12 \cdot 12,09 \cdot 10^3} = 32,9 \cdot 10^{-5};$$

$$\delta_{44} = 32,9 \cdot 10^{-5} + \frac{4,5^2}{12 \cdot 8,07 \cdot 10^3} = 53,8 \cdot 10^{-5}.$$



Valorile produselor  $m\delta$  sînt:

$$m_1\delta_{11}=m_1\delta_{14}=\frac{43,3}{9,81} 8,4 \cdot 10^{-5}=37,1 \cdot 10^{-5};$$

$$m_2\delta_{14}=\frac{44,1}{9,81} 8,4 \cdot 10^{-5}=37,7 \cdot 10^{-5};$$

$$m_3\delta_{14}=\frac{43}{9,81} 8,4 \cdot 10^{-5}=36,8 \cdot 10^{-5};$$

$$m_4\delta_{14}=\frac{38,1}{9,81} 8,4 \cdot 10^{-5}=32,7 \cdot 10^{-5};$$

$$m_2\delta_{22}=m_2\delta_{24}=\frac{44,1}{9,81} 18,9 \cdot 10^{-5}=85 \cdot 10^{-5};$$

$$m_3\delta_{24}=\frac{43}{9,81} 18,9 \cdot 10^{-5}=82,9 \cdot 10^{-5};$$

$$m_4\delta_{24}=\frac{38,1}{9,81} 18,9 \cdot 10^{-5}=73,5 \cdot 10^{-5};$$

$$m_3\delta_{33}=m_3\delta_{34}=\frac{43}{9,81} 32,9 \cdot 10^{-5}=144 \cdot 10^{-5};$$

$$m_4\delta_{34}=\frac{38,1}{9,81} 32,9 \cdot 10^{-5}=128 \cdot 10^{-5};$$

$$m_4\delta_{44}=\frac{38,1}{9,81} 53,8 \cdot 10^{-5}=209 \cdot 10^{-5}.$$

Valorile lui  $B_1$  și  $B_2$ , conform formulei (30) sînt:

$$B_1=(37,1+85+144+209) 10^{-5} \approx 4,75 \cdot 10^{-3};$$

$$B_2=\{37,1^2+85^2+144^2+209^2+2[37,1(37,7+36,8+32,7)+85(82,9+73,5)+144 \cdot 128]\} 10^{-10} \approx 14,47 \cdot 10^{-6}.$$

Limitele frecvenței oscilațiilor proprii conform (28) sînt:

$$\frac{1}{\sqrt{B_2}} = \frac{10^3}{\sqrt{14,47}} = \frac{1\,000}{3,8} = 263;$$

$$\begin{aligned} \frac{2}{B_1 \left(1 + \sqrt{2 \frac{B_2}{B_1^2}} - 1\right)} &= \frac{2\,000}{4,75 \left(1 + \sqrt{2 \frac{14,47}{4,75^2}} - 1\right)} = \\ &= \frac{2\,000}{4,75 (1 + \sqrt{1,283} - 1)} = \frac{2\,000}{4,75 \cdot 1,522} = 275. \end{aligned}$$



Pentru determinarea formei oscilațiilor cadrului luăm următoarea frecvență a oscilațiilor sale proprii:

$$p_1^2 = \frac{263+275}{2} = 270$$

și în acest caz ecuațiile inițiale (I), (II), (III) și (IV) devin

$$(0,1002-1) X_1 + 0,1018 X_2 + 0,0994 X_3 + 0,0884 X_4 = 0; \quad (\text{Ib})$$

$$0,1002 X_1 + (0,2295-1) X_2 + 0,224 X_3 + 0,1984 X_4 = 0; \quad (\text{IIb})$$

$$0,1002 X_1 + 0,2295 X_2 + (0,3885-1) X_3 + 0,346 X_4 = 0; \quad (\text{IIIb})$$

$$0,1002 X_1 + 0,2295 X_2 + 0,3885 X_3 + (0,564-1) X_4 = 0. \quad (\text{IVb})$$

Rezolvând aceste ecuații, așa cum s-a arătat mai înainte pentru ecuațiile (I), (II), (III) și (IV) găsim:

$$X_1 = 0,2335 X_4; \quad X_2 = 0,5064 X_4 \quad \text{și} \quad X_3 = 0,782 X_4.$$

Verificăm calculele efectuate prin înlocuirea valorilor găsite pentru  $X$  în ecuațiile inițiale (Ib), (IIb), (IIIb) și (IVb):

$$(0,1002-1) 0,2335 + 0,1018 \cdot 0,5064 + \\ + 0,0994 \cdot 0,782 + 0,0884 = +0,0076;$$

$$0,1002 \cdot 0,2335 + (0,2295-1) 0,5064 + \\ + 0,224 \cdot 0,782 + 0,1984 = +0,0068;$$

$$0,1002 \cdot 0,2335 + 0,2295 \cdot 0,5064 + (0,3885-1) 0,782 + \\ + 0,346 = +0,0078;$$

$$0,1002 \cdot 0,2335 + 0,2295 \cdot 0,5064 + 0,3885 \cdot 0,782 + \\ + (0,564-1) = +0,0078.$$

Se vede că verificarea dă rezultate foarte apropiate de zero și deci valoarea frecvenței  $p_1^2$  s-a determinat corect. Perioada oscilațiilor cadrului este:

$$T = 2\pi \sqrt{\frac{1}{270}} = 0,384 \text{ s,}$$

de unde

$$\beta = \frac{0,9}{0,384} = 2,34.$$



## b) Determinarea forțelor seismice

Valorile forțelor seismice, conform schemei simplificate de calcul, le determinăm utilizând de asemenea formulele (6') și (8''):

$$\sum_1^n Q_j X(x_j) = (43,3 \cdot 0,2335 + 44,1 \cdot 0,5064 + 43 \cdot 0,782 + 38,1 \cdot 1) X_4 = 104 X_4;$$

$$\sum_1^n Q_j X^2(x_j) = (43,3 \cdot 0,2335^2 + 44,1 \cdot 0,5064^2 + 43 \cdot 0,782^2 + 38,1 \cdot 1^2) X_4^2 = 78 X_4^2.$$

Valorile coeficienților  $\eta$  sînt

$$\eta_1 = \frac{X_1 \cdot 104 X_4}{78 X_4^2} = \frac{1,335}{X_4} 0,2335 X_4 = 0,31;$$

$$\eta_2 = \frac{1,335}{X_4} 0,5064 X_4 = 0,68;$$

$$\eta_3 = \frac{1,335}{X_4} 0,782 X_4 = 1,04;$$

$$\eta_4 = \frac{1,335}{X_4} X_4 = 1,33.$$

Valorile de calcul ale forțelor seismice sînt:

$$S_1 = 0,05 \cdot 0,31 \cdot 2,34 \cdot 43,3 = 1,57 \text{ tf};$$

$$S_2 = 0,05 \cdot 0,68 \cdot 2,34 \cdot 44,1 = 3,51 \text{ tf};$$

$$S_3 = 0,05 \cdot 1,04 \cdot 2,34 \cdot 43,0 = 5,23 \text{ tf};$$

$$S_4 = 0,05 \cdot 1,33 \cdot 2,34 \cdot 38,1 = 5,92 \text{ tf}.$$

Calcululele următoare nu se redau aici, deoarece ele nu diferă principal de calculul după schema mai exactă.

### EXEMPLUL 2. DETERMINAREA SARCINILOR SEISMICE LA UN CASTEL DE APĂ

Se cere să se determine sarcinile seismice, care acționează asupra unui castel de apă în cazul unei seismicități de calcul de gradul 9<sup>1)</sup>.

<sup>1)</sup> Calcululele au fost efectuate de inginerul V. S. Pavlik.



Turnul pe care este montat rezervorul de apă cu capacitatea  $v \approx 12,25 \text{ m}^3$  este o construcție metalică cu zăbrele. Schema și dimensiunile principale ale turnului se dau în fig. 13. Greutatea rezervorului este 2,35 t, iar greutatea apei 12,25 t. Greutatea proprie a turnului este de 4 t.

Greutatea proprie a turnului este o sarcină distribuită pe înălțime, de intensitate nu prea mare; masa predominantă a construcției o constituie rezervorul împreună cu apa. În scopul simplificării calculului, aplicând metoda maselor echivalente, înlocuim sarcina uniform distribuită pe înălțimea turnului printr-o sarcină concentrată aplicată la capătul consolei. După cum se știe, metoda maselor echivalente se bazează pe condiția ca perioada oscilațiilor proprii ale sistemului echivalent să rămână aceeași<sup>1)</sup>. În cazul consolei cu sarcină uniform distribuită, coeficientul de echivalență este 0,25.

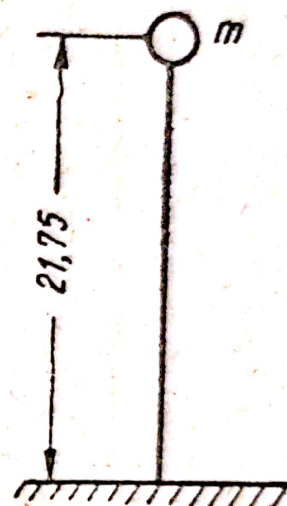


Fig. 16. Schema de calcul a turnului.

În fig. 16 se arată schema de calcul a turnului; această schemă constituie un sistem cu un singur grad de libertate.

Masa rezervorului împreună cu apa s-a considerat concentrată în centrul rezervorului, valoarea ei fiind:

$$\frac{Q_{ech}}{g} = \frac{15,6}{9,81} = 1,59 \text{ ts}^2/\text{m},$$

unde

$$Q_{ech} = 2,35 + 12,25 + \frac{4}{4} = 15,6 \text{ tf};$$

$g$  — accelerația gravitației.

#### a) Determinarea perioadei oscilațiilor proprii

Perioada oscilațiilor proprii  $T$  este invers proporțională cu frecvența circulară:

$$T = \frac{2\pi}{p}. \quad (32)$$

<sup>1)</sup> S. A. Bernstein, Bazele dinamicii construcțiilor, 1941, p. 98-100.



Frecvența circulară  $p$  a sistemului cu un singur grad de libertate se poate calcula cu formula

$$p = \sqrt{\frac{g}{f_{st}}} \quad (33)$$

unde  $f_{st}$  este săgeata statică pe direcție orizontală, produsă de forța  $Q_{ech}$ .

Astfel, calculul dinamic de determinare a perioadei oscilațiilor proprii  $T$ , în cazul de față se reduce la un calcul static privind determinarea săgeții  $f_{st}$  sub acțiunea forței gravitației pe direcția oscilațiilor.

În cazul general deplasarea masei  $m$  se compune din săgeata construcției și rotirea reazemului datorită cedării elastice a terenului de fundație. În cazul de față pentru simplificarea calculului, deplasarea rezervorului datorită încastrării parțiale în terenul de fundație se neglijează, ea fiind mult mai mică decât săgeata produsă de deformările elementelor turnului.

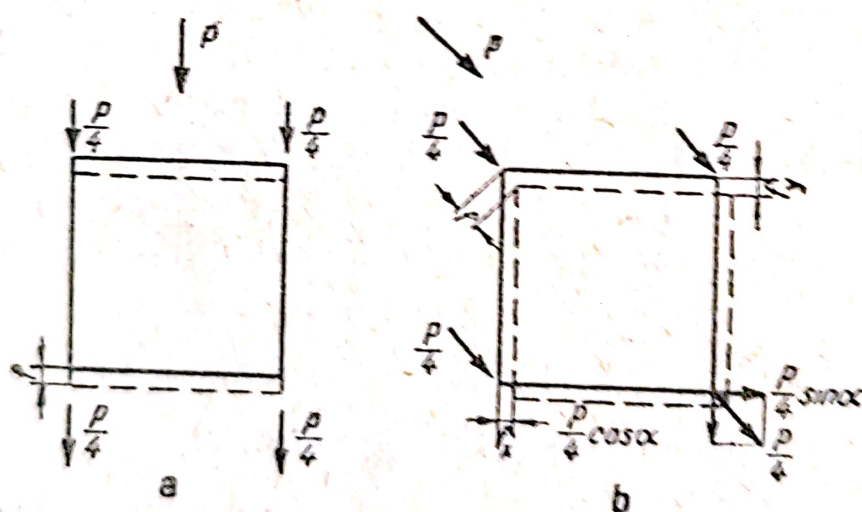


Fig. 17. Schemele de distribuire a sarcinii la elementele turnului;

a — în cazul acțiunii forțelor în planul a două elemente paralele ale turnului; b — în cazul acțiunii forțelor aplicate sub un unghi față de elementele turnului.

Din examinarea schemei din fig. 17 se vede că valoarea deplasării porțiunii de sus a turnului sub acțiunea forței orizontale nu depinde de direcția acesteia.



Intr-adevăr, deplasarea sistemului de bare este direct proporțională cu forța  $Q$ , adică săgeata este  $f=kQ$  ( $k$  este coeficientul de rigiditate a sistemului). Prin urmare deplasarea conform schemei din fig. 17,  $a$  este

$$f=k\left(\frac{Q}{4} + \frac{Q}{4}\right)=k\frac{Q}{2}, \quad (34)$$

iar conform schemei din fig. 17,  $b$  ea este egală cu suma a două deplasări perpendiculare între ele,

$$f=\sqrt{f_x^2+f_y^2}=\sqrt{\left(k\frac{Q}{2}\sin\alpha\right)^2+\left(k\frac{Q}{2}\cos\alpha\right)^2}=k\frac{Q}{2}. \quad (35)$$

În consecință, săgeata turnului produsă de forța  $Q$  este determinată de săgeata fermei plane (fig. 18) produsă de forța  $Q/2$ ; o calculăm cu formula lui Mohr:

$$f_f=\sum\frac{N_Q N_1 l}{EA} \quad (36)$$

unde  $f_f$  este săgeata fermei pe direcția de acțiune a forței;

$N_1$  — efortul din fiecare element produs de forța unitară;

$N_Q$  — efortul din bară sub acțiunea forței;

$l$  și  $A$  — lungimea și aria elementului fermei;

$E=2\cdot 10^6$  kgf/cm<sup>2</sup> — modulul de elasticitate al oțelului.

În această formulă, însumarea se face pentru toate barele fermei plane.

Valorile eforturilor  $N_1$  se determină din diagrama Cremona (fig. 18,  $b$ ). Pentru trasarea diagramei se află reacțiunile din forța unitară a căror componentă verticală se determină din condiția ca suma momentelor luate în raport cu punctul  $A$  să fie egală cu zero:

$$\sum M_A=-1\cdot 21,75-B_V\cdot 5,5=0;$$

$$B_V=-\frac{1\cdot 21,75}{5,5}=-3,96 \text{ tf}; \quad A_V=3,96 \text{ tf}.$$



Componenta orizontală se determină din condiția ca suma proiecțiilor forțelor pe axa orizontală să fie egală cu zero:

$$\sum p_x = -1 + A_H + B_H = 0; \quad A_H + B_H = 1; \quad A_H = B_H = 0,5 \text{ tf.}$$

Celelalte calcule sînt rezumate în tabela 11.

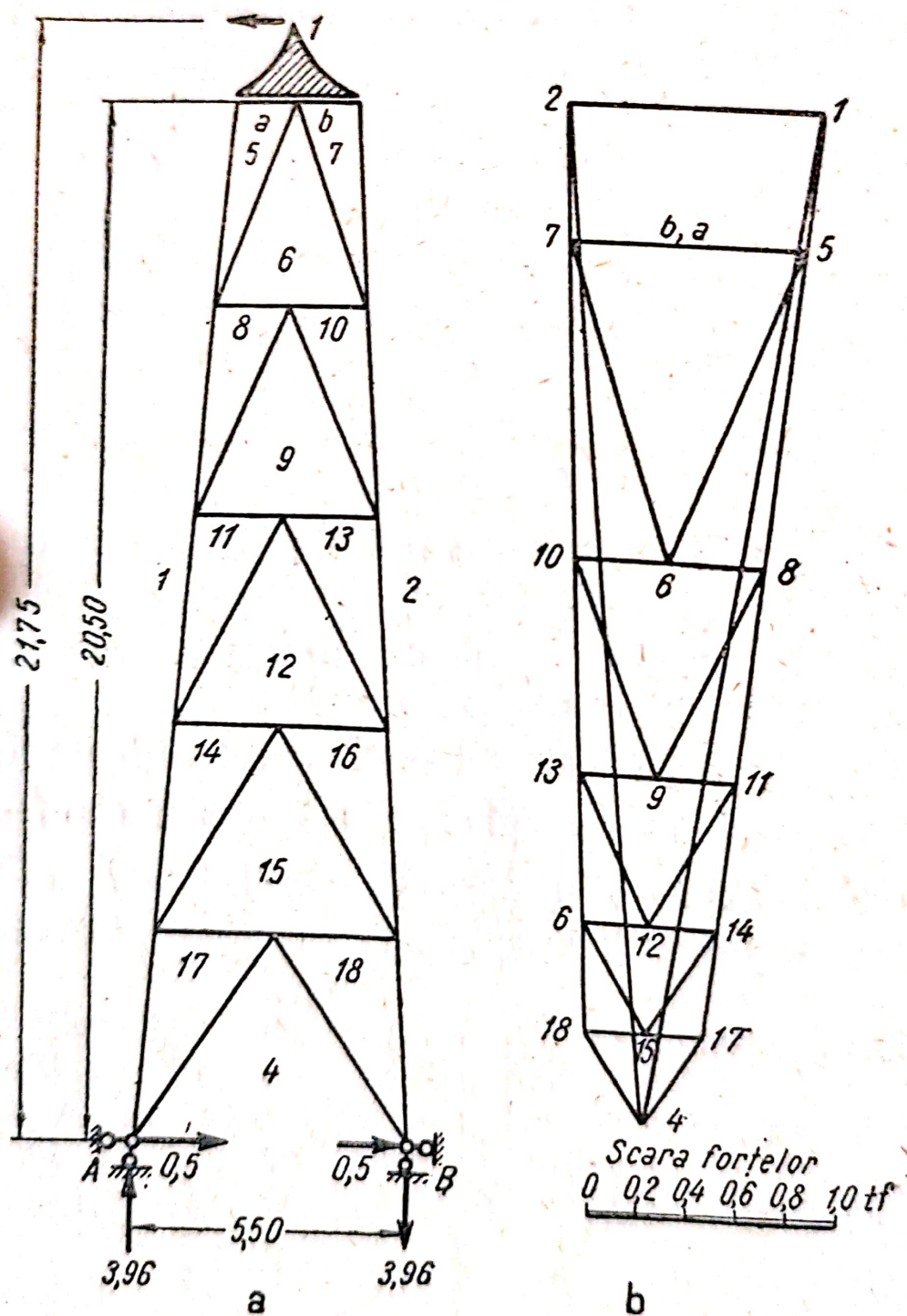


Fig. 18. Schema de calcul a fermei turnului (a) și diagrama Cremona (b).



Tabela 11

Nr. barei	$N_1$ efortul din forța $Q=1$ tf tf	$N_Q$ efortul din forța $Q=7,8$ tf tf	$l$ lungime barei cm	$N_Q N_1 l$ tfcm	$EA$ tf	$f$ cm
1-5	-0,55	- 4,29	411	973	81 600	0,0119
2-7	+0,55	+ 4,29	411	973	81 600	0,0119
1-8	-1,78	-13,9	411	8 070	81 600	0,099
2-10	+1,78	+13,9	411	8 070	81 600	0,099
1-11	-2,62	-20,4	411	22 000	81 600	0,27
2-13	+2,62	+20,4	411	22 000	81 600	0,27
1-14	-3,2	-24,95	411	32 900	81 600	0,403
2-16	+3,2	+24,95	411	32 900	81 600	0,403
1-17	-3,64	-28,4	411	42 500	81 600	0,52
2-18	+3,64	+28,4	411	42 500	81 600	0,52
5-6	-1,32	-10,3	430	5 900	20 320	0,29
6-7	+1,32	+10,3	430	5 900	20 320	0,29
8-9	-0,922	-7,2	445	2 970	20 320	0,146
9-10	+0,922	+7,2	445	2 970	20 320	0,146
11-12	-0,642	-5	460	1 490	20 320	0,0734
12-13	+0,642	+5	460	1 490	20 320	0,0734
14-15	-0,5	-3,9	475	940	20 320	0,0463
15-16	+0,5	+3,9	475	940	20 320	0,0463
17-4	-0,42	-3,28	490	680	20 320	0,0334
4-18	+0,42	+3,28	490	680	20 320	0,0334
a	+0,46	+3,58	125	206	20 320	0,0101
b	-0,46	-3,58	125	206	20 320	0,0101
6-8	+0,36	+2,8	155	158	20 320	0,0078
6-10	-0,36	-2,8	155	158	20 320	0,0078
9-11	+0,32	+2,5	185	149	20 320	0,0073
9-13	-0,32	-2,5	185	149	20 320	0,0073
12-14	+0,26	+2,02	215	115	20 320	0,0057
12-16	-0,26	-2,02	215	115	20 320	0,0057
15-17	+0,24	+1,87	245	110	20 320	0,0054
15-18	-0,24	-1,87	245	110	20 320	0,0054
$\sum \frac{N_1 N_Q \cdot l}{EA} = 3,67 \text{ cm}$						



După efectuarea calculelor, rezultă că săgeata fermei este  $f_f = 3,67$  cm. Intrucît centrul maxim (al rezervorului) se află deasupra porțiunii superioare a fermei, ținînd seama de rigiditatea mare a rezervorului se poate considera că deplasările deasupra părții superioare a fermei vor fi direct proporționale cu înălțimea.

Deplasarea centrului rezervorului se poate afla din proporția

$$\frac{f_f}{f_{st}} = \frac{20,5}{21,75}; \quad f_{st} = \frac{2175 \cdot 3,67}{2075} = 3,9 \text{ cm.}$$

Frecvența circulară a oscilațiilor proprii este:

$$p = \sqrt{\frac{g}{f_{st}}} = \sqrt{\frac{981}{3,9}} = 15,9 \text{ rad/s}$$

iar perioada

$$T = \frac{2\pi}{p} = \frac{2 \cdot 3,14}{15,9} = 0,395 \text{ s.}$$

#### b) Determinarea forței seismice

Valoarea forței seismice se calculează cu formula

$$S = k_s \eta_k \beta Q_k.$$

Pentru seismicitatea de calcul de gradul 9,  $k_s = 1/10$ ;  $\eta_k$  este coeficientul de formă, care se calculează cu formula

$$\frac{X(x_k) \sum_1^n Q_j X(x_j)}{\sum_1^n Q_j X^2(x_j)},$$

pentru un sistem cu un singur grad de libertate este egal cu 1:

$$\eta_k = \frac{21,75 \cdot 14,6 \cdot 21,75}{14,6 \cdot 21,75^2} = 1;$$



$\beta_1$  este coeficientul dinamic, care în cazul construcțiilor flexibile se calculează cu formula

$$\beta_1 = \frac{1,5}{T} = \frac{1,5}{0,395} = 3,8;$$

$Q_k$  — sarcina utilă și greutatea acelor elemente de construcție pentru care se determină forța seismică.

În scopul simplificării calculului, pentru a nu distribui forțele seismice pe înălțimea turnului, valoarea lui  $Q_k$  o luăm egală nu cu greutatea rezervorului împreună cu apa, ci corespunzătoare cu masa echivalentă, adică  $Q_{ech} = 15,6$  t.

Astfel, forța seismică este

$$S = \frac{1}{10} 1 \cdot 3,8 \cdot 15,6 = 5,9 \text{ tf.}$$

### EXEMPLUL 3. DETERMINAREA SARCINILOR SEISMICE LA UN COȘ DE FUM DIN ZIDĂRIE DE CĂRAMIDĂ

Se cere să se determine sarcinile seismice care acționează asupra unui coș de fum din zidărie din cărămidă pentru o seismicitate de calcul de gradul 9.

Coșul de fum cu înălțimea  $l = 60$  m, executat din cărămidă marca 150, cu mortar marca 75 este căptușit cu șamotă. Spațiul dintre canalul coșului și căptușeală este umplut cu pământ de infuzorie. Schema constructivă a coșului de fum este arătată în fig. 19.

Greutatea specifică aparentă a zidăriei coșului și căptușelii s-a luat egală cu  $\gamma_z = 1,7$  t/m<sup>3</sup>, greutatea specifică aparentă a materialului fundației  $\gamma_f = 2,4$  t/m<sup>3</sup>.

Modulul de elasticitate a zidăriei  $E$ , determinat în raport cu marca cărămidii și a mortarului, când lipsesc eforturi unitare inițiale, este 30 000 kgf/cm<sup>2</sup>.

Terenul de fundație al coșului este format din argilă nisipoasă loessoidă cu un coeficient de compresiune elastică uniformă  $C_z = 6\,000$  t/m<sup>3</sup> = 6 kg/cm<sup>3</sup>.



### a) Determinarea perioadelor și formelor oscilațiilor proprii

Perioadele și formele oscilațiilor proprii<sup>1)</sup> se calculează cu formulele (13)–(15) și cu ajutorul diagramelor din fig. 8-10.

Deoarece zidăria căptușelii nu este legată de zidăria coșului de fum, la determinarea rigidității secțiunilor ea se neglijează; la determinarea masei coșului se ține seama de căptușeală.

În prealabil se calculează câteva caracteristici geometrice.

Diametrele exterioare ale canalului coșului:

$$\text{sus } D_1 = 2,57 \text{ m};$$

$$\text{jos } D_0 = 5,03 \text{ m}.$$

Diametrele interioare:

$$\text{sus } d_1 = 2,07 \text{ m};$$

$$\text{jos } d_0 = 3,49 \text{ m}.$$

Aria secțiunii și momentul de inerție al canalului coșului la partea de sus:

$$A_1 = \frac{\pi}{4} (D_1^2 - d_1^2) = \frac{3,14}{4} (2,57^2 - 2,07^2) = 1,82 \text{ m}^2;$$

$$I_1 = \frac{\pi}{64} (D_1^4 - d_1^4) = \frac{3,14}{64} (2,57^4 - 2,07^4) = 1,24 \text{ m}^4.$$

De asemenea la partea de jos a canalului coșului:

$$A_0 = \frac{\pi}{4} (D_0^2 - d_0^2) = \frac{3,14}{4} (5,03^2 - 3,49^2) = 10,3 \text{ m}^2;$$

$$I_0 = \frac{\pi}{64} (D_0^4 - d_0^4) = \frac{3,14}{64} (5,03^4 - 3,49^4) = 24,15 \text{ m}^4.$$

<sup>1)</sup> Metoda de calcul a oscilațiilor proprii a fost elaborată de A. I. Sudnițin.



Aria secțiunii canalului la mijloc:

$$A_{0,5} = \frac{\pi}{4} \left[ \left( \frac{D_0 + D_1}{2} \right)^2 - \left( \frac{D_0 + D_1}{2} - 1,02 \right)^2 \right] =$$

$$= \frac{3,14}{4} \left[ \left( \frac{5,03 + 2,57}{2} \right)^2 - \left( \frac{5,03 + 2,57}{2} - 1,02 \right)^2 \right] = 5,25 \text{ m}^2.$$

Aria tălpii fundației:

$$A_f = \frac{\pi D_f^2}{4} = \frac{3,14 \cdot 12^2}{4} = 113 \text{ m}^2 = 113 \cdot 10^4 \text{ cm}^2.$$

Raza de rotație a secțiunii de la baza canalului coșului:

$$r_0 = \sqrt{\frac{I_0}{A_0}} = \sqrt{\frac{24,15}{10,3}} = 1,53 \text{ m}.$$

Perioada oscilațiilor proprii se calculează cu formula (14)

$$T_n = \frac{2\pi}{\sqrt{\lambda_n}} \cdot \frac{l^2}{r_0} \sqrt{\frac{\gamma}{Eg}},$$

unde  $l$  este înălțimea coșului;

$r_0$  — raza de rotație la baza coșului;

$\gamma$  — greutatea specifică aparentă a materialului coșului;

$E$  — modulul de elasticitate al materialului coșului;

$g$  — accelerația gravitației;

$\sqrt{\lambda_n}$  — parametru care se determină cu ajutorul diagramelor din fig. 8 și 9, în funcție de frecvența oscilațiilor proprii.

Formele oscilațiilor proprii, care corespund diferitelor perioade se calculează cu formula (15):

$$X_n(x) = \frac{C}{1 - k \frac{x}{l}} \left[ \sin \frac{\pi x}{2l} + \left( \frac{C_2}{C_1} \right)_n \sin \frac{3\pi x}{2l} + \left( \frac{C_3}{C_1} \right) \sin 5 \frac{\pi x}{2l} \right],$$

unde  $x$  este ordonata secțiunii considerate;

$k$  — coeficient care caracterizează variația ariei secțiunii canalului coșului pe înălțime;

$C$  — constantă arbitrară exprimată în unități de lungime;



$\left(\frac{C_2}{C_1}\right)$  și  $\left(\frac{C_3}{C_1}\right)$  — coeficienți care se determină după diagramele din fig. 9 și 10, în raport cu frecvența oscilațiilor proprii.

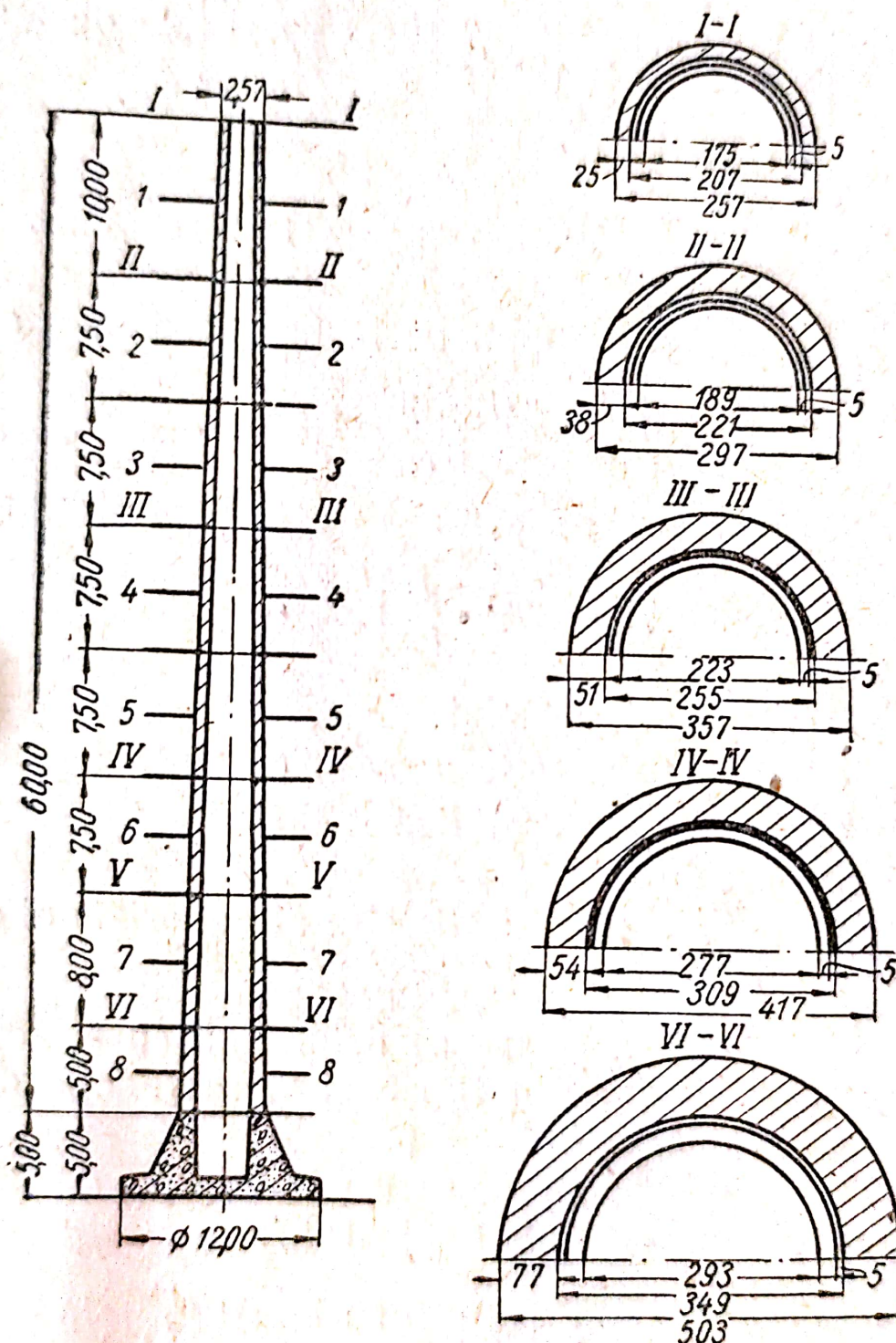


Fig. 19. Schema constructivă a coșului de fum din zidărie de cărămidă.

Diagramele au fost întocmite în funcție de mărimile  $I_1/I_0$ ,  $l/r_0$  și  $\alpha_0$  care în cazul de față sînt:

$$\frac{I_1}{I_0} = \frac{1,24}{24,15} = 0,0514;$$



$$\frac{l}{r_0} = \frac{60}{1,53} = 39,2;$$

$$\alpha_0 = \frac{2EI_0}{C_z A_f l^3} = \frac{2 \cdot 30\,000 \cdot 24,15 \cdot 10^8}{6 \cdot 113 \cdot 10^4 \cdot 60^3 \cdot 10^6} = 0,0000992.$$

Pentru determinarea parametrului  $\sqrt{\lambda_1}$  care corespunde primei frecvențe, procedăm în modul următor: valoarea obținută mai sus  $\frac{l_1}{l_0} = 0,0514$  o luăm pe diagrama din fig. 8 pe axa absciselor, iar apoi ducem ordonata respectivă pînă la intersecția cu curbele continue trasate pentru raportul  $\frac{l}{r_0} = 40$ , deoarece pentru coșul de fum considerat  $\frac{l}{r_0} = 39,2 \approx 40$ . Una dintre acele curbe este trasată pentru  $\alpha_0 = 0,0001$ , iar cealaltă — pentru  $\alpha_0 = 0$ ; în exemplul de față  $\alpha_0 = 0,0000992 \approx 0,0001$  și prin urmare punctul de intersecție cu curba care corespunde lui  $\alpha_0 = 0,0001$  și ordonata trasată, definește deajuns de exact valoarea lui  $\sqrt{\lambda_1}$  care în cazul de față este  $\sqrt{\lambda_1} = 4,425$ . În cazul în care valorile lui  $\frac{l}{r_0}$  și  $\alpha_0$  ar diferi mult de datele din diagramă, punctul necesar ar trebui determinat prin interpolare. Analog, cu ajutorul diagramelor respective, determinăm valorile parametrilor:

$$\sqrt{\lambda_2}; \sqrt{\lambda_3}; \left(\frac{C_2}{C_1}\right)_1; \left(\frac{C_3}{C_1}\right)_1; \left(\frac{C_2}{C_1}\right)_2; \left(\frac{C_3}{C_1}\right)_2; \left(\frac{C_2}{C_1}\right)_3; \left(\frac{C_3}{C_1}\right)_3,$$

care se dau în tabela 12.

Tabela 12

Forma oscilațiilor	Valoarea parametrului $\sqrt{\lambda_n}$	Coeficienții de formă al oscilațiilor	
		$\left(\frac{C_1}{C_1}\right)_n$	$\left(\frac{C_3}{C_1}\right)_n$
Prima	4,425	-0,218	0,0148
A doua	19	5,15	-1,46
A treia	40,2	9,5	24

În formula pentru determinarea perioadei oscilațiilor proprii intră greutatea specifică aparentă a materialului



coşului  $\gamma$  care şi în cazul zidăriei şi în cazul căptuşelii este  $1,7 \text{ t/m}^3$ . Însă deoarece la calculul ariilor şi momentelor de inerţie ale secţiunilor coşului căptuşeala s-a neglijat, iar influenţa ei ca masă trebuie luată în considerare, aceasta se poate face cel mai simplu, prin majorarea greutateii specifice aparente a zidăriei.

Această valoare fictivă majorată, medie a greutateii specifice aparente a zidăriei, o determinăm astfel: se calculează greutatea a 1 m liniar de coş cu căptuşeală  $P_1 = \gamma_z \cdot 1 \cdot A$ ; valoarea obţinută se împarte la volumul zidăriei  $v_z$  al acestui metru liniar de coş, neglijându-se căptuşeala:

$$\begin{aligned}\gamma_{ech} &= \frac{P_1}{v_z} = \frac{P_1}{1 \cdot A_z} = \gamma_z \cdot \frac{A}{A_z} = \\ &= 1,7 \frac{\pi \cdot 4 \left[ \left( \frac{5,03 + 2,57}{2} \right)^2 - \left( \frac{5,03 + 2,57}{2} - 1,34 \right)^2 \right]}{\pi \cdot 4 \left[ \left( \frac{5,03 + 2,57}{2} \right)^2 - \left( \frac{5,03 + 2,57}{2} - 1,02 \right)^2 \right]} = \\ &= 1,7 \frac{14,4 - 6,06}{14,4 - 7,72} = 2,12 \text{ t/m}^3;\end{aligned}$$

unde  $A$  este aria secţiunii coşului, în care se ţine seama de căptuşeală;

$A_z$  — aria secţiunii coşului, când se neglijează căptuşeala.

Perioadele oscilaţiilor proprii se calculează cu formula (14).

Valoarea primei perioade, celei mai joase este:

$$T_1 = \frac{2\pi}{\sqrt{\lambda_1}} \cdot \frac{l^2}{r_0} \sqrt{\frac{\gamma}{Eg}} = \frac{2 \cdot 3,14}{4,425} \cdot \frac{60^2 \cdot 10^4}{1,53 \cdot 10^2} \sqrt{\frac{0,00212}{3 \cdot 10^4 \cdot 981}} = 2,84 \text{ s.}$$

Valoarea perioadei a doua:

$$T_2 = \frac{2\pi}{\sqrt{\lambda_2}} \cdot \frac{l^2}{r_0} \sqrt{\frac{\gamma}{Eg}} = \frac{2 \cdot 3,14}{19} \cdot \frac{60^2 \cdot 10^4}{1,53 \cdot 10^2} \sqrt{\frac{0,00212}{3 \cdot 10^4 \cdot 981}} = 0,66 \text{ s.}$$

Valoarea celei de a treia perioade:

$$T_3 = \frac{2\pi}{\sqrt{\lambda_3}} \cdot \frac{l^2}{r_0} \cdot \sqrt{\frac{\gamma}{Eg}} = \frac{2 \cdot 3,14}{40,2} \cdot \frac{60^2 \cdot 10^4}{1,53 \cdot 10^2} \sqrt{\frac{0,00212}{\cdot 10^4 \cdot 981}} = 0,31 \text{ s.}$$



Tabela 13

Nr. sec- țiunii	Diametrele m		Aria secțiunii m <sup>2</sup>	Distanța de la bază până la centrul de greutate x m	Raportul $\frac{x}{l}$	Lungimea porțiunii m	Greutatea t	Deplasările $X_n(x_i)$ pentru $C_i=1$ corespunzătoare frecvenței		
	exterior	interior						întii	a doua	a treia
1	2,77	1,95	3,05	55	0,92	10	52	2,55	-10,31	23,63
2	3,12	2,04	4,37	46,25	0,77	7,5	55,7	1,85	-2,08	-16
3	3,42	2,34	4,88	38,75	0,65	7,5	62,3	1,29	4,3	-32,95
4	3,72	2,38	6,39	31,25	0,52	7,5	81,5	0,82	7,36	-18,07
5	4,02	2,68	7,04	23,75	0,4	7,5	89,9	0,48	7,05	13,65
6	4,31	2,91	7,91	16,5	0,27	7	94,4	0,26	4,93	35
7	4,61	2,97	9,62	9	0,15	8	130,7	0,12	2,45	31,35
8	5,03	2,93	13,1	2,5	0,04	5	111,2	0,03	0,61	9,84

Observație. - Pentru calculul maselor, diametrul interior al coșului se ia fiind seama de captuseală; se ia egală cu  $r_z$ .



Pentru determinarea formelor oscilațiilor este necesar să se calculeze coeficientul  $k$ , ce caracterizează variația ariei secțiunii transversale, cu formula:

$$k = 2 \frac{A_{0,5}}{A_0} - \frac{A_1}{2A_0} - 1,5 = 2 \frac{5,25}{10,3} - \frac{1,82}{2 \cdot 10,3} - 1,5 = -0,57.$$

Formele oscilațiilor corespunzătoare perioadelor determinate mai înainte se calculează cu formula (15):

pentru prima formă a oscilațiilor

$$X_1(x) = \frac{C}{1+k\frac{x}{l}} \left[ \sin \frac{\pi x}{2l} + \left( \frac{C_2}{C_1} \right)_1 \sin 3 \frac{\pi x}{2l} + \left( \frac{C_3}{C_1} \right)_1 \sin 5 \frac{\pi x}{2l} \right];$$

pentru forma a doua a oscilațiilor

$$X_2(x) = \frac{C}{1+k\frac{x}{l}} \left[ \sin \frac{\pi x}{2l} + \left( \frac{C_2}{C_1} \right)_2 \sin 3 \frac{\pi x}{2l} + \left( \frac{C_3}{C_1} \right)_2 \sin 5 \frac{\pi x}{2l} \right];$$

pentru forma a treia a oscilațiilor

$$X_3(x) = \frac{C}{1+k\frac{x}{l}} \left[ \sin \frac{\pi x}{2l} + \left( \frac{C_2}{C_1} \right)_3 \sin 3 \frac{\pi x}{2l} + \left( \frac{C_3}{C_1} \right)_3 \sin 5 \frac{\pi x}{2l} \right].$$

Admițind că coeficientul arbitrar  $C$  este egal cu 1, și dînd lui  $x$  valorile distanțelor centrelor de greutate ale maselor porțiunilor în care a fost împărțit canalul coșului pe înălțime (vezi schema din fig. 19) găsim valorile lui  $X(x)$ .

De exemplu, pentru prima formă a oscilațiilor, pentru  $x = 55$  m se obține:

$$X(55) = \frac{1}{1-0,57 \frac{55}{60}} \left( \sin \frac{3,14 \cdot 55}{2 \cdot 60} - 0,218 \cdot \sin 3 \frac{3,14 \cdot 55}{2 \cdot 60} + 0,0148 \sin 5 \frac{3,14 \cdot 55}{2 \cdot 60} \right) = 2,55.$$

Rezultatele calculelor sînt rezumate în tabela 13.

b) Determinarea forțelor seismice

Valoarea forțelor seismice se calculează cu formula:

$$S_k = k_s \cdot \eta_k \beta_1 Q_k,$$



unde  $k_s = \frac{1}{10}$  este coeficient corespunzător seismicității de calcul de gradul 9;

$Q_k$  — greutatea masei respective;

$\beta_1 = \frac{1,5}{T_n}$  — coeficient dinamic pentru construcțiile flexibile, care depinde de perioada oscilațiilor proprii;

$\eta_i = \frac{X(x_k) \sum_1^n Q_j X(x_j)}{\sum_1^n Q_j X^2(x_j)}$  — coeficient de formă, care se calculează cu formula (6').

Să determinăm forțele care corespund primei forme a oscilațiilor, care la rîndul lor corespund perioadei celei mai joase a oscilațiilor proprii ale coșului. În prealabil se calculează sumele:

$$\begin{aligned} \sum_1^n Q_j X(x_j) &= (52 \cdot 2,55 + 55,7 \cdot 1,85 + 62,3 \cdot 1,29 + \\ &+ 81,5 \cdot 0,82 + 89,9 \cdot 0,48 + 94,4 \cdot 0,26 + \\ &+ 130,7 \cdot 0,12 + 111,2 \cdot 0,03) C = 469,86 C; \end{aligned}$$

$$\begin{aligned} \sum_1^n Q_j X^2(x_j) &= (52 \cdot 2,55^2 + 55,7 \cdot 1,85^2 + 62,3 \cdot 1,29^2 + \\ &+ 81,5 \cdot 0,82^2 + 89,9 \cdot 0,48^2 + 94,4 \cdot 0,26^2 + \\ &+ 130,7 \cdot 0,12^2 + 111,2 \cdot 0,03^2) C^2 = 716,66 C^2. \end{aligned}$$

Apoi se calculează coeficienții de formă:

$$\eta_{11} = \frac{X_1 \sum_1^n Q_j X(x_j)}{\sum_1^n Q_j X^2(x_j)} = \frac{2,55 C \cdot 469,86 C}{716,66 C^2} = 1,67;$$

$$\eta_{12} = \frac{X_2 \sum_1^n Q_j X(x_j)}{\sum_1^n Q_j X^2(x_j)} = \frac{1,85 C \cdot 469,86 C}{716,66 C^2} = 1,21;$$



$$\eta_3 = \frac{1,29C \cdot 469,86C}{716,66C^2} = 0,846 ;$$

$$\eta_4 = \frac{0,82C \cdot 469,86C}{716,66C^2} = 0,539 ;$$

$$\eta_5 = \frac{0,48C \cdot 469,86C}{716,66C^2} = 0,316 ;$$

$$\eta_6 = \frac{0,26C \cdot 469,86C}{716,66C^2} = 0,171 ;$$

$$\eta_7 = \frac{0,12C \cdot 469,86C}{716,66C^2} = 0,0768 ;$$

$$\eta_8 = \frac{0,03C \cdot 469,86C}{716,66C^2} = 0,0188.$$

Determinăm coeficientul dinamic :

$$\beta_1 = \frac{1,5}{T_1} = \frac{1,5}{2,84} = 0,529.$$

Deoarece nu se recomandă ca coeficientul dinamic să fie subunitar, luăm  $\beta=1$ . În acest caz valorile de calcul ale forțelor seismice sînt :

$$S_1 = k_s \eta_1 \beta Q_1 = \frac{1}{10} 1,67 \cdot 1 \cdot 52 = 8,67 \text{ tf} ;$$

$$S_2 = k_s \eta_2 \beta Q_2 = \frac{1}{10} 1,21 \cdot 1 \cdot 55,7 = 6,75 \text{ tf} ;$$

$$S_3 = \frac{1}{10} 0,846 \cdot 1 \cdot 62,3 = 5,24 \text{ tf} ;$$

$$S_4 = \frac{1}{10} 0,539 \cdot 1 \cdot 81,5 = 4,38 \text{ tf} ;$$

$$S_5 = \frac{1}{10} 0,316 \cdot 1 \cdot 89,9 = 2,83 \text{ tf} ;$$

$$S_6 = \frac{1}{10} 0,171 \cdot 1 \cdot 94,4 = 1,6 \text{ tf} ;$$

$$S_7 = \frac{1}{10} 0,0768 \cdot 1 \cdot 130,7 = 1 \text{ tf} ;$$

$$S_8 = \frac{1}{10} 0,0188 \cdot 1 \cdot 111,2 = 0,21 \text{ tf}.$$

Analog se calculează forțele seismice corespunzătoare formei a doua și a treia a oscilațiilor, care la rîndul lor corespund perioadei a doua și a treia a oscilațiilor proprii ale coșului. Rezultatele calculului sînt date în tabela 14.



Tabela 14

Nr. secțiunii	Greutatea porțiunii de șoc, $t$	Coefi- cient de seismi- citate, $k_s$	Coeficientul dinamic $\beta_1$ pentru forma oscilațiilor			Coeficientul de formă $\eta_k$ pentru forma oscilațiilor			Forțele seismice $S_k$ în $t$ , pentru forma oscilațiilor		
			Prima	A doua	A treia	Prima	A doua	A treia	Prima	A doua	A treia
1	52	$\frac{1}{10}$				1,67	-0,93	0,376	8,67	-11	9,4
2	55,7					1,21	-0,187	-0,255	6,75	-2,36	-6,82
3	62,3					0,846	0,387	-0,526	5,24	5,46	-15,7
4	81,5		1	2,27	4,8	0,539	0,663	-0,288	4,38	12,3	-11,2
5	89,9					0,316	0,635	0,218	2,83	12,95	9,4
6	94,4					0,171	0,444	0,558	1,6	9,5	25,3
7	130,7					0,0768	0,22	0,5	1	6,53	31,3
8	111,2					0,0188	0,0548	0,158	0,21	1,39	8,4



Semnul minus din expresiile lui  $S$  arată că aceste forțe sînt orientate în sens contrar.

Compararea valorilor forțelor seismice de calcul, care corespund oscilațiilor după prima, a doua și a treia formă, arată că pentru porțiunea de sus a coșului, cea mai periculoasă este forma a doua, iar pentru cea de jos — prima.

De aceea, la verificarea rezistenței secțiunilor coșului, este necesar să se țină seama atît de primul cît și de al doilea mod de încărcare (fiecare fiind luat separat).

În cazul de față la forma a treia a oscilațiilor proprii în nici o secțiune nu se nasc eforturi mai mari decît la prima și a doua formă a oscilațiilor și de aceea, în calculul de rezistență, forma a treia a oscilațiilor se neglijează.

#### EXEMPLUL 4. DETERMINAREA SARCINILOR SEISMICE LA O CLĂDIRE CU 5 NIVELURI PE SCHELET DE BETON ARMAT

Se cere să se determine sarcinile seismice la o clădire cu cinci niveluri în cazul unei seismicități de calcul de gradul 9.

Elementele de construcție portante principale ale clădirii — scheletul portant, planșeele și pereții — sînt din beton armat (fig. 20 și fig. 21).

Distribuția în plan și soluția constructivă a clădirii, așa cum se poate vedea din examinarea planurilor și secțiunilor, este destul de complicată și calculul pentru determinarea perioadelor oscilațiilor proprii este foarte laborios.

De aceea, în cazul de față este indicat ca valoarea lui  $\eta$  să se calculeze cu formula (6"); în acest caz  $\beta=3$  iar forma oscilațiilor construcției este dată de ecuația (19).

În urma calculului elementelor de construcție și a sarcinii utile s-au obținut următoarele valori pentru forțele verticale, pe etaje, începînd de jos:

$$Q_1=455,13 \text{ tf}; \quad Q_2=411,1 \text{ tf}; \quad Q_3=449,45 \text{ tf};$$

$$Q_4=317,71 \text{ tf}; \quad Q_5=156,35 \text{ tf}.$$



# Determinarea forțelor seismice

Forțele seismice se calculează cu formula

$$S_k = k_{si} \eta_k Q_k.$$

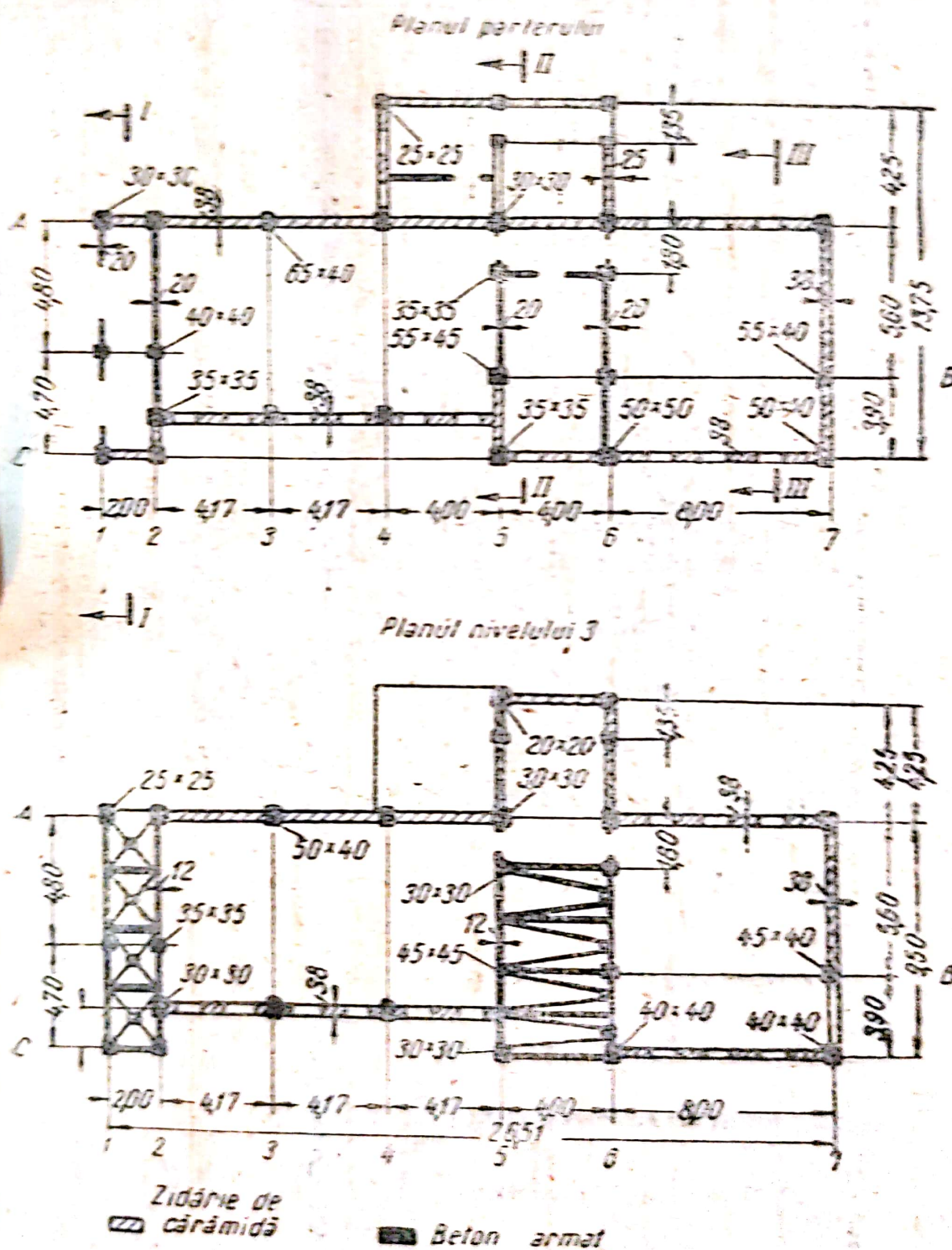


Fig. 20. Planul parterului și nivelului 3, de la clădirea morii.



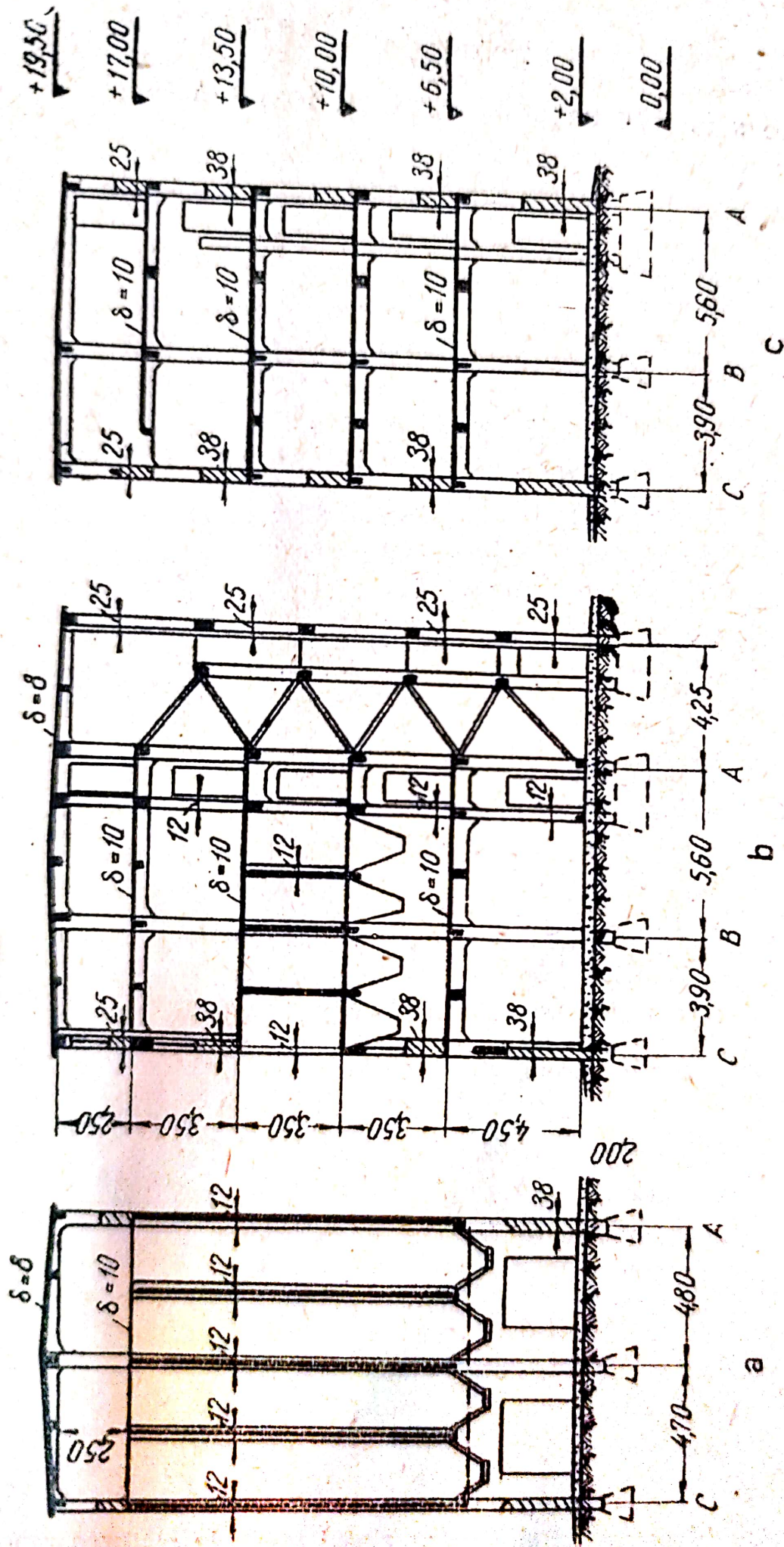


Fig. 21. Secțiuni prin clădirea morii.  
a — secțiunea I—I; b — secțiunea II—II; c — secțiunea III—III (secțiunile I, II și III  
sunt arătate în fig. 20).



În cazul seismicității de calcul de gradul 9,  $k_s = \frac{1}{10}$ .  
Coeficienții de formă se calculează cu formula

$$\eta_{lk} = \frac{x_k \sum_1^n Q_j x_j}{\sum_1^n Q_j x_j^2}$$

în care valorile sumelor sînt:

$$\sum_1^n Q_j x_j = 455,13 \cdot 4,5 + 411,1 \cdot 8 + 449,45 \cdot 11,5 + 317,71 \cdot 15 + 156,35 \cdot 17,5 = 18\,020;$$

$$\sum_1^n Q_j x_j^2 = 455,13 \cdot 4,5^2 + 411,1 \cdot 8^2 + 449,45 \cdot 11,5^2 + 317,71 \cdot 15^2 + 156,35 \cdot 17,5^2 = 214\,650;$$

$$\eta_{11} = \frac{4,5 \cdot 18\,020}{214\,650} = 0,378; \quad \eta_{14} = \frac{15 \cdot 18\,020}{214\,650} = 1,26;$$

$$\eta_{12} = \frac{8 \cdot 18\,020}{214\,650} = 0,672; \quad \eta_{15} = \frac{17,5 \cdot 18\,020}{214\,650} = 1,47.$$

$$\eta_{13} = \frac{11,5 \cdot 18\,020}{214\,650} = 0,97;$$

Valorile forțelor seismice sînt:

$$S_1 = \frac{1}{10} 3 \cdot 0,378 \cdot 455,13 = 51,8 \text{ tf};$$

$$S_2 = \frac{1}{10} 3 \cdot 0,672 \cdot 411,1 = 83 \text{ tf};$$

$$S_3 = \frac{1}{10} 3 \cdot 0,97 \cdot 449,45 = 130 \text{ tf};$$

$$S_4 = \frac{1}{10} 3 \cdot 1,26 \cdot 317,71 = 120 \text{ tf};$$

$$S_5 = \frac{1}{10} 3 \cdot 1,47 \cdot 156,35 = 69 \text{ tf}.$$

Un calcul mai detaliat a arătat că în timpul oscilațiilor clădirii într-un plan perpendicular pe axa longitudinală,



rolul principal îl are tasarea terenului de fundație și nu deformațiile elementelor de construcție, deoarece deplasările datorite influenței tasării terenului de fundație sînt de 22 ori mai mari decît deplasările din deformațiile elementelor de construcție. Aceasta justifică determinarea perioadei și formeî oscilațiilor proprii ale clădirii, tratate ca un corp absolut rigid, cu ajutorul formulelor (18) și (19).

Perioada oscilațiilor proprii este  $T = 0,208$  s, căreia conform diagramei din fig. 5 îi corespunde  $\beta = 3$ .

#### EXEMPLUL 5. DETERMINAREA SARCINILOR SEISMICE LA O CLĂDIRE DE LOCUIT CU TREI NIVELURI DIN ZIDĂRIE DE CĂRĂMIDĂ

Să se determine forțele seismice de calcul la o clădire de locuit cu trei niveluri, din zidărie de cărămidă, care se proiectează pentru o regiune cu seismicitatea de gradul 7. Planul, secțiunea și schema de calcul a clădirii sînt arătate în fig. 22. Greutățile elementelor de construcție ale clădirii sînt următoarele:

zidăria  $\gamma_z = 1,8$  t/m<sup>3</sup>;

pereți despărțitori  $\gamma_{pd} = 0,8$  t/m<sup>3</sup>;

planșee împreună cu pardoselile  $q_p = 0,38$  t/m<sup>2</sup>;

planșeul de la pod împreună cu stratul de izolare termică,  $q_{pod} = 0,42$  t/m<sup>2</sup>;

învelitoarea raportată la 1 m<sup>2</sup> de proiecție orizontală  $q_c = 0,045$  t/m<sup>2</sup>.

Sarcina utilă normală a planșeelor clădirilor de locuit  $q''$  este 150 kgf/m<sup>2</sup> și conform normelor se înmulțește cu coeficientul 0,8.

Se determină greutatele maselor care produc forțele seismice, presupunînd că masa întregii clădiri este concentrată la nivelurile planșeelor. În prealabil se calculează cîteva caracteristici:

aria pereților în plan  $A_p = 80,4$  m<sup>2</sup>;

aria pereților despărțitori în plan  $A_{pd} = 4,71$  m<sup>2</sup>;



aria planșeelor (inclusiv casele scărilor)

$$A_{pl} = A_{clăd} - A_p = 35,2 \cdot 12 - 80,4 = 342,1 \text{ m}^2;$$

volumul golurilor din pereți care revine la un etaj,

$$v_g = 33,16 \text{ m}^3.$$

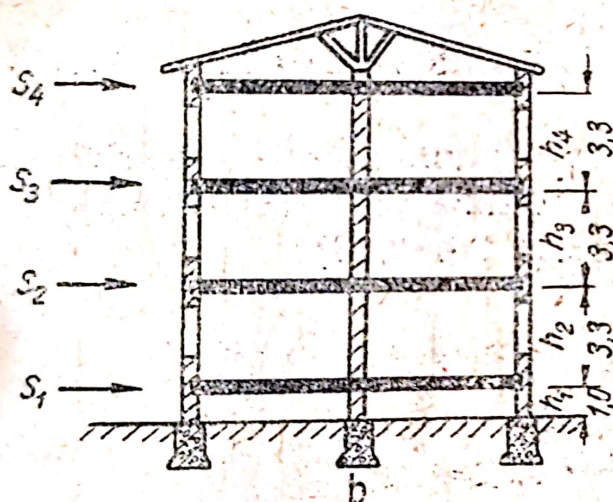
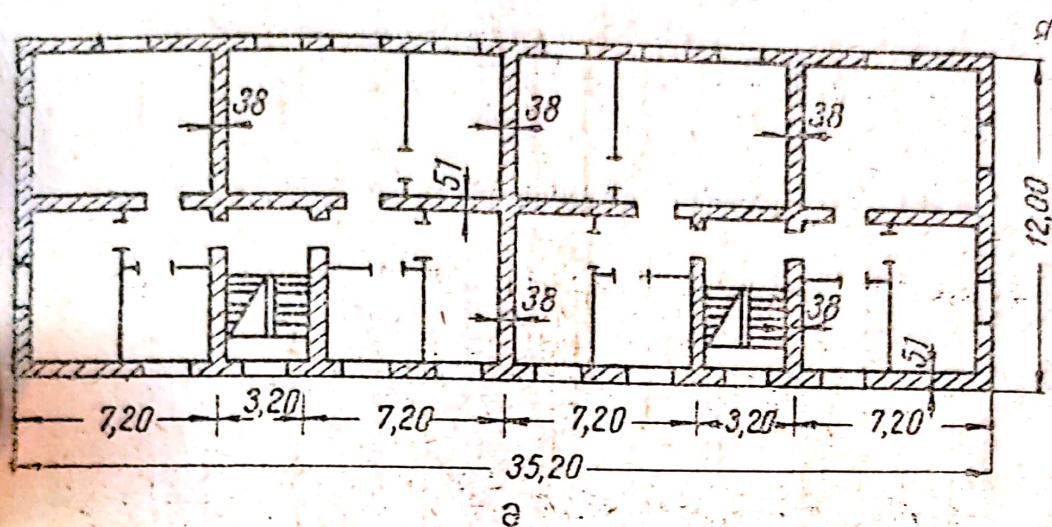


Fig. 22. Planul (a) și secțiunea (b) a unei clădiri de locuit cu trei niveluri din zidărie de cărămidă.

Greutatea masei la nivelul pardoselii parterului:

$$\begin{aligned} Q_1 &= [A_p + 2(35,2 + 12) \cdot 0,06] \frac{h_1}{2} \gamma_z + \left( A_p \cdot \frac{h^2}{2} - \frac{v_{gol}}{2} \right) \gamma_z + \\ &\quad + A_{pd} \frac{h_2}{2} \gamma_{pd} + A_{pl} (q_{pl} + 0,8q^n) = \\ &= [80,4 + 2(35,2 + 12) 0,06] \cdot \frac{1}{2} 1,8 + \left( 80,4 \frac{3,3}{2} - \frac{33,16}{2} \right) 1,8 + \\ &\quad + 4,71 \frac{3,3}{2} 0,8 + 342,1 \cdot (0,38 + 0,8 \cdot 0,15) = 464,4 \text{ tf.} \end{aligned}$$



Greutatea masei la nivelul planșeului de la nivelul întâi și al doilea:

$$Q_2 = Q_3 = \left( A_p \frac{h_2 + h_3}{2} - v_g \right) \gamma_z + A_{pd} \frac{h_2 + h_3}{2} \gamma_{pd} + \\ + A_{pl} (q_{pl} + 0,8q^n) = \left( 80,4 \frac{3,3+3,3}{2} - 33,16 \right) \cdot 1,8 + \\ + 4,71 \cdot \frac{3,3+3,3}{2} 0,8 + 342,1 (0,38 + 0,8 \cdot 0,15) = 602,5 \text{ tf.}$$

Greutatea masei la nivelul planșeului de la pod:

$$Q_{pod} = \left[ A_p \left( \frac{h_5}{2} + 0,6 \right) - \frac{v_g}{2} \right] \gamma_z + A_{pd} \frac{h_5}{2} \gamma_{pd} + \\ + A_{pl} q_{pod} + A_{clad} q = \left[ 80,4 \left( \frac{3,3}{2} + 0,6 \right) - \frac{33,16}{2} \right] 1,8 + \\ + 4,71 \frac{3,3}{2} 0,8 + 342,1 \cdot 0,42 + 35,2 \cdot 12 \cdot 0,045 = 464,7 \text{ tf.}$$

Forțele seismice care acționează la nivelul fiecărui planșeu se calculează cu formula (8") (Pentru determinarea coeficienților  $\beta\eta$  se folosește tabela 3):

$$S_1 = k_s \beta \eta Q_1 = \frac{1}{40} 1 \cdot 464,4 = 11,6 \text{ tf;}$$

$$S_2 = \frac{1}{40} \cdot 1,9 \cdot 602,5 = 28,6 \text{ tf;}$$

$$S_3 = \frac{1}{40} 3,3 \cdot 602,5 = 49,7 \text{ tf;}$$

$$S_4 = \frac{1}{40} 3,8 \cdot 464,7 = 44,1 \text{ tf.}$$



## TABLA DE MATERII

Prefața . . . . .	3
1. Principii fundamentale . . . . .	5
2. Coeficientul dinamic $\beta$ și analiza acestuia . . . . .	13
3. Recomandări cu privire la determinarea sarcinilor seismice, care acționează asupra construcțiilor . . . . .	23
4. Aprecierea critică a metodei propuse pentru determinarea sarcinilor seismice . . . . .	35
5. Exemple de determinare a sarcinilor seismice	
Exemplul 1. Determinarea sarcinilor seismice la un cadru de beton armat . . . . .	53
Exemplul 2. Determinarea sarcinilor seismice la un castel de apă	63
Exemplul 3. Determinarea sarcinilor seismice la un coș de fum din zidărie de cărămidă . . . . .	75
Exemplul 4. Determinarea sarcinilor seismice la o clădire cu 5 niveluri pe schelet de beton armat . . . . .	85
Exemplul 5. Determinarea sarcinilor seismice la o clădire de locuit cu trei niveluri din zidărie de cărămidă . . . . .	90
Bibliografie . . . . .	93



## AU APĂRUT:

*H. LEHR*

### EXEMPLE DE CALCUL PENTRU PROIECTAREA FUNDAȚIILOR

Nivel superior, 396 pagini, 283 figuri,

lei 22



*AL. GHEORGHIU*

### STATICA CONSTRUCȚIILOR vol. I

Nivel superior, 543 pagini, 337 figuri,

lei 37,20



*AL. NEGOIȚĂ*

### MATERIALE MODERNE ÎN CONSTRUCȚII

Nivel mediu, 284 pagini, 119 figuri,

lei 8,60



*I. GOTTFRIED*

### AZBOCIMENTUL ÎN CONSTRUCȚII

Nivel mediu, 152 pagini, 136 figuri,

lei 4,15

